

Vysoká škola: strojní a textilní v Liberci Katedra: termomechaniky  
Fakulta: strojní Školní rok: 1967/ 68

## DIPLOMNÍ ÚKOL

pro Jiřího Šlemána  
obor strojírenská technologie

Protože jste splnili požadavky učebního plánu, zadává Vám vedoucí katedry ve smyslu směrnice ministerstva školství a kultury o státních závěrečných zkouškách tento diplomní úkol:

Název thematu: Kalení s proměnnou intenzitou proudění kalicí olejové lázně.

### Pokyny pro vypracování:

Laboratorně ověřit vliv změny intenzity usporádaného nuceného proudu olejevá lázně OL- J 4 na průběh ochlazování a charakter preklení válcových vzorků průměru 30 a 50 mm z materiálu 15 241. Laboratorní zkoušky provést na zkoušebním zařízení pro sledování tepelných pochodů při kalení nuceným proudem oleje, instalovaném v laboratoři katedry termomechaniky a technického měření.

Na základě laboratorních zkoušek provést studii možnosti praktické aplikace výsledků na kalení cementovaných vzorků válcového tvaru Ø 30 a 50 mm z materiálu 14 223 v provozu n.p. Liaz-Rýnovice, klených na zařízení pro kalení průtočným principem.

Autorské právo se řídí směrnicemi MŠK pro státní závěrečné zkoušky č. j. 31 727/62-III/2 ze dne 13. července 1962-Vestník MŠK XVIII, sedl 24 ze dne 31. 8. 1962 § 19 autorského zákona č. 115/53 S.

V 128/1968

VYSOKÁ ŠKOLA STROJNÍ A TEXTILNÍ  
Ústřední knihovna  
LIBEREC 1, STUDENTSKÁ 5

Rozsah grafických laboratorních prací: **schemata, skice, obrázky,**

Rozsah průvodní zprávy: **30 až 40 stran textu**

Seznam odborné literatury:

- Kraus, Vl.: Atlas diagramů pro zušlechtování konstrukčních ocelí, SNTL, Praha 1964
- Petráš, L.V.: Kakici prostředí pro tepelné zpracování kovů, SNTL, Praha 1962
- Lykov, A.V.: Teorijsa teploprovodnosti, Moskva 1952
- Jareš, V.: Metalografie oceli, ČSAV, Praha 1960
- Píšek, F.: Nauka o materiálu I., ČSAV, Praha 1957
- Hynčica, V.: Návrh zařízení pro kalení de horkého oleje průtočným principem. Zpráva č. 62-102, VŠST, 1962
- Hynčica, V.: Podmínky tepelných pochodů při kalení v případě podélného nuceného obtékání válce olejem. Kandidátská disertační práce, VŠST 1966.

Vedoucí diplomní práce:

Ing. V. Hynčica CSc

Konsultanti:

Datum zahájení diplomní práce: **9.10.1967**

Datum odevzdání diplomní práce: **17.6.1968**



O. Hynčica

Vedoucí katedry

J. Jirka

Děkan

## Obsah.

	strana
Předmluva .....	3
Úvod.....	4
1.Obecný rozbor řešeného problému.....	6
2.Zkušební zařízení a princip jeho funkce .....	9
3.Podomínky a rozsah provedení zkoušek .....	15
4.Technika měření.....	22
4.1.Technika měření teplot.....	22
4.2.Technika měření tvrdosti.....	27
5.Výsledky zkoušek.....	28
5.1.Průběhy teplot při klení vzorků .....	28
5.2.Výsledky měření tvrdosti vzorků .....	28
6.Vyhodnocení zkoušek.....	60
6.1.Vyhodnocení tepelných pochodů .....	60
6.1.1.Porovnání průběhů povrchových teplot vzorků pro jednotlivé režimy klení.....	60
6.1.2.Porovnání průběhů teplot v jádře vzorků pro jednotlivé režimy klení.....	64
6.1.3.Vyhodnocení průběhů rychlostí ochlazování v jádře vybraných vzorků.....	68
6.1.4.Vyhodnocení rozdílů teplot povrchů a jádra vzorků pro jednotlivé režimy klení.....	72

	strana
6.2. Metalografické vyhodnocení.....	81
6.2.1. Porovnání průběhu tvrdostí vzorků v jejich průřezu.....	81
6.2.2. Porovnání povrchových nebo maximálních a středních hodnot tvrdostí vzorků.....	82
6.2.3. Porovnání struktury kalených vzorků.....	86
Závěr.....	93
Literatura.....	94

## Předmluva.

Diplomní práce na téma - klení s proměnnou intenzitou proudění kalící olejové lázně - je studií problému dosud u nás neřešeného. Této práci jde o laboratorní prověření možnosti použití tohoto způsobu klení v provozních podmínkách. Práce spojené s řešením tohoto úkolu byly provedeny jednak v laboratoři katedry termomechaniky a technického měření na VŠST v Liberci, jednak v laboratořích útvaru podnikové metalurgie n.p. LIAZ Rýnovice, neboť v tomto podniku je instalováno zařízení pro klení do lázně s nuceným prouděním.

Při řešení tohoto náročného úkolu jsem se na všech pracovištích setkal s velkým pochopením. Využívám proto této příležitosti k vyjádření díků především ing. Václavu Hynčicovi CSc - vedoucímu této diplomní práce, - za cenné rady a podporu. Můj dík patří rovněž pracovníkům katedry termomechaniky a technického měření na VŠST v Liberci i zaměstnancům útvaru podnikové metalurgie n.p. LIAZ Rýnovice za technickou pomoc.

V červnu 1968.

*Slámeček Jiří*

### Úvod.

Důležitým technologickým oborem zpracování kovů je tepelné zpracování. Jednou z významných forem tepelného zpracování je kalení, které zahrnuje řadu metod navzájem se od sebe lišících.

Mezi nejnověji zaváděné metody patří způsob kalení do lázně s nuceným prouděním, který dává možnost ovládání procesu kalení, takže lze reguloval ochlazovací účinek kalící lázně v širokém rozmezí, volbou teploty a rychlosti proudění kalící lázně.

Tento způsob kalení vyžaduje speciální kalící zařízení. Laboratorní zařízení [1] pro kalení do horkého oleje průtočným principem, je instalováno na katedře termomechaniky a technického měření, na VŠST v Liberci. Provozní zařízení [2] pro tento způsob kalení je instalováno v n.p. LIAZ Rýnovice.

Vzhledem k tomu, že provozní zařízení [2] je jediné zařízení tohoto druhu v naší republice, nebylo možno vycházet ze zkušeností jiných pracovišť. Podkladem pro zaměření práce, volbu rozsahu provedení zkoušek, výběr techniky měření teplot a uspořádání zkoušek, byly zkušenosti z laboratorního výzkumu obsaženém v [1].

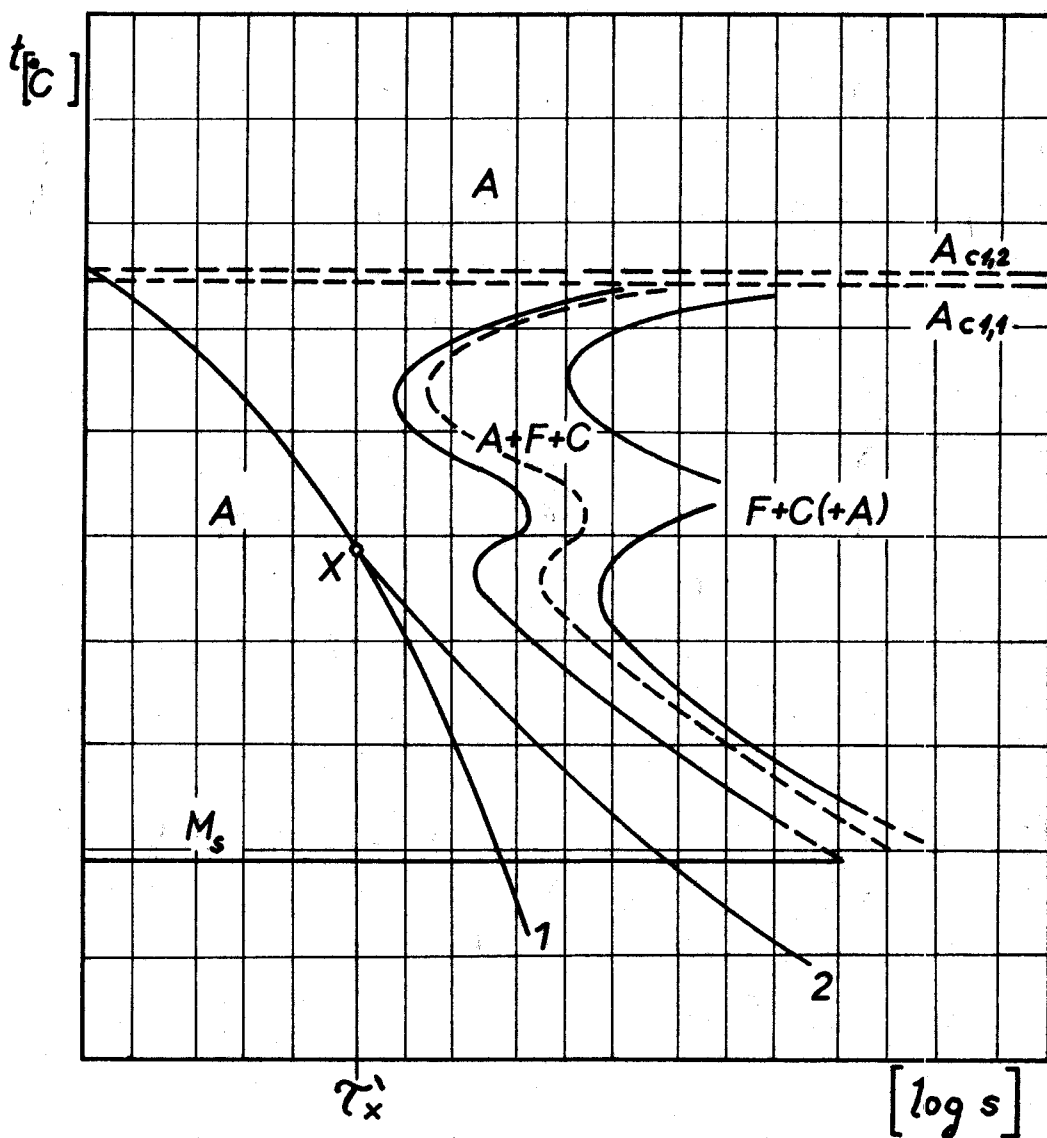
V rámci diplomové práce bylo nutno provést studii kalení nuceným proudem olejové lázně, při změně intenzity její rychlosti v samotném procesu kalení. Tato studie byla provedena v laboratoři katedry termomechaniky a technického měření. Sledování procesu kalení se obvykle provádí

jen z hlediska metalografického na vzorcích zakalených danou technikou. Při řešení diplomního úkolu bylo sledování procesu kalení provedeno jak z hlediska metalografického, tak také z hlediska tepelných pochodů. Sledování tepelných pochodů v podmírkách rychlých teplotních změn si však vyžádá použití zvláštní přístrojové techniky a potřebných zkušeností a nutno také dodat, že je poměrně pracné. Zvládnutí diplomové práce v požadovaném rozsahu bylo usnadněno tím, že řešitel po dobu 3,5 let se zúčastňoval různých prací z oblasti tepelně technické problematiky, řešených uvedenou katedrou.

### 1. Obecný rozbor řešeného problému.

Obecně lze na průběh ochlazování při klení do olejové lázně klást požadavek, aby ochlazování v oblasti perlitické přeměny bylo prudké a v oblasti martensitické přeměny pomalé. Prudké ochlazování v oblasti perlitické přeměny má zabránit vzniku měkké feriticko-perlitické struktury a proti tomu pomalé ochlazování v oblasti martensitické přeměny/ pod  $M_s$ /, má zabránit vzniku velkých vnitřních prutí, která jsou dána složením pnutí v důsledku strukturních přeměn a pnutí tepelných v důsledku rozdílu teplot mezi povrchem a jádrem kleného dílu.

Při klení do olejové lázně OL -J4 /ložiskový olej/, je počáteční údobí klení nepříznivě ovlivňováno působením parního polštáře. Zavedením klení nuceným proudem olejem je dle [1], působení parního polštáře značně potlačeno, přičemž je žádoucí rychlosť proudění olejové lázně okolo 0,5 m/s. Je-li žádoucí, aby nucené proudění kalici lázně v oblasti perlitické přeměny bylo intensivní, potom v oblasti martensitické přeměny je žádoucí zmírnění intenzity proudění lázně. Schematicky je možno znázornit žádoucí průběh ochlazování křivkou X2 v obr.1, kde do diagramu IRA je schematicky transformován průběh teploty v čase. Počátek klení je proveden při jedné rychlosti proudění lázně, přičemž po určité době se rychlosť proudění lázně zmenší, v důsledku čehož dojde ke zpomalení rychlosti ochlazování kleného dílu.



obr.1 - Schema principu kalení s proměnnou intenzitou rychlosti proudění kalící lázně transformováním průběhu teploty v čase do diagramu IRA.

X1 - kalení beze změny rychlosti proudění kalící lázně.

X2 - kalení se změnou rychlosti proudění kalící lázně.

U provozního zařízení [2] se kalici lázeň dopravuje do kalici vany pomocí čerpadel. Kalená vsázka se zaváží do prázdné kalici vany, čerpadla se zapínají až po zavězení v sázky a uzavření víka kalici vany. To znamená, že jednotlivé partie vsázky po výše jsou zahlcovány postupně. Z provozu je známo, že doba úplného zahlcení kalici vany olejem od okamžiku zapnutí čerpadel činí  $5 + 7$ s v závislosti na druhu vsázky/jejím objemu/. Tento fakt je rozhodující při výběru okamžiku změny intenzity proudění lázně /bod Xobr.1/, což bylo vzato v úvahu i při laboratorních zkouškách.

Vlastní realizace změny intenzity rychlosti kalici lázně v provozních podmírkách řešena nebyla. V laboratorních podmírkách u zkušebního zařízení byla provedena změna rychlosti kalici lázně pomocí obtokového potrubí, které bylo otevřeno v požadovaném čase od počátku kalení / $T_x'$ /.

Při kalení s proměnnou intenzitou proudění lázně byl sledován vliv doby na strukturu a tvrdost kaleného vzorku a na rychlosť ochlazování vzorků v oblasti martenické přeměny/ oblast přeměny vymezená dle teploty povrchu vzorků/.

2. Zkušební zařízení a popis jeho funkce.

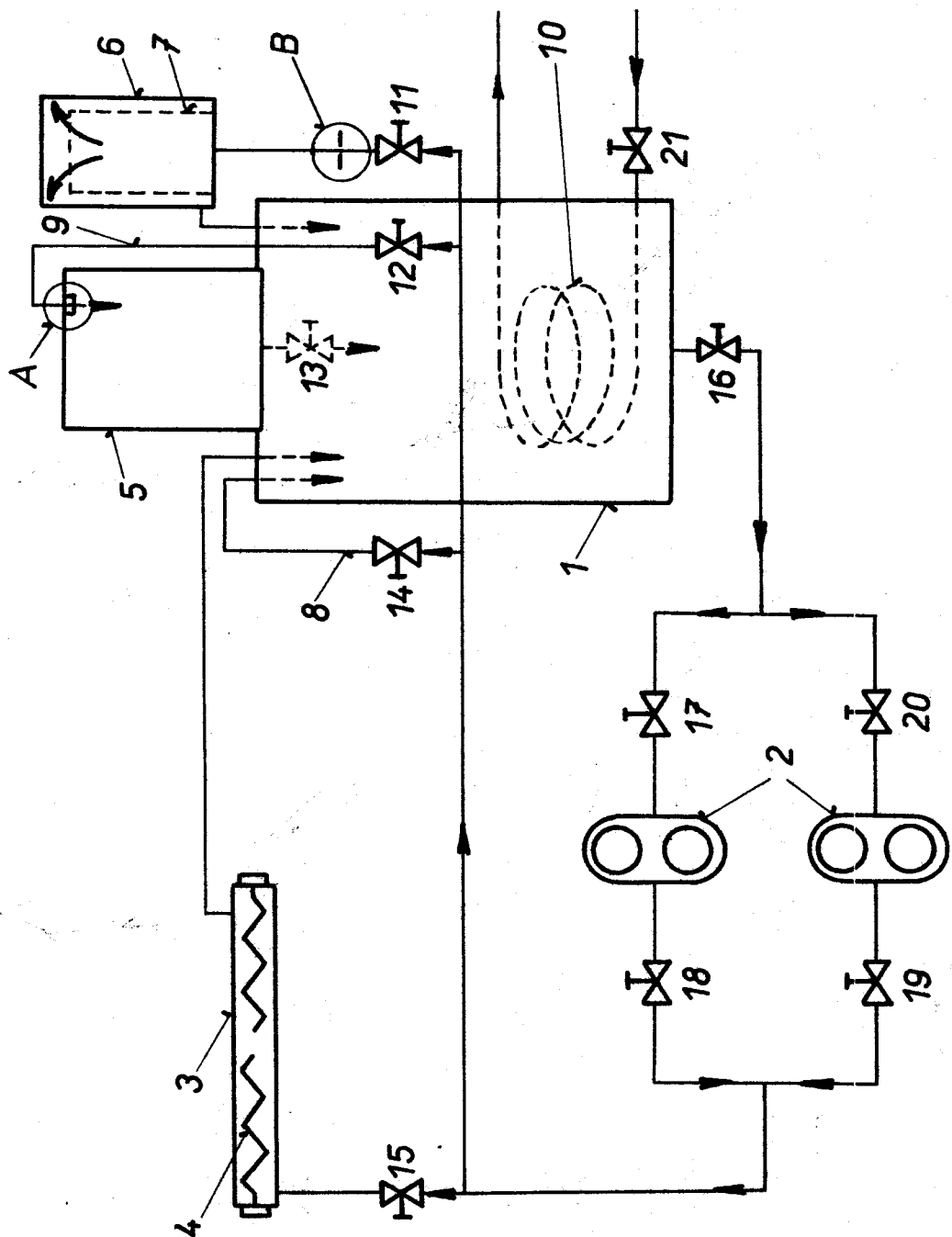
Schema zkušebního zařízení je přivedeno na obr.2.

Zkušební zařízení je sestaveno z nádrže pro olej 1 o obsahu 150 l s dvojitým pláštěm / izolace/, dvouzubových čerpadel oleje 2 o výkonu 100 l/min. každé, průtokového ohříváče oleje 3 se dvěma pohornými elektrickými tepnými tělesy 4 typu T-03 o výkonu 6kW každé, měrné nádoby 5 určení rychlosti proudění z nateklého množství, kalicí vany 6 se sadou výmenných vložek 7 pro snadnou reprodukovatelnost rychlosti proudění oleje při plném výkonu čerpadel, obtekového potrubí 8, přívodního potrubí 9 k měrné nádobě, chladiče olejové lázně 10 a uzavíracích ventilů 11 až 21.

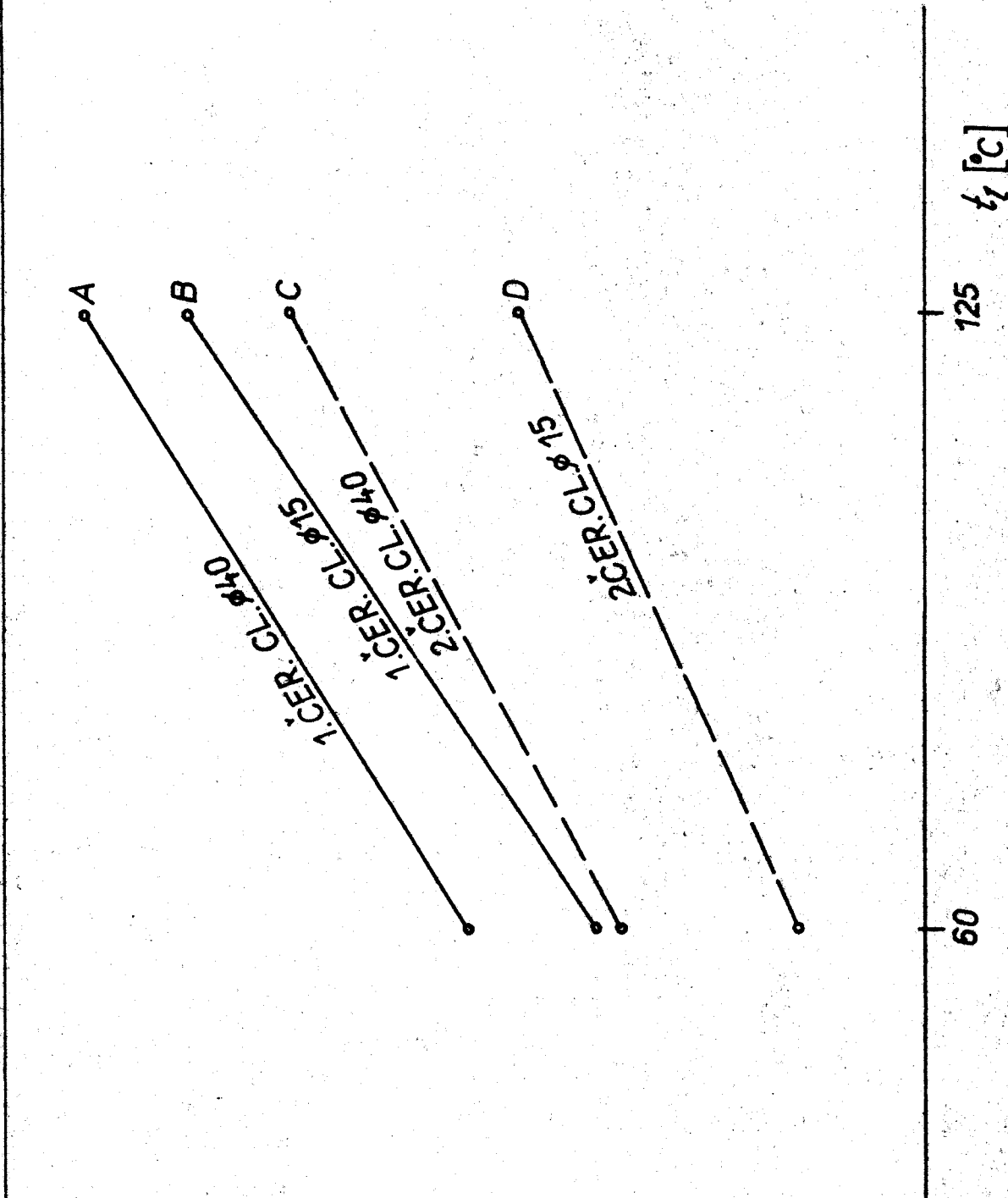
Vlastní kalení se provádí v kalicí vaně 6, přičemž vzorek ohřátý na kalicí teplotu se umístí do prázdné kalicí vany až poté se zapínají čerpadla.

Pro řešený případ bylo požadované rychlosti proudění lázně v kalicí vaně docíleno vhodnou velikou průměru výmenné vložky 7. Rozměry výmenných vložek byly voleny tak, aby požadované rychlosti obtékání byly docíleno při plném výkonu jednoho čerpadla.

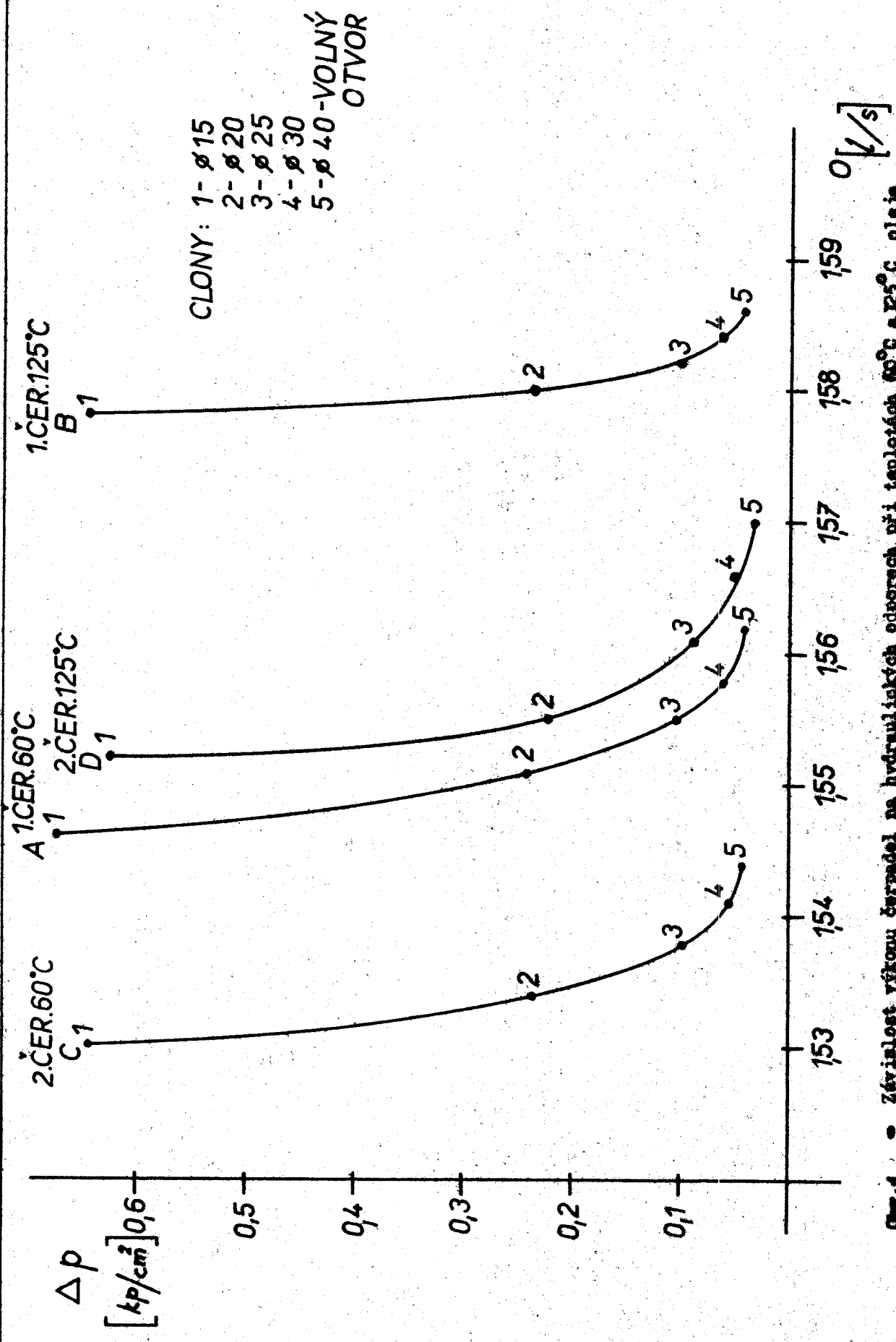
Výkon čerpadel byl stanoven v závislosti na teplotě lázně a na hydraulickém odporu vyvozeném uměle na úseku přívodního potrubí 9 pomocí vestavěných clon různých průřezů. Hydraulické odpory jednotlivých clon byly stanoveny výpočtem a výkon čerpadel byl určen pomocí měrné nádoby 5. Výsledky těchto měření jsou uvedeny na obr.3 a obr.4.



obr. 2 - Schéma ohřívání oleje.  
 1 - nádrž pro olej, 2 - čerpadlo oleje, 3 - průtokový ohřívač oleje,  
 4 - ponorná tepláka tělesa, typu T-03(6 kW), 5 - měrná nádoba,  
 6 - kuličková vana, 7 - výkonná vložka kuličková vany, 8 - odtokové potrubí,  
 9 - potrubí přivodu oleje do měrné nádoby k určení rychlosti proudění,  
 10 - vodní chladič olejové lázně, 11 až 21 - usazovací ventily  
 A - usávání potrubí přivedu oleje 2 ; B - clona v přívodu oleje ke kal. vaně 6



zadání 3 - Závislost výkunu čerpadla na teplotě oleje a pro extrémní výkon (elen) 40 a 15 m pro l. a 2.  
čerpadlo



Závislost výkonu čerpadla na hydraulických odporech při teplotách  $60^\circ\text{C}$  a  $125^\circ\text{C}$  dle  
(pro 1. a 2. čerpadlo)

tab. 4

Z obr. 3 je zřejmé, že při změně teploty lázně v rozsahu 60 až  $125^{\circ}\text{C}$  se změní výkon 1. čerpadla o  $1,9 \pm 2,0\%$  a 2. čerpadla o  $1,7 \pm 1,8\%$  pro oba s clon, t.j. s 15 a 40mm. Z obr. 4 je patrné, že při změně hydraulického odporu přívodního potrubí 9 s clonkou v rozsahu od 0,03 do 0,65 kp/cm<sup>2</sup>, se výkon čerpadel změní o  $0,7 \pm 1,0\%$  pro teplotu lázně  $60^{\circ}\text{C}$  a o 0,6 až 1,0 pro teplotu lázně  $125^{\circ}\text{C}$ .

Změna výkonu čerpadel v závislosti na teplotě lázně a v závislosti na hydraulickém odporu přívodních potrubí se zařazenými clonkami uvažována nebyla. Rychlosť proudění lázně byla určována pro střední hodnoty stanovených výkonů. Chyba v nastavení požadované rychlosťi nepřesáhla hodnot  $\pm 1,5 \pm 2\%$ .

Při kalení s proměnnou intensitou proudění lázně byly ventily 11 a 12 otevřeny, ventily 14 a 15 uzavřeny. Výstup přívodního potrubí 9 byl uzavřen mechanickou uzávěrkou A/výkres č.DP-ST-674/68.1/, která byla v době odpovídající změně intenzity proudění lázně otevřena. V důsledku toho se dodávané množství lázně dělilo mezi přívodní potrubí 9 a přívodní potrubí ke kalicí vaně. Aby bylo docíleno dělení dodávaného množství lázně mezi kalicí vanu a přívodní potrubí 9 v poměru potřebném pro redukci rychlosťi proudění z původní do přívodního potrubí ke kalicí vaně, byla zamontována clonka B/obr.2 a výkres č.DO-ST-674/68.2/. Průměr clonky byl pokusně stanoven tak, aby bylo docíleno žádoucího rozdělení proudu lázně.

Na uvedeném zkušebním zařízení byly prováděny zkoušky se samostatnými vzorky válcového tvaru. Uložení vzorků bylo pomocí opěrek soustředné s vnitřním průměrem výměnné vložky 7 kalící vany ve svislé poloze, takže zkušební vzorky byly obtékány podélným proudem oleje směrem zdele nahoru.

### 3. Podmínky a rozsah provedení zkoušek.

Laboratorní zkoušky byly provedeny při teplotách každí lázně 60 a  $125^{\circ}\text{C}$ . Jako každí lázně bylo použito ložiskového oleje OL-J4 [3]. Zkušební vzorky byly zhotoveny z materiálů 15241 a 14223. Materiál 14223 je cementační ocel. Vzorky zhotovené z tohoto materiálu byly v kalírně n.p. LIAZ Rýnovice nacementovány v cementační peci typu "MONOCARB". Gradient cementace byl proveden laboratoří útvaru podnikové metalurgie zmíněného podniku. Uvedená laboratoř rovněž provedla chemický rozbor materiálů pro zkušební vzorky. Chemicke rozboru a gradient cementace jsou uvedeny v tabulce 1, 2, 3 a 4. Grafické znázornění gradientu cementace v nacementované vrstvě je představeno na obr. 5.

Zkušební vzorky, které sloužily jednak pro sledování teplotního pole, jednak pro metalografické vyhodnocení, byly vyrobeny dle obr. 6. Rozmístění otvorů pro snímání teplot uvnitř vzorků, bylo navrženo dle [1]. Vzhledem k tomu, že vrtání pro termočlánky bylo prováděno do vzdálenosti poloviny délky vzorků, přesná místa snímání teplot byla odečtena až po přípravě vzorků pro metalografické vyhodnocení. Přehledně jsou vzdálenosti snímání teplot uvedeny v tabl. 5.

Z hlediska sdílení tepla zkušební vzorky nesplňují podmínu neomezeného válce, pro který má být délka  $l=5+10d$ , kde  $d$  představuje  $\delta$  vzorků.

Tab. 1 - Chemický rozbor materiálu dle ČSN 15 241 § 30.

Chem.slož.	C	Mn	Si	Cr	V	P	S
ČSN	035-042	060-075	max 035	1,70-2,00	0,10-0,20	max 004	max 004
skutečnost	0,38	0,63	1,	1,94	0,18		

Tab. 2 - Chemický rozbor materiálu dle ČSN 15 241 § 30.

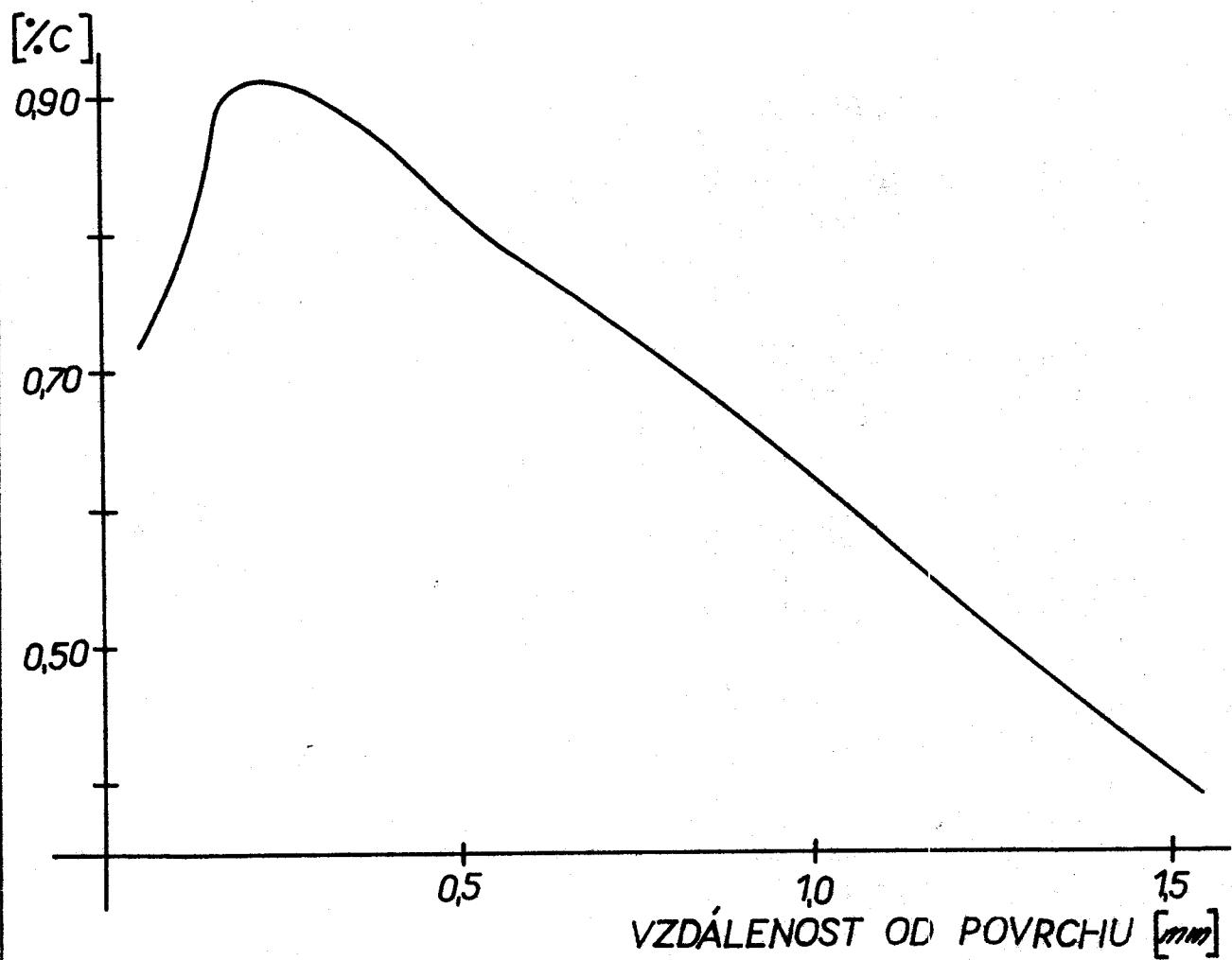
Chem.slož.	C	Mn	Si	Cr	V	P	S
ČSN	035-042	060-075	max 035	1,70-2,00	0,10-0,20	max 004	max 004
skutečnost	0,41	0,61		1,98	0,19		

Tab.3 - Chemický rozbor materiálu dle ČSN 14 223 § 30.

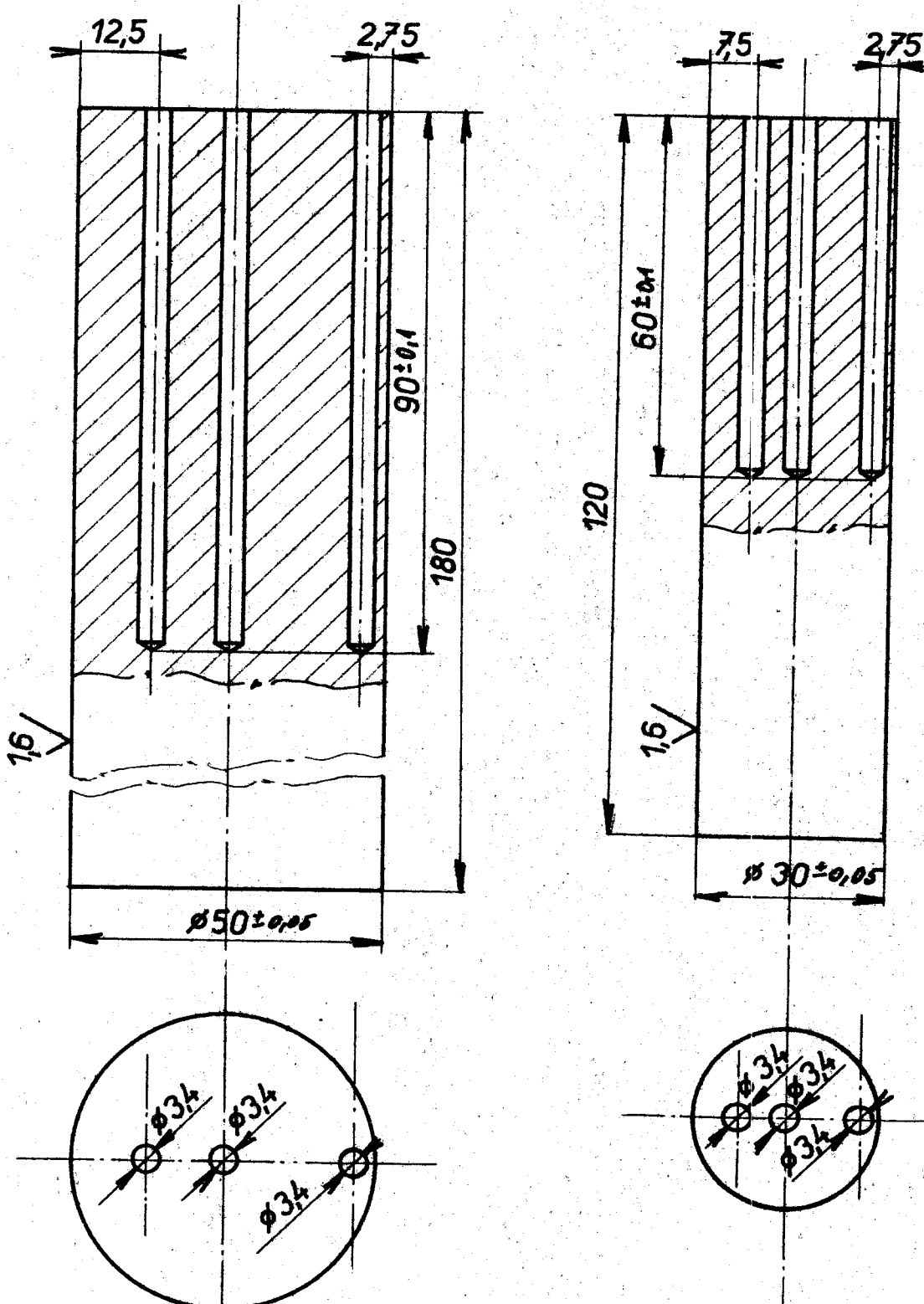
Chem.slož.	C	Mn	Si	Cr	V	P	S
ČSN	0,16	1,14	0,27	1,00	0,05	0,03	0,043
skutečnost	0,21	1,04	0,37	1,22		0,022	0,01

Tab. 4 - Gradient cementace

vratva mm	0,05	0,10	0,15	0,20	0,25	0,35	0,45
% C	0,72	0,77	0,86	0,91	0,91	0,89	0,84
vratva mm	0,55	0,65	0,72	0,95	1,15	1,35	1,55
% C	0,79	0,76	0,72	0,61	0,55	0,47	0,39



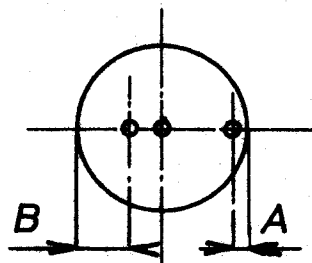
obr. 5 - Grafické znázornění gradientu cementace pro materiál 14 223



obr. 6 - Konstrukční provedení výšek

Tab. 5 - Poloha míst A a B, ve kterých byly měřeny teploty uvnitř vzorků

vzorek	A	B
B1	2,6	7,5
B2	2,8	7,3
B3	3,0	7,0
B4	3,0	6,9
B5	3,3	7,4
D1	3,2	13,9
D2	3,0	12,4
D3	2,7	13,2
D4	2,7	12,5
D5	3,3	12,6
E1	4,3	7,6
E2	3,7	8,0
E3	3,0	7,0
E4	4,0	7,4
E5	4,0	7,3
E6	3,4	8,2



Pozn.: uvedené hodnoty jsou vzdálenosti měřené od povrchu vzorku jak ukazuje obrázek.

Není to však na závadu řešení úkolu v rámci diplomové práce, neboť na základě naměřených teplotních průběhů se nevyhodnocovaly charakteristiky, pro něž by bylo podmínkou, aby zkušební vzorky byly neomezenými válci.

Laboratorní zkoušky mají být studii s ohledem na podmínky provozu kalírny. Na základě popisu průběhu procesu kolení na provozním zařízení [2] uvedeném v kapitole 1., byly stanoveny tyto doby změny intenzity proudění lázně odečítané od okamžiku, kdy hladina olejové lázně dostoupila do poloviny délky vzorku:  $T_x' = 0,3, 6, 10, 15$  a  $20\text{s}$ . Rovněž rychlosti proudění kalící lázně byly voleny tak, aby se laboratorní zkoušky co nejvíce přiblížily provozním podmínkám. Přehledně jsou podmínky laboratorních zkoušek uvedeny v tab.6.

Tab. 6 - Přehled režimů kalení

vzorek	material	průměr výrobku d [mm]	celková výška l [mm]	čas zahřívání rychlosti	rychlosť oleje w/m/s	teplota oleje t [°C]	průměr výrobky D [mm]
B1	15241	30	120	0	0,46	60	72
B2	15241	30	120	6	0,46m0,1	60	72
B3	15241	30	120	10	0,46m0,1	60	72
B4	15241	30	120	15	0,46m0,1	60	72
B5	15241	30	120	10	0,46m0,1	125	72
D1	15241	50	180	0	0,44	60	84
D2	15241	50	180	6	0,44m0,1	60	84
D3	15241	50	180	10	0,44m0,1	60	84
D4	15241	50	180	20	0,44m0,1	60	84
D5	15241	50	180	10	0,44m0,1	125	84
E1	14223	30	120	0	0,46	60	72
E2	14223	30	120	3	0,46m0,1	60	72
E3	14223	30	120	6	0,46m0,1	60	72
E4	14223	30	120	10	0,46m0,1	60	72
E5	14223	30	120	15	0,46m0,1	60	72
E6	14223	30	120	10	0,46m0,1	125	72

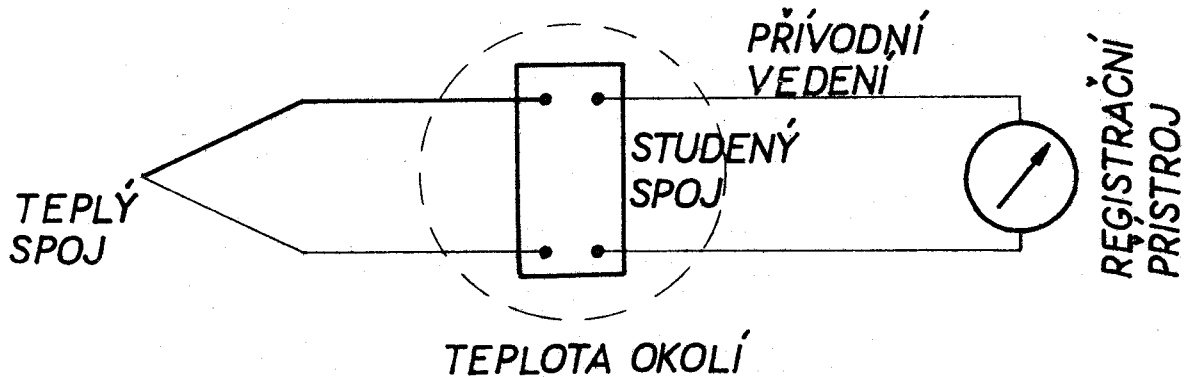
#### 4. Technika měření.

##### 4.1. Technika měření teplot.

Učelem měření teplot je získání teplotního pole vzorků v závislosti na čase, které je důležité pro provedení závěrů o použitelnosti metody kalení s proměnnou intenzitou rychlosti kalící lázně.

Při kalení do lázně s nuceným prouděním dochází k poměrně značným rychlostem ochlazování, zvláště na povrchu vzorku. Vzhledem k této zkutečnosti, musí být volena i registrační metoda. Proto ve sledovaném případě bylo použito osciloskopu.

O způsobu a podmínkách použití osciloskopu k registraci teplot lze obecně říci asi toto : teploty se snímají pomocí termočlánků, které jsou napojeny na smyčky osciloskopu přívodními kably. Schema tohoto uspořádání :



Měřicí metoda, dle které se termočlánky napojují na smyčky je výchylková a tedy závislá na elektrickém odporu

přívodního vedení včetně termočlánků. Toto vedení musí být bráno s ohledem na vlastnosti smyčky tak, aby vlivem jeho elektrického odporu nebyla výchylka smyčky příliš potlačena. Aby bylo možné porovnávat jednotlivě získané průběhy teplot mezi sebou, je netbytné, aby přívodní vedení, včetně termočlánků, mělo vždy tentýž odpor. Elektrický odpor přívodního vedení se nemění. Nesmí se tedy měnit ani odpor termočlánků - proto musí mít termočlánky stejnou délku. Rovněž při ohřevu se jejich odpor nesmí trvale měnit.

Ve sledovaném případě bylo k registraci teplot použito osmismyčkového oscilografu firmy RFT(NDR). Použité smyčky a vlastnosti přívodních kabelů jsou přivedeny na tab. 7. Jako čidlo pro snímání teplot bylo použito termočlánků Fe-Ko pro teploty uvnitř vzorků a Ch-A pro povrchové teploty.

Výhodou termočlánků Fe-Ko je, že má strmou charakteristiku. Je dlouhodobě použitelný do teplot  $600^{\circ}$  a  $650^{\circ}$ C a krátkodobě do  $800^{\circ}$  C. V našem případě však byl použit do  $870^{\circ}$ C. Pro zjištění chyby, k jaké v tomto případě dochází, byly provedeny pomocné zkoušky. Termočlánek Fe-Ko byl vložen do peci v délce, v jaké je v peci při ohřevu vzorků pro kalení. Byl ohříván na teplotu  $900^{\circ}$ C po dobu 1 hodiny. Zjištěný rozdíl v elektrickém odporu mezi jeho hodnotou před a po ohřevu činil 1 %. Vzorky pro kalení byly ohřívány v téže peci, avšak po dobu kratší než 1 hodina. Z toho plyne, že při použití termočlán-

tab.7- Použité smyčky pro registraci průběhu teplot  
při kalení vzorků a vlastnosti přivedených kabelů.

smyčka typu	výr, číslo	místo měření	el. odporník kabela $\Omega$
MSD 8	4.38.1281	P	20,00
MSD 8	4.38.1282	A	19,98
MSD 5	3.25.3694	B	5,035
MSD 5	4.39.300	O	5,04

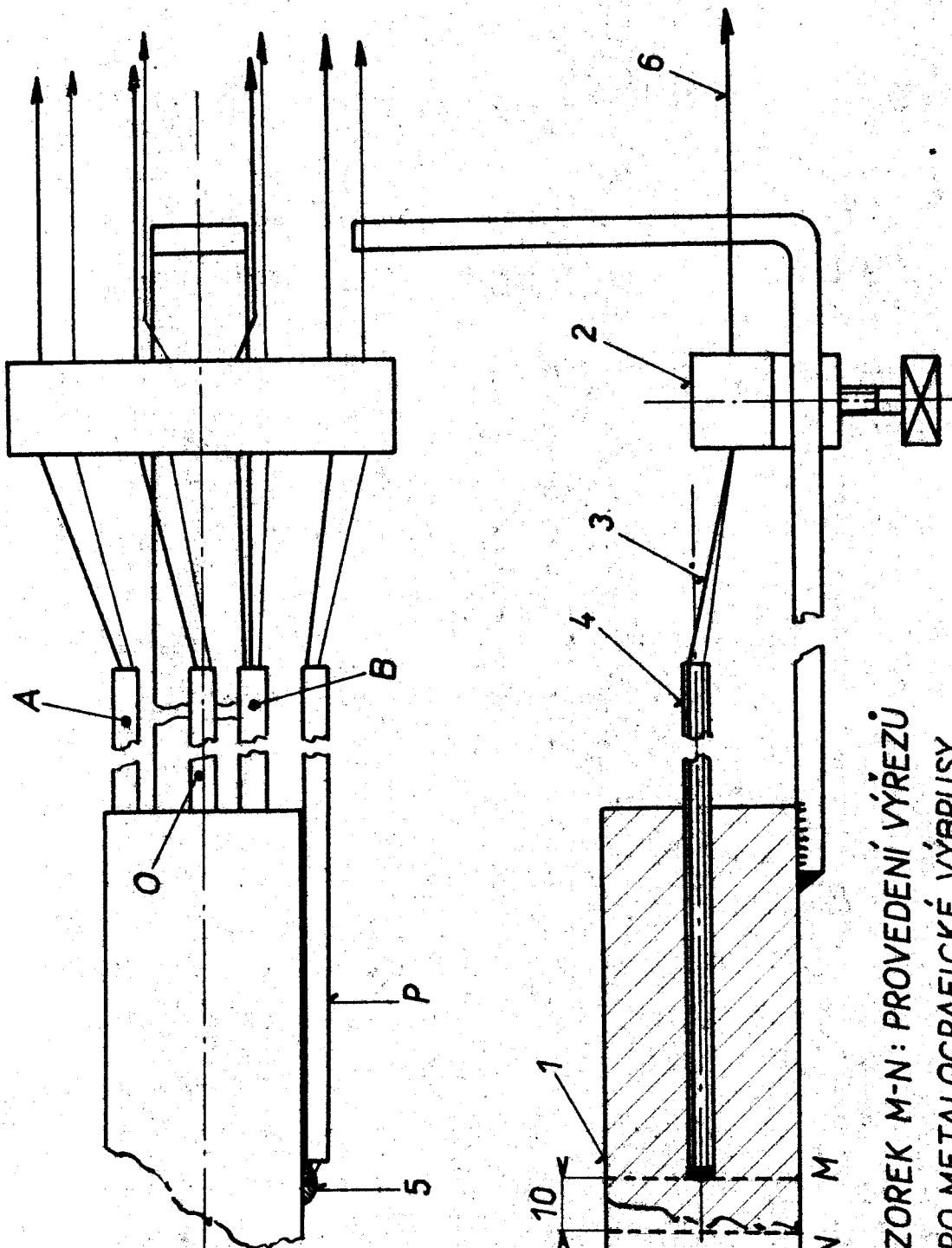
ku Fe-Ko, za podmínek výše popsaných, nebudou výsledky nepříznivě ovlivněny.

Termočlánky pro snímání vnitřních teplot byly navařeny do dna otverů vzorků zhotovených dle obr.6. Navaření bylo provedeno kondenzátorovým výbojem pomocí kondenzátorové svářečky při napětí  $U = 70V$  a kapacitě  $C = 7.200 \text{ F}$ .

Pevrchové termočlánky byly navařeny technicky čistým stříbrem pomocí plamene. Rovněž zde bylo nutno pomocnou zkouškou prověřit možnost použití termočlánků Fe-Ko.

Ukázalo se, že termočlánky Fe-Ko (zvláště Fe větev), byly při navařování plamenem tak poškozeny, že buď už při ohřevu, nebo při prvním styku s kalicí lázni, došlo k jejich poruše. Zde se nejlépe osvědčilo použití termočlánků Ch-A, jednak z důvodu, že nedojde k jejich narušení při navařování a také při ohřevu na kalicí teplotu  $870^\circ\text{C}$  jsou podstatně pevnější než termočlánky Fe-Ko. Proto zde také nehrozí nebezpečí od mechanického porušení.

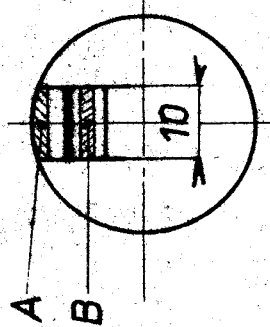
Celkové uspořádání vzorků připrevených pro kalení představuje obr.7. Ke vzorkům s navařenými termočlánky, izolovanými keramickými dvoukapilárami, jsou přiveřeny držáky. Na nich je snimatelně upevněna svorkovnice s trvale uchycenými přívodními kably k osciloskopu. Na vstupu svorkovnice se uchycují volné konce termočlánků. Spoj ve svorkovnici, jak ukazuje výše uvedené schema, je studeným spojem termočlánku. Aby nedošlo k chybám v měření, nesmí se jeho teplota měnit. Je třeba, aby jeho teplota byla teplotou místnosti. Při ohřevu vzorků pro



obr. 7 - celkové uspořádání vzorku pro  
kalení.

1-vzorek; 2-svorkovnice; 3-termočlánek  
4-izolace termočlánku keramickou dvo-  
kapilárou; 5-návarek stříbra;  
P-povrchový termočlánek; A-počíta termo-  
článku daná tab.5; B-počíta termočlánku  
daná tab.5; 0-termočlánek v jádře vzorku

VZOREK M-N: PROVEDENÍ VÝŘEZU  
PRO METALOGRAFICKÉ VÝBRUSY



kalení, který se prováděl v muflové peci, byl studený spoj termočlánku stíněn šamotovými deskami a tím chráněn před tepelným sáláním pece. Všechna uvedená opatření byla provedena ve snaze co nejvíce vzájemně přiblížit jednotlivá měření.

Lze říci, že měření průběhu teplot bylo provedeno s přesností  $\pm 2\%$ .

#### 4.2. Technika měření tvrdosti.

Znalost tvrdosti zakalených součástí je velmi důležitým ukazatelem jakosti provedení kalení.

Ze vzorků, kterých bylo použito pro měření teplotního pole při kalení, byla odebrána těleska o tloušťce 10mm, jak ukazuje obr. 7, řezy v rovině M a N. Tvrdosti byly měřeny v rovině M, t.j. v rovině, ve které také byly měřeny teploty při kalení. Jako měřicího přístroje bylo použito tvrdoměru typu "VICKERS" při zatížení 10kp. Tvrdosti byly měřeny ve dvou směrech k sobě kolmých od povrchu k jádru vzorku. Vzdálenosti vpichů od povrchu vzorku byly odečítány pomocí lupy s měřicí stupnicí v objektivu. Tvrdosti získané v obou směrech měření byly vyneseny do téhož obrázku a z nich proveden střední průběh. V diplomové práci jsou uvedeny jen tyto střední průběhy.

## 5. Výsledky zkoušek.

### 5.1. Průběhy teplot při kalení vzorků.

Z oscilografických záznamů získaných sledováním změn teplot vzorků při kalení, byly vyhodnoceny závislosti teploty na čase a vyneseny do semilogaritmických souřadnic.

Průběhy ochlazování pro vzorky řady "B" (pro materiál 15241 o průměru vzorků 30mm) jsou uvedeny na obr.8+ 11 pro teplotu lázně 60°C a obr.12 pro teplotu lázně 125°C.

Průběhy ochlazování pro vzorky řady "D" (pro materiál 15241 o průměru vzorků 50mm) jsou uvedeny na obr.13 + 16 pro teplotu lázně 60°C a obr.17 pro teplotu lázně 125°C.

Průběhy ochlazování pro vzorky řady "E" (pro materiál 14223 o průměru vzorků 30mm) jsou uvedeny na obr.18+ 22 pro teplotu lázně 60°C a obr. 23 pro teplotu lázně 125°C.

Samostatné obrázky představují průběhy ochlazování při kalení dle težimů uvedených v tab. 6.

### 5.2. Výsledky měření tvrdosti vzorků.

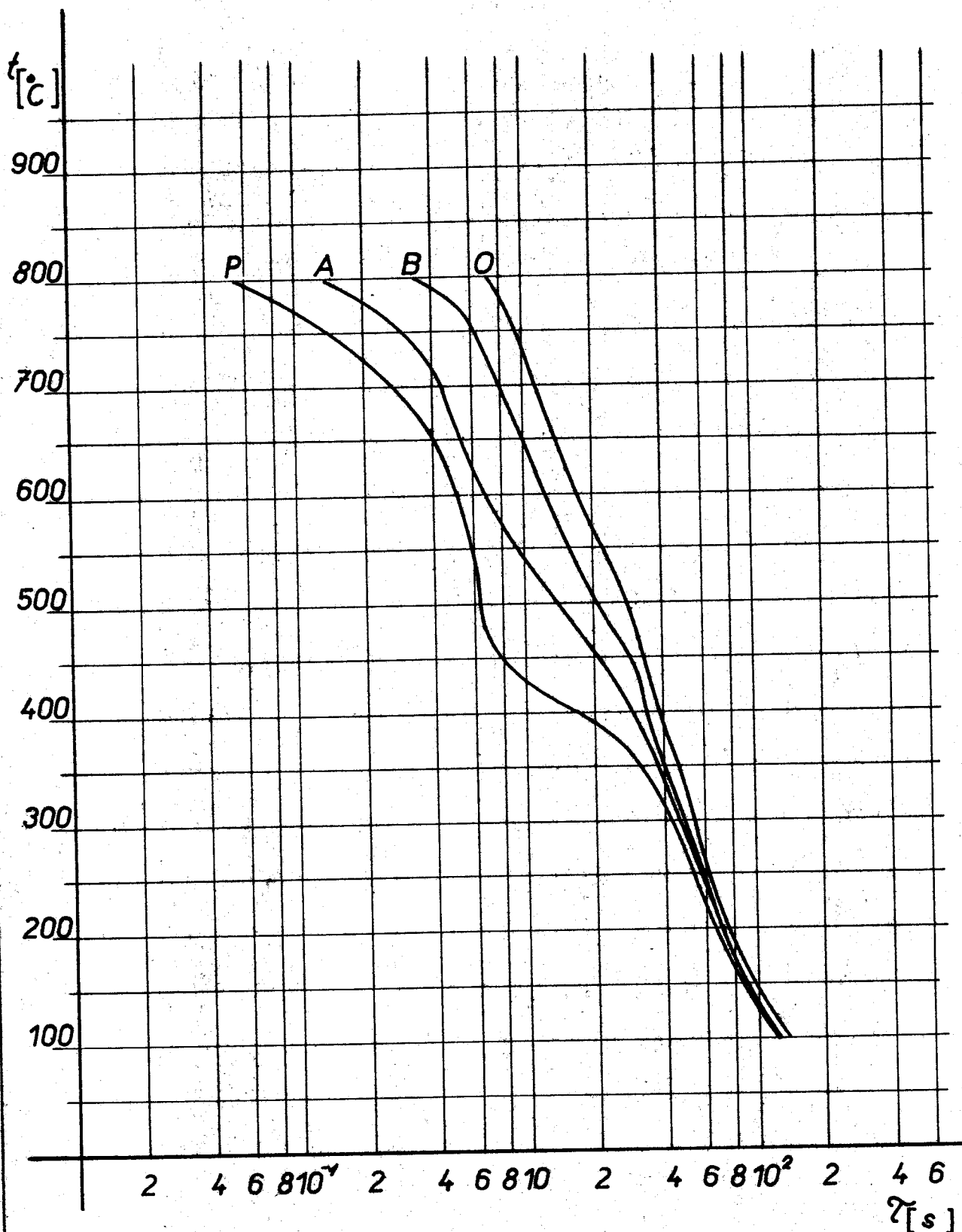
Tvrdosti byly měřeny u všech vzorků použitých pro sledování teplotního pole při kalení. Jejich průběh je sledován v závislosti na vzdálenosti od povrchu vzorků.

Průběhy tvrdostí pro vzorky řady "B" jsou uvedeny na obr. 24+ 27 pro teplotu lázně 60°C a obr. 28 pro teplotu lázně 125°C.

Průběhy tvrdosti pro vzorky řady "D" jsou uvedeny na obr. 29+ 32 pro teplotu lázně  $60^{\circ}\text{C}$  a obr. 33 pro teplotu lázně  $125^{\circ}\text{C}$ .

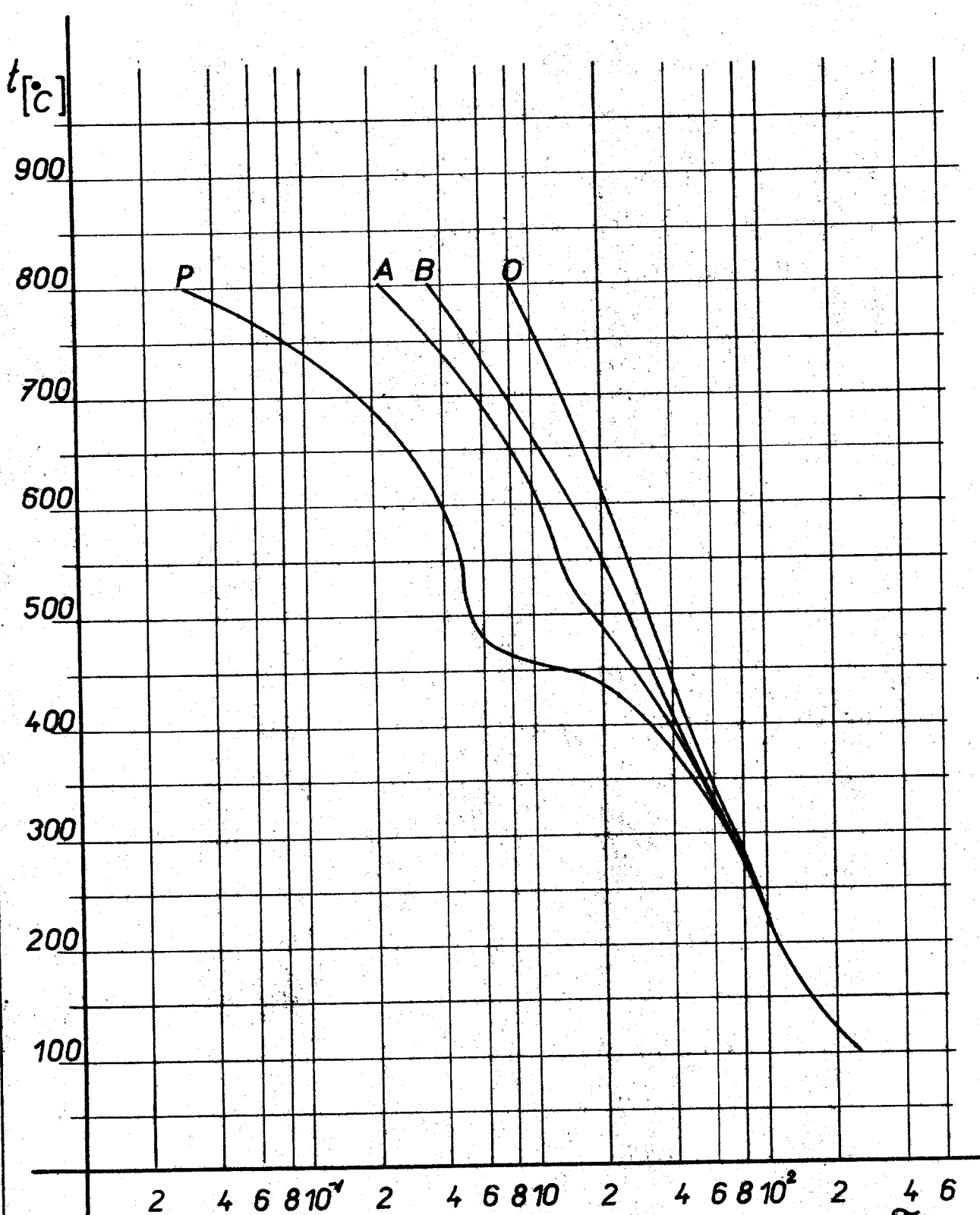
Průběhy tvrdosti pro vzorky řady "E" jsou uvedeny na obr. 34+ 38 pro teplotu lázně  $60^{\circ}\text{C}$  a obr. 39 pro teplotu lázně  $125^{\circ}\text{C}$ .

Fakulta strojní

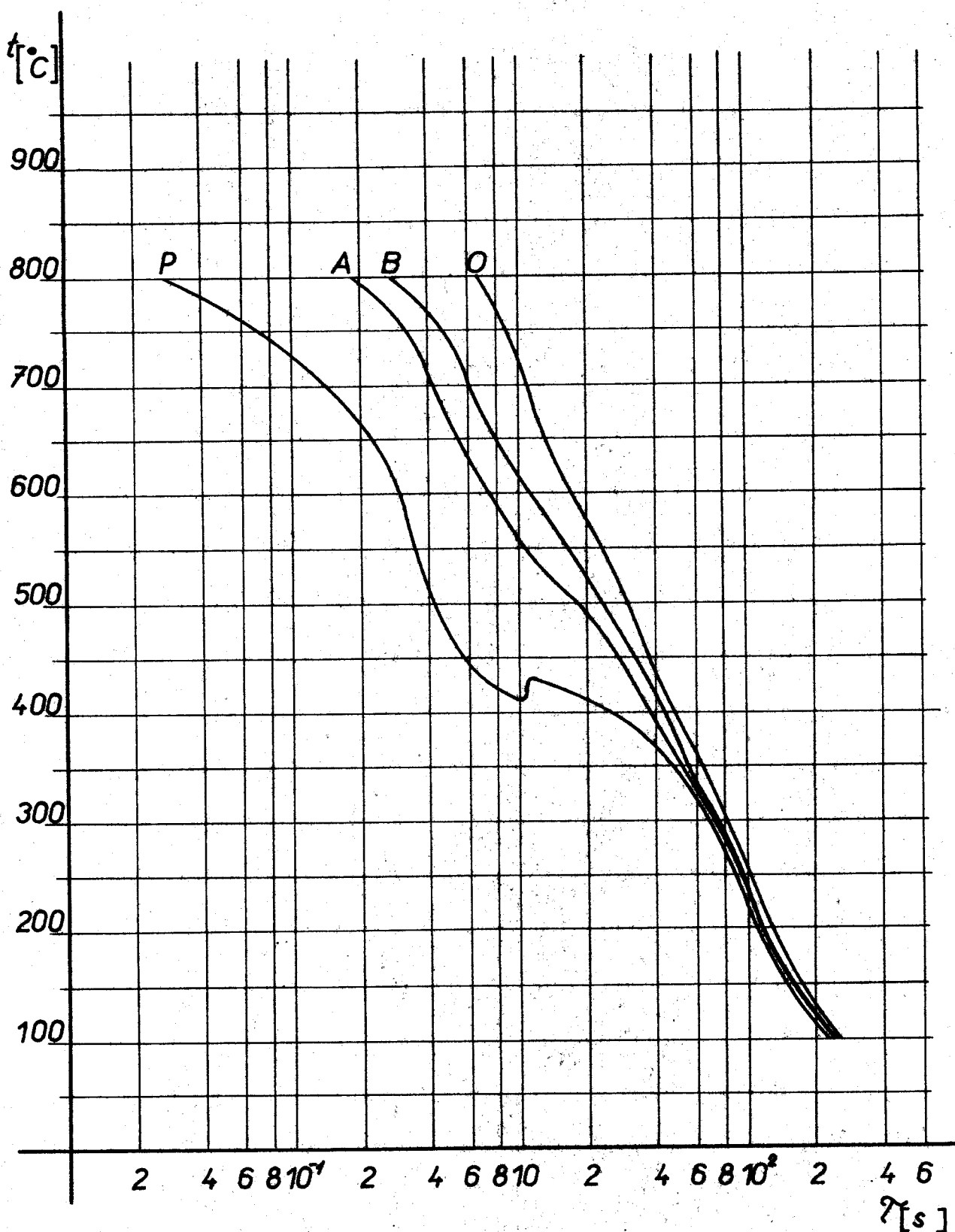


obr. 8 - Průběh teploty v závislosti na čase pro vzorek B1

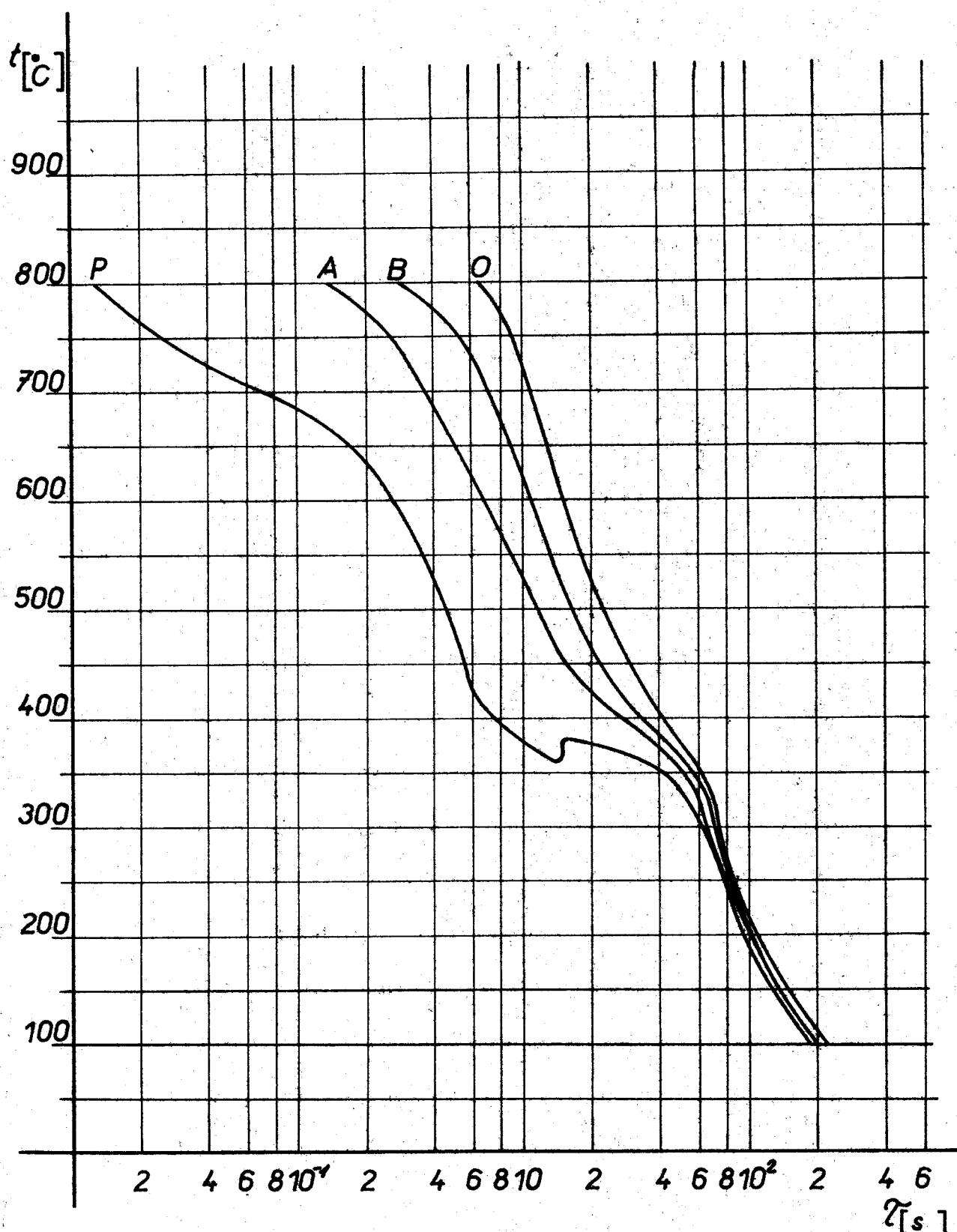
$$t_1 = 60^\circ\text{C}; w_1 = 0,46 \text{ m/s}$$

obr.9 - Průběh teploty v závislosti na čase pro vzorek  $\tau'$  [s]

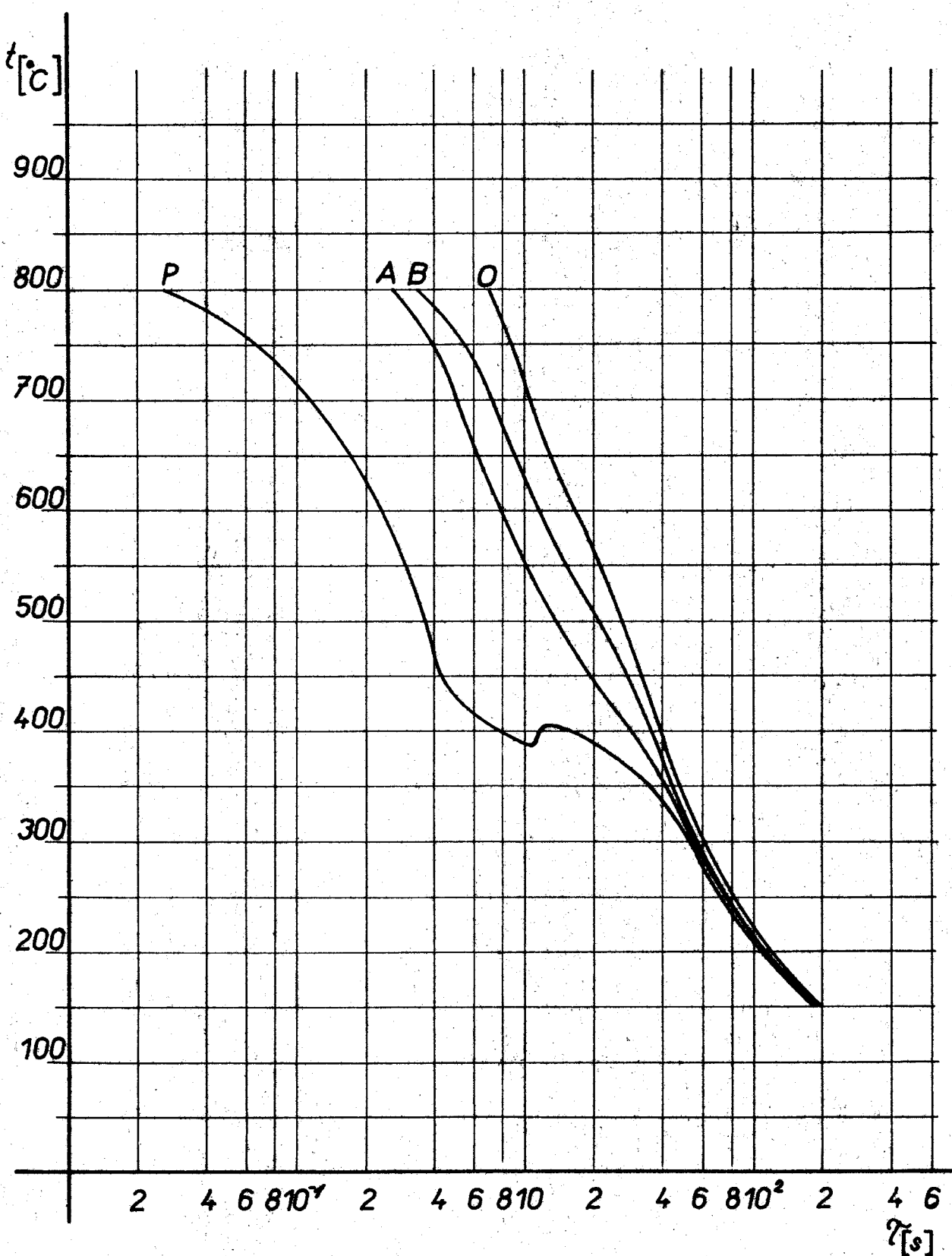
$$\begin{aligned} & B_2 \\ & t_1 = 60^\circ\text{C}; w_1 = 0,46 \text{ na } 0,1 \text{ m/s}; \tau'_x = 6 \text{ s} \end{aligned}$$



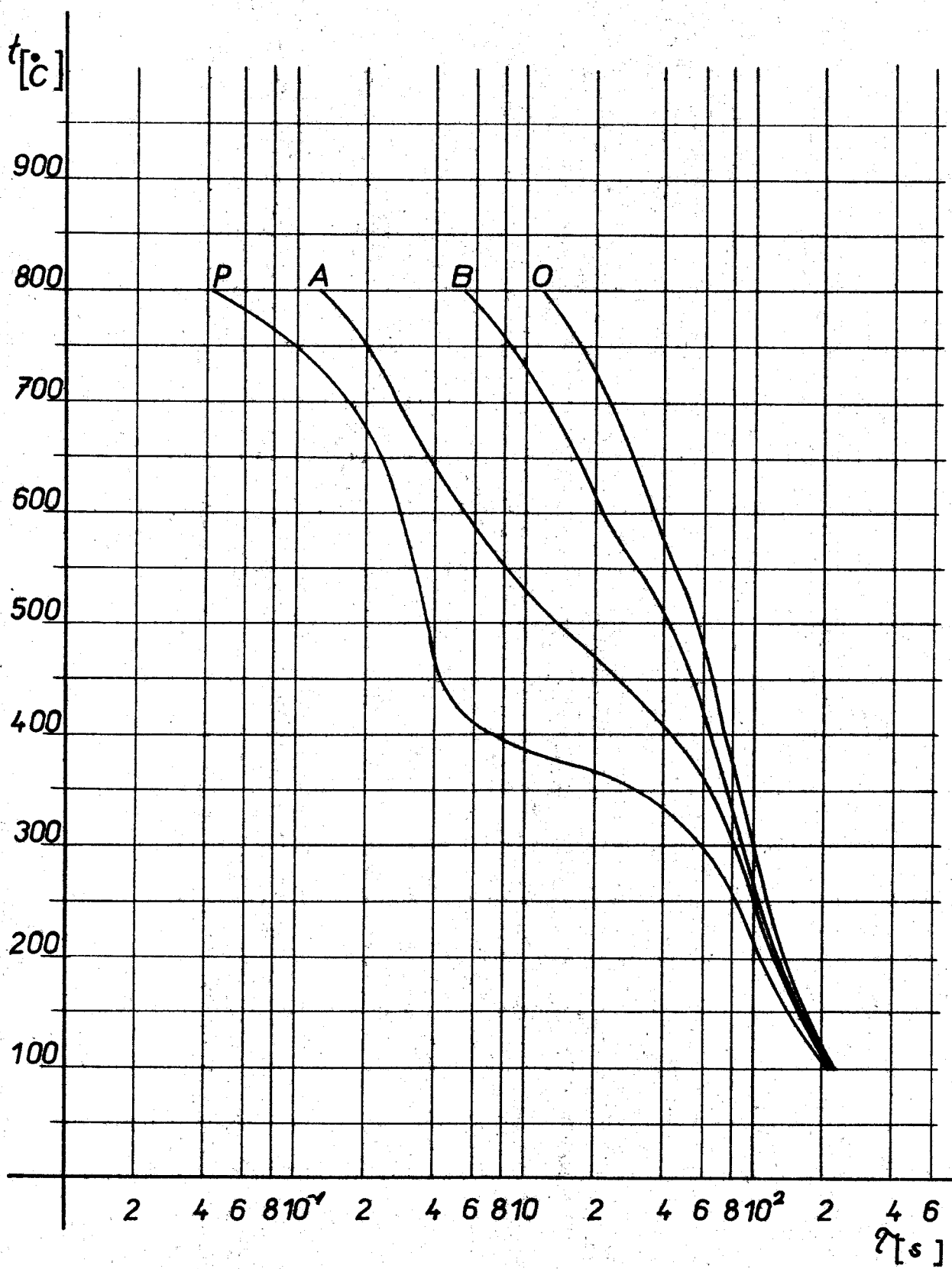
obr.10 - Průběh teploty v závislosti na čase pro vzorek B<sub>3</sub>  
 $t_1 = 60^\circ\text{C}$ ;  $w_1 = 0,46$  na  $0,1 \text{ m/s}$ ;  $T_x' = 10\text{s}$

obr. 11 - Průběh teploty v závislosti na čase pro vzorek B<sub>4</sub>

$$t_1 = 60^\circ\text{C}; w_1 = 0,46 \text{ na } 0,1\text{m/s}; \bar{\tau}_x' = 15\text{s}$$

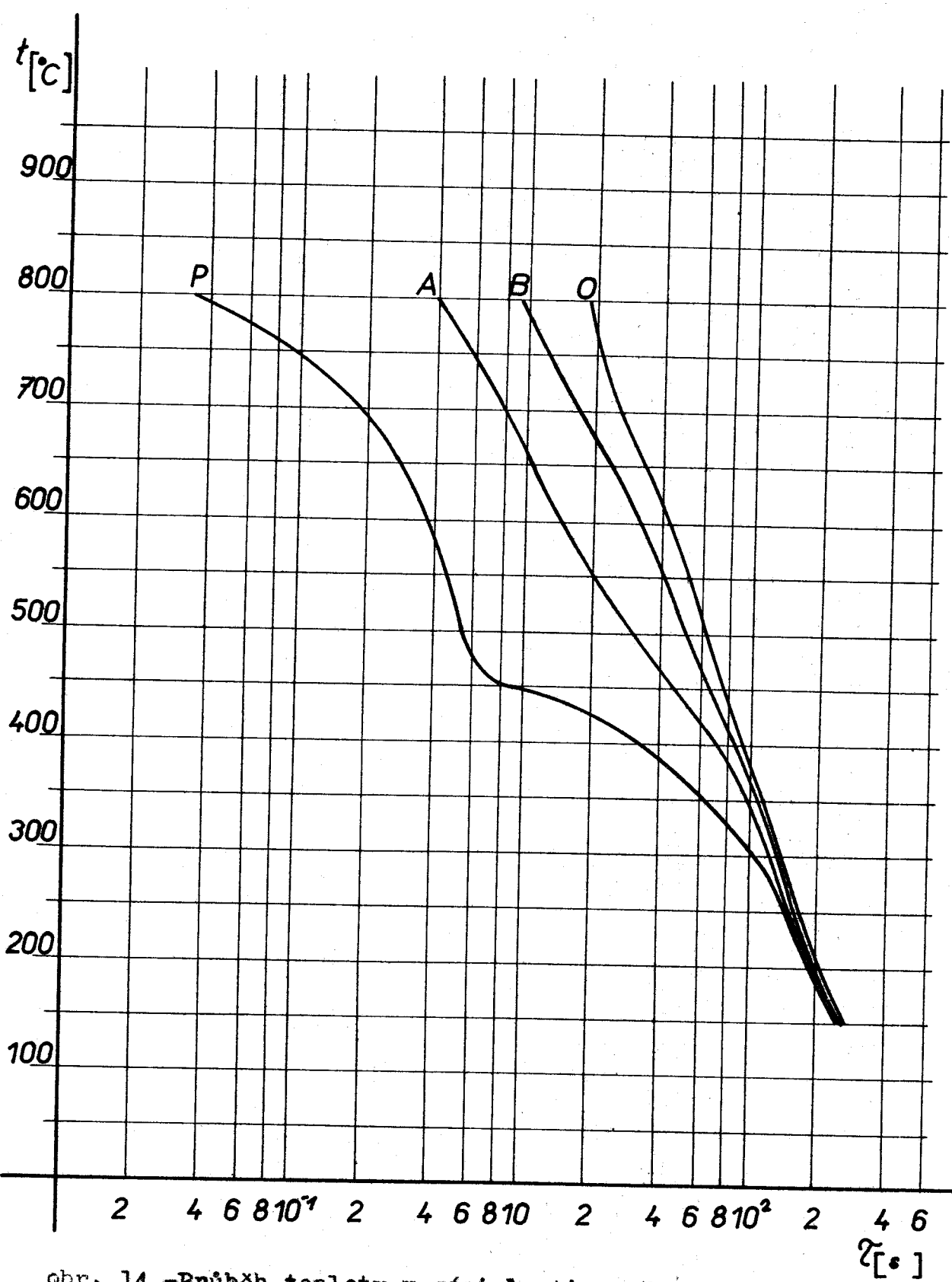
obr.12 - Průběh teploty v závislosti na čase pro vzorek B<sub>5</sub>

$$t_1 = 125^\circ\text{C} ; w_1 = 0,46 \text{ na } 0,1 \text{ m/s} ; T_x' = 10\text{s}$$



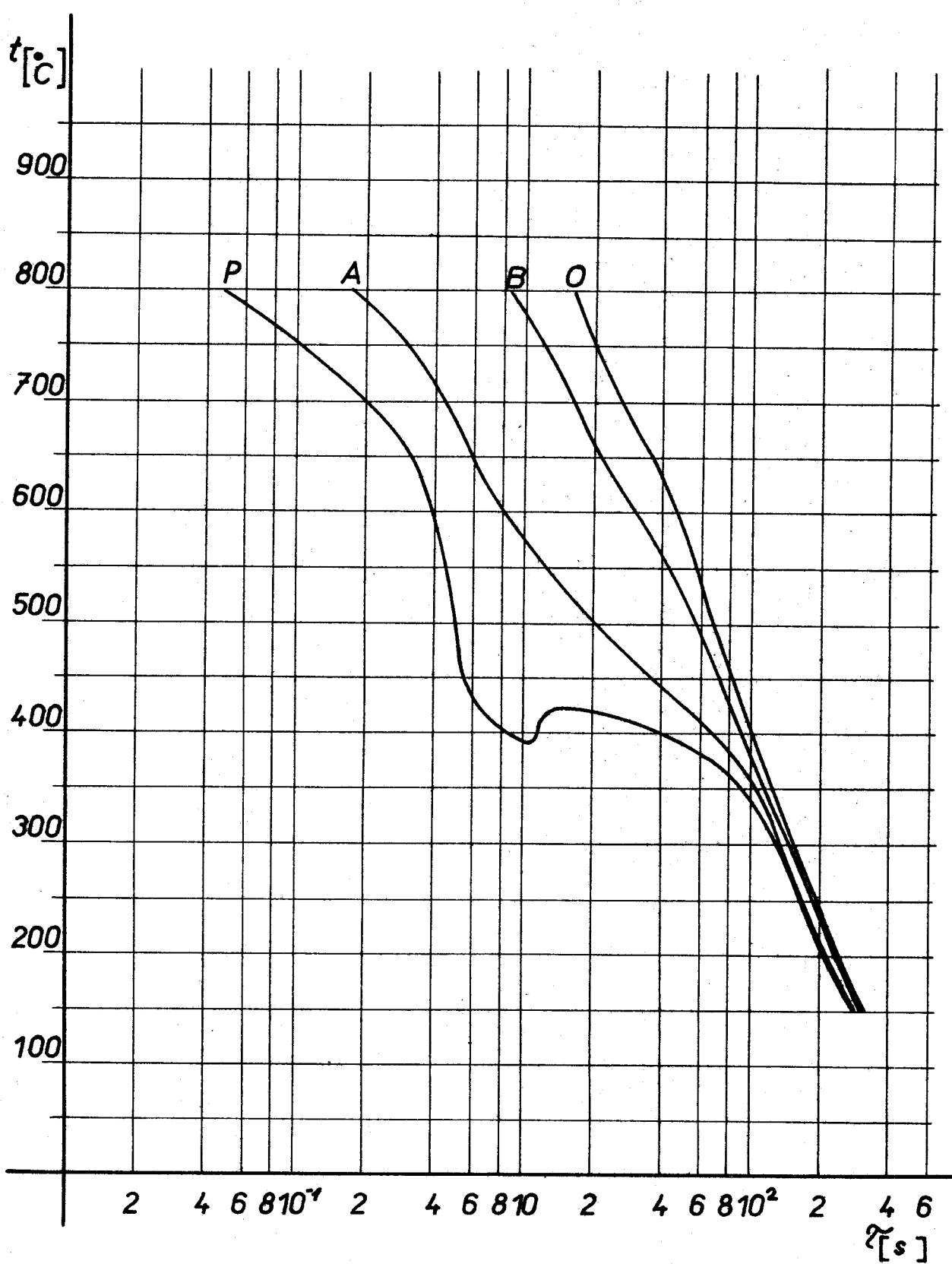
obr. 13- Průběh teploty v závislosti na čase pro vzorek D<sub>1</sub>

$$t_1 = 60^\circ\text{C}; w_1 = 0,44 \text{ m/s}$$

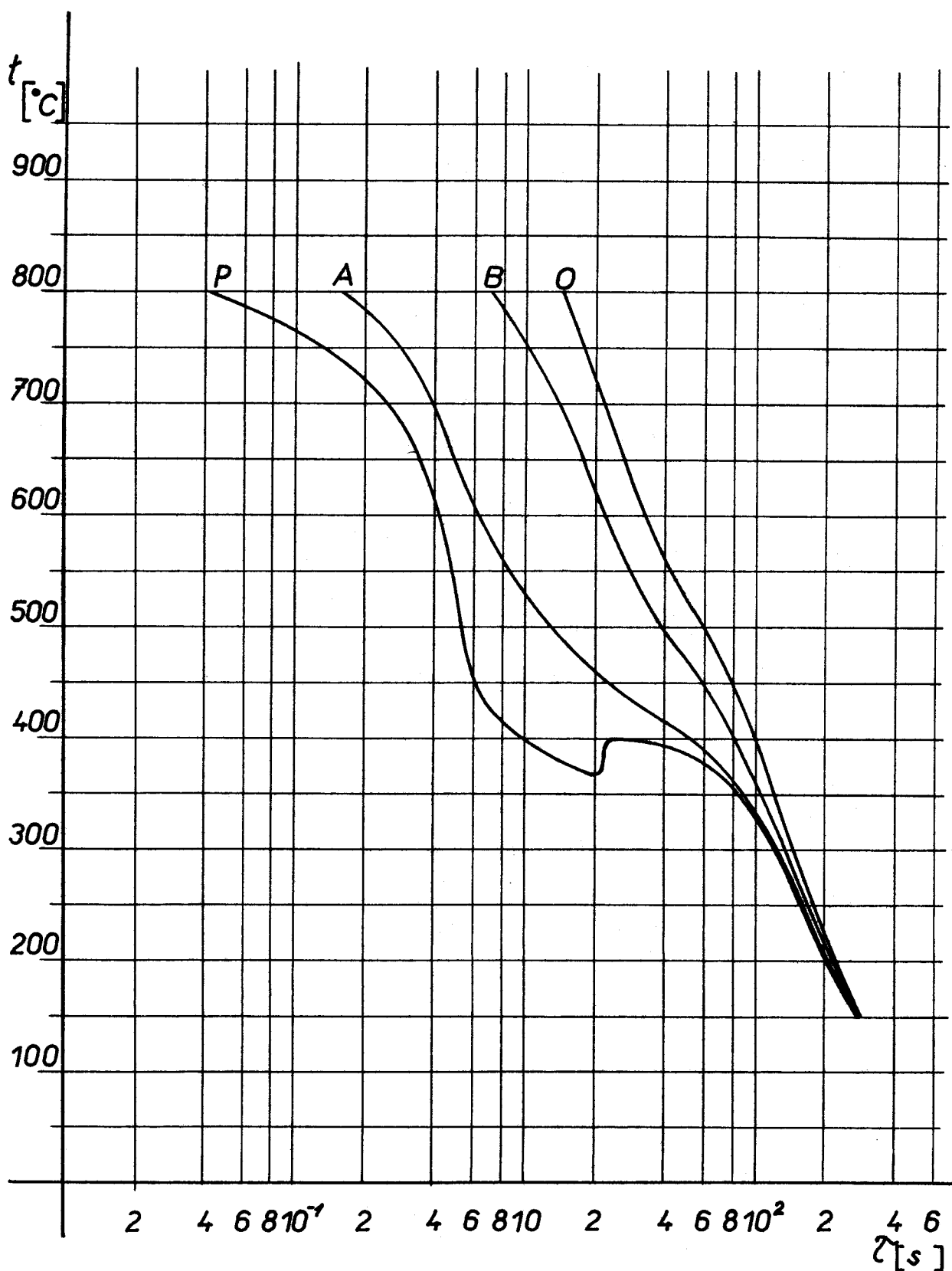


obr. 14 - Průběh teploty v závislosti na čase pro vzorek D<sub>2</sub>

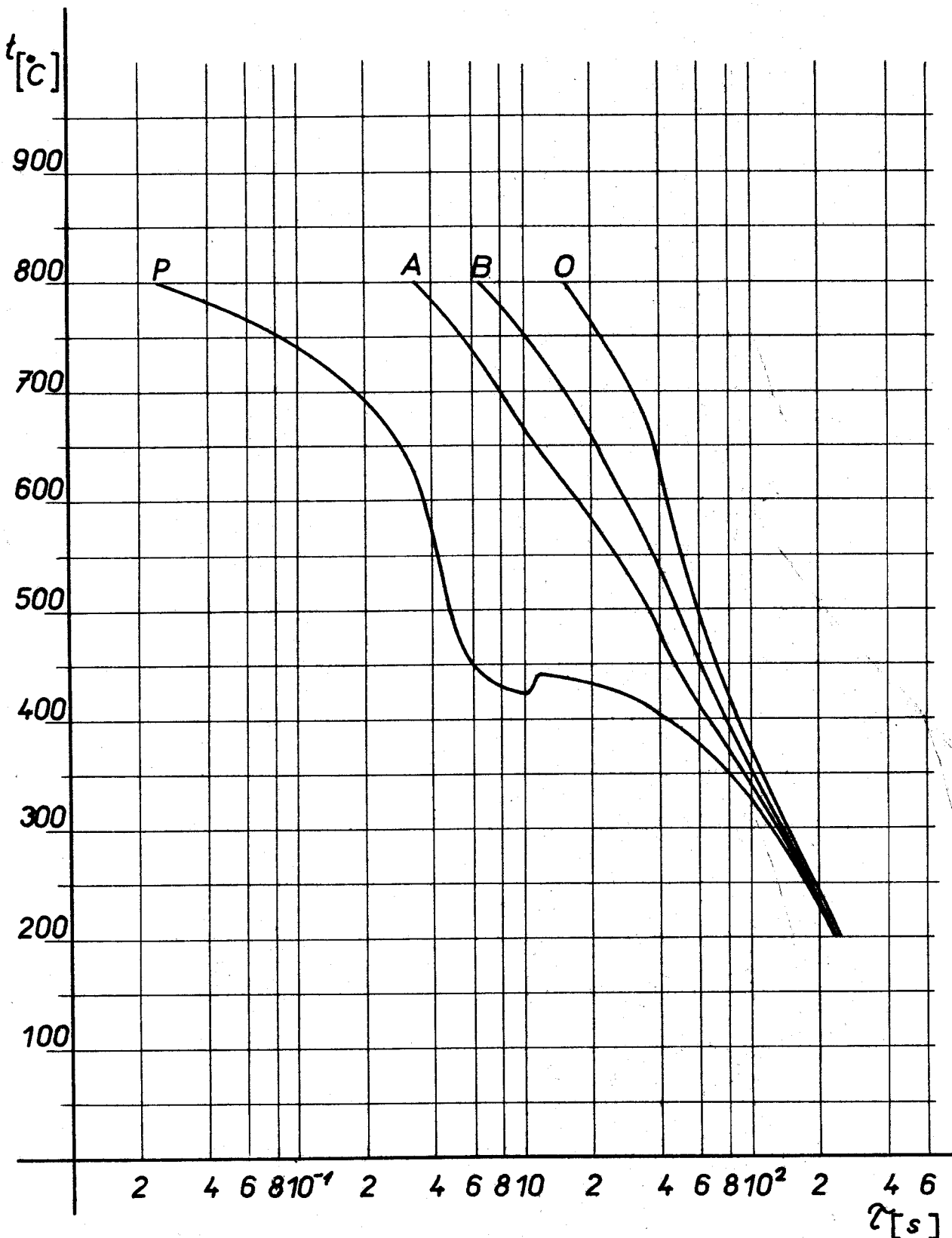
$$t_1 = 60^\circ\text{C} ; w_1 = 0,44 \text{ na } 0,1 \text{ m/s}; \tau'_x = 6\text{s}$$

obr. 15 - Průběh teploty v závislosti na čase pro vzorek D<sub>3</sub>

$$t_1 = 60^\circ\text{C}; w_1 = 0,44 \text{ na } 0,1 \text{ m/s}; \bar{\zeta}'_x = 10\text{s}$$

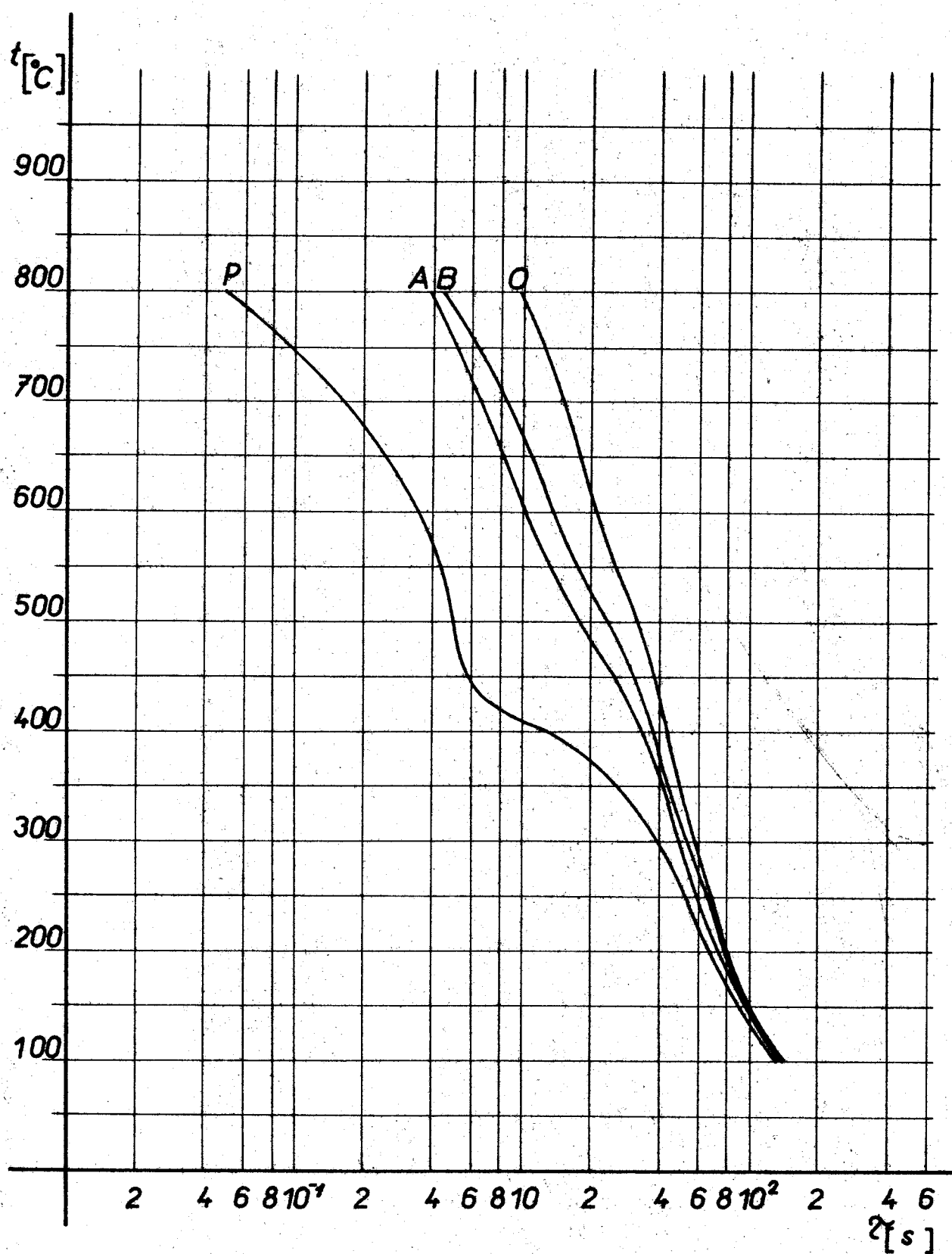
obr. 16- Průběh teploty v zvislosti na čase pro vzorek D<sub>4</sub>

$$t_1 = 60^\circ\text{C}; w_1 = 0,44 \text{ na } 0,1 \text{ m/s}; \zeta'_x = 20\text{s}$$

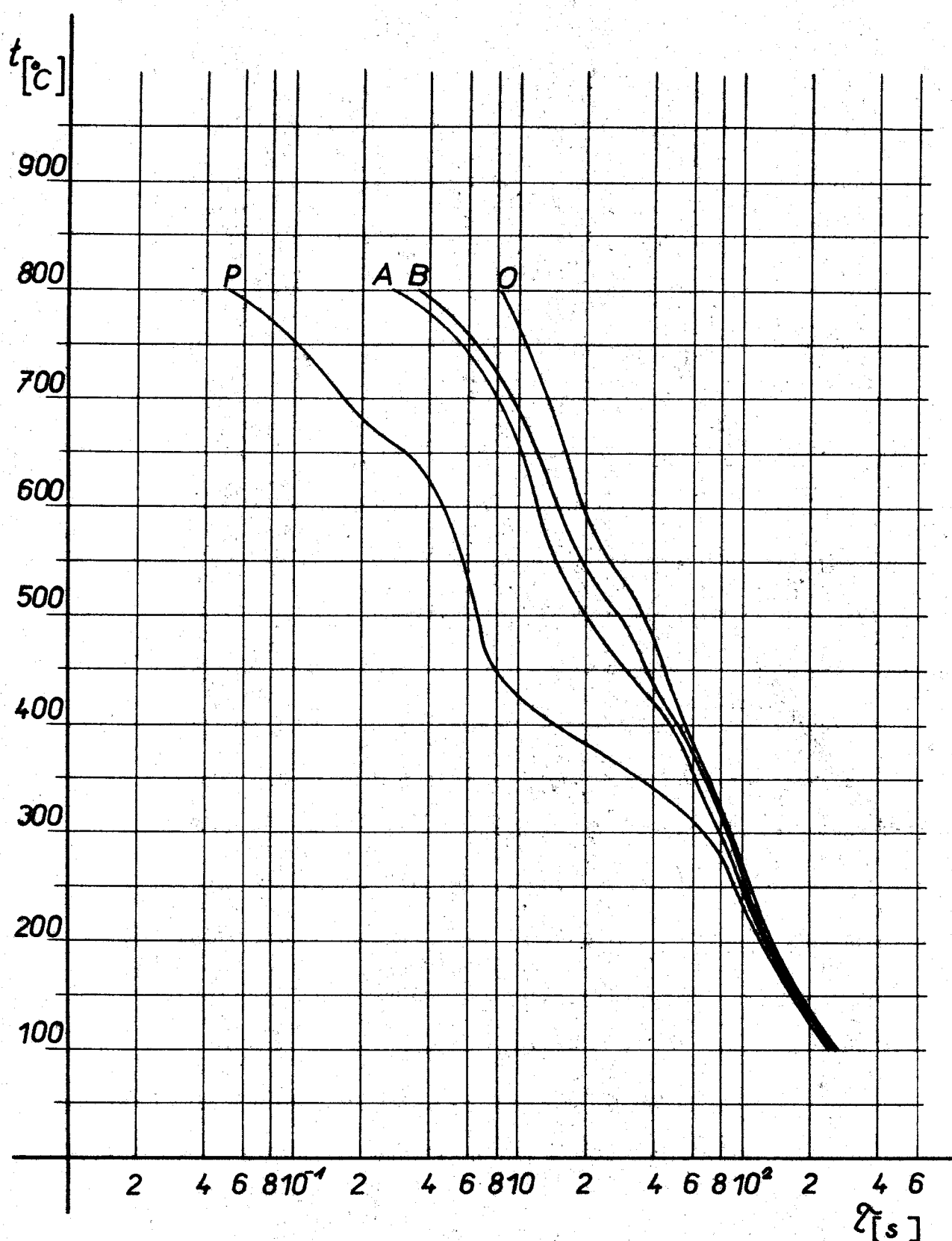


obr.17 - Průběh teploty v závislosti na čase pro vzorek D<sub>5</sub>

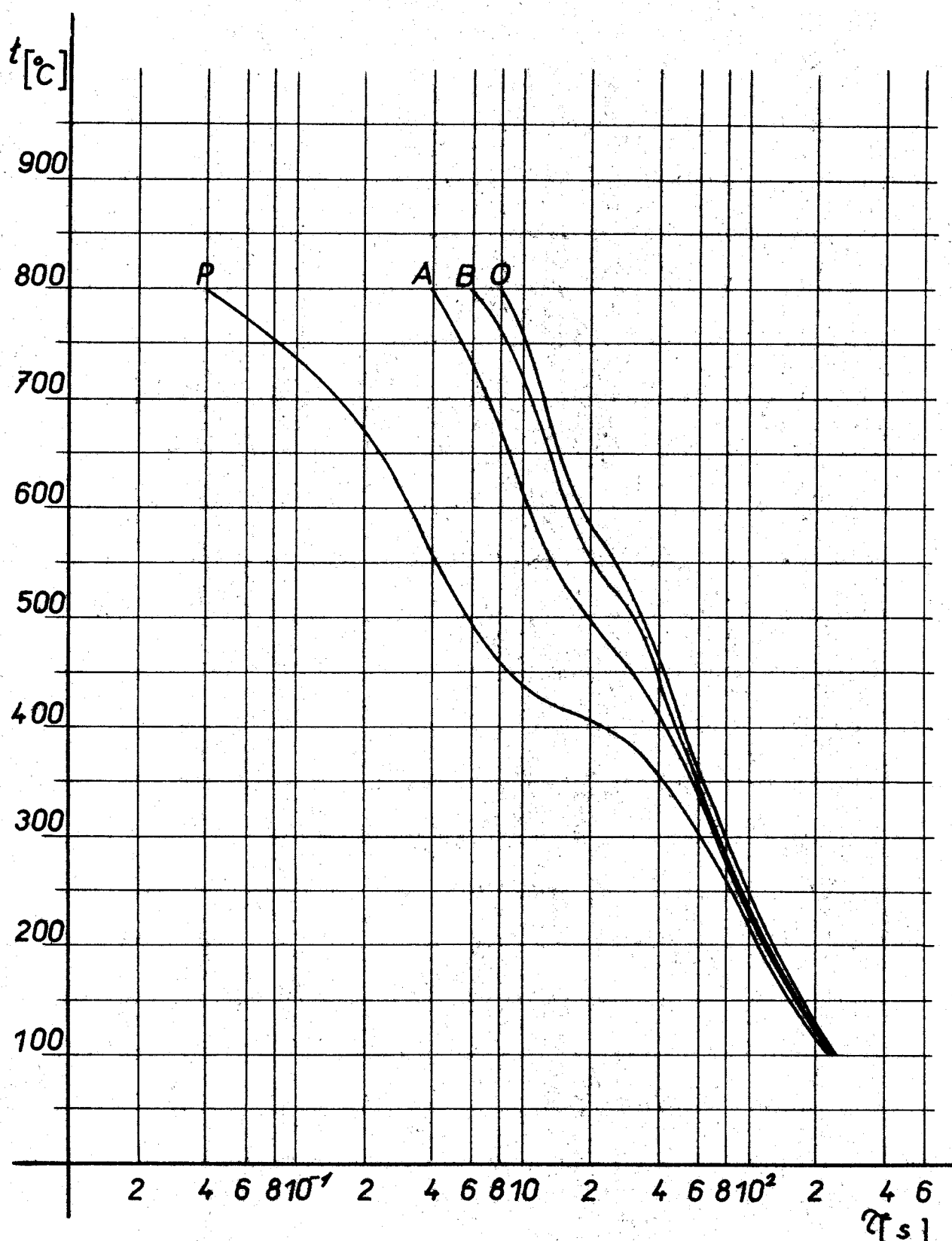
$$t_1 = 125^\circ\text{C} ; w_1 = 0,44 \text{ na } 0,1 \text{ m/s} ; \tilde{\tau}_x = 10\text{s}$$

Obr. 18 - Průběh teploty v závislosti na čase pro vzorek E<sub>1</sub>

$$t_1 = 60^\circ\text{C}; w_1 = 0,46 \text{ m/s}$$

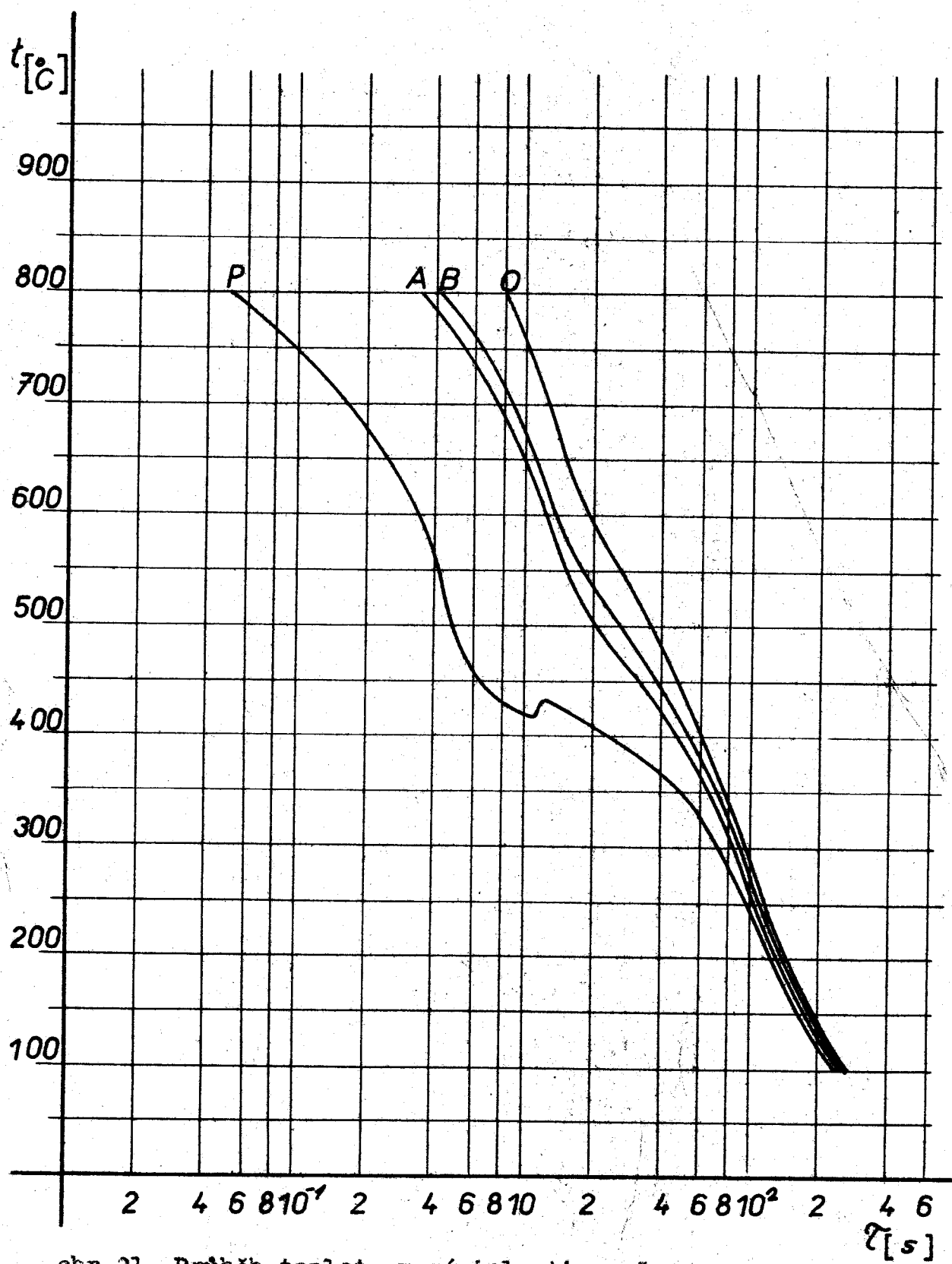


obr. 19 - Průběh teploty v závislosti na čase pro vzorek E<sub>2</sub>  
 $t_1 = 60^\circ\text{C}$ ;  $w_1 = 0,46$  na  $0,1 \text{ m/s}$ ;  $\bar{T}_x = 3\text{s}$



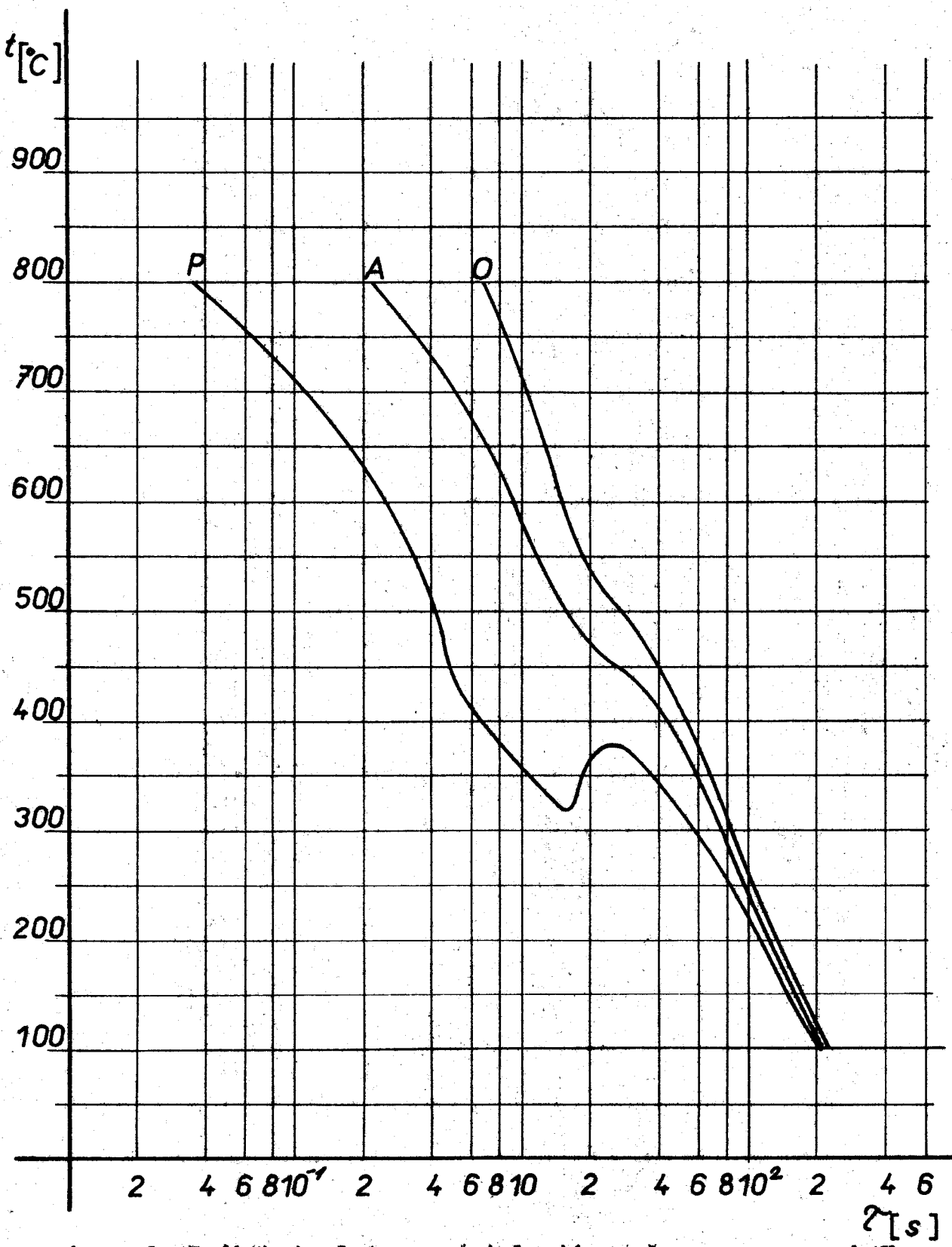
obr. 20- Průběh teploty v závislosti na čase pro vzorek E<sub>3</sub>

$$t_1 = 60^\circ\text{C} ; w_1 = 0,46 \text{ na } 0,1 \text{ m/s} ; T_x = 68$$



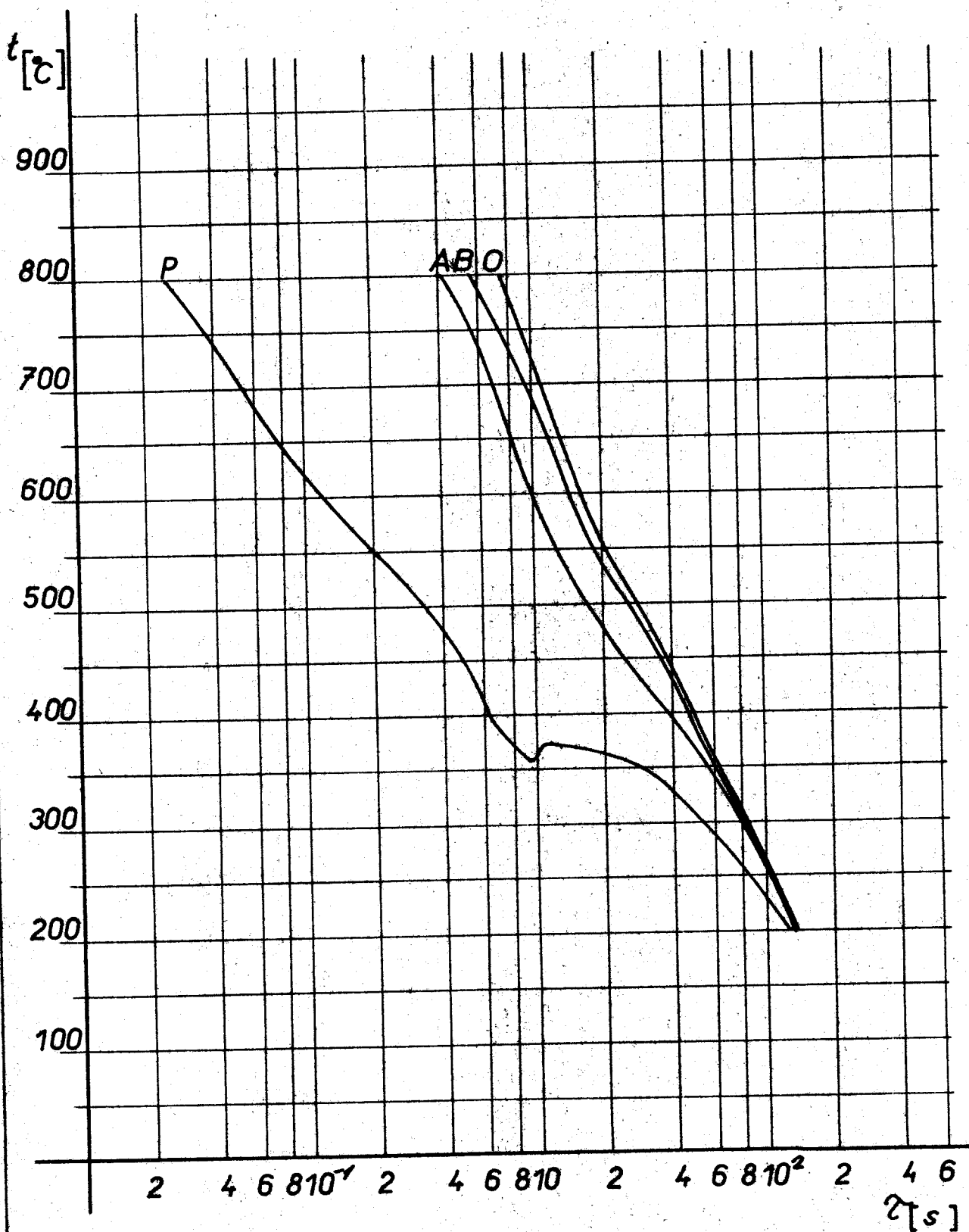
obr. 21- Průběh teploty v závislosti na čase pro vzorek E<sub>4</sub>

$$t_1 = 60^{\circ}\text{C} ; w_1 = 0,46 \text{ na } 0,1 \text{ m/s; } \zeta'_x = 10\text{s}$$



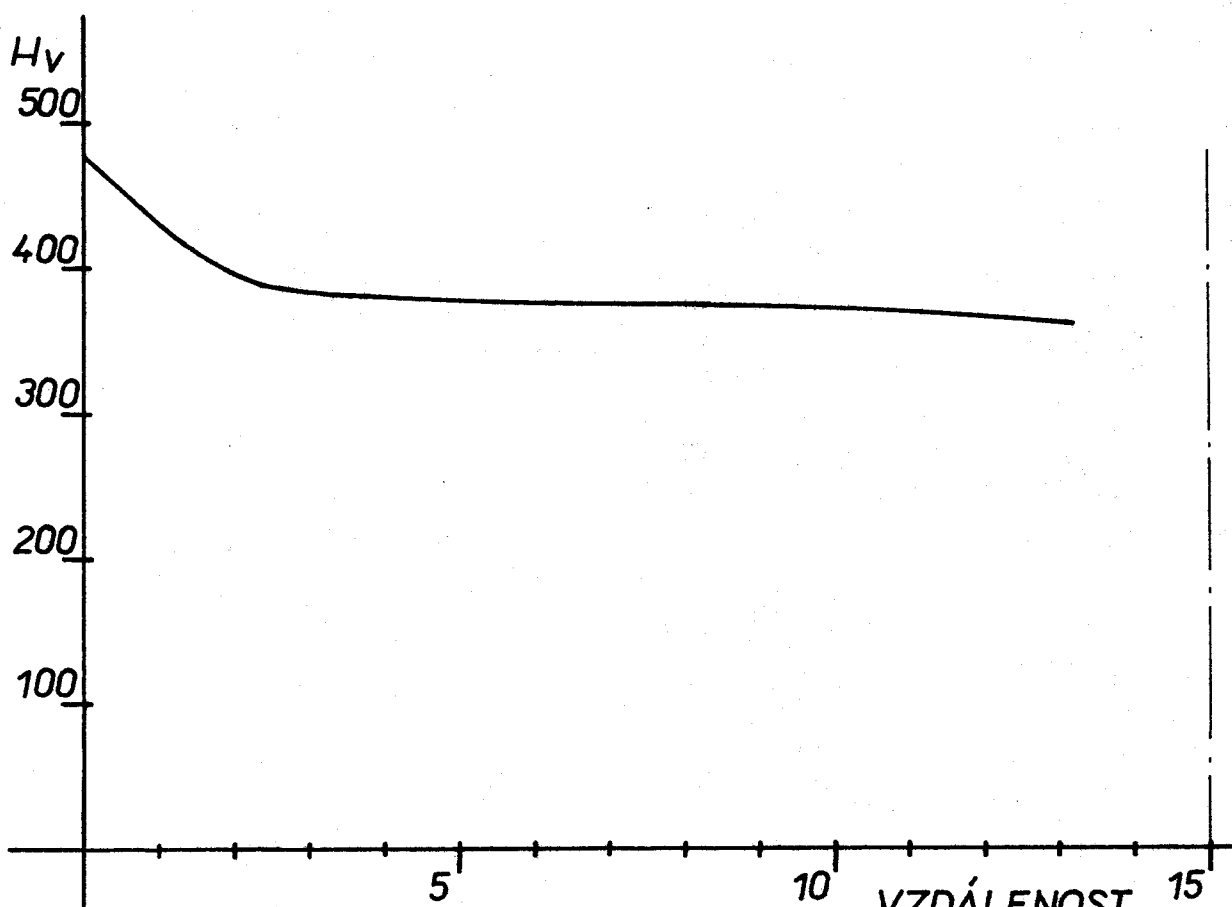
obr. 22- Průběh teploty v závislosti na čase pro vzorek E<sub>5</sub>

$$t_1 = 60^\circ\text{C} ; w_1 = 0,46 \text{ na } 0,1 \text{ m/s} ; T_x = 15\text{s}$$

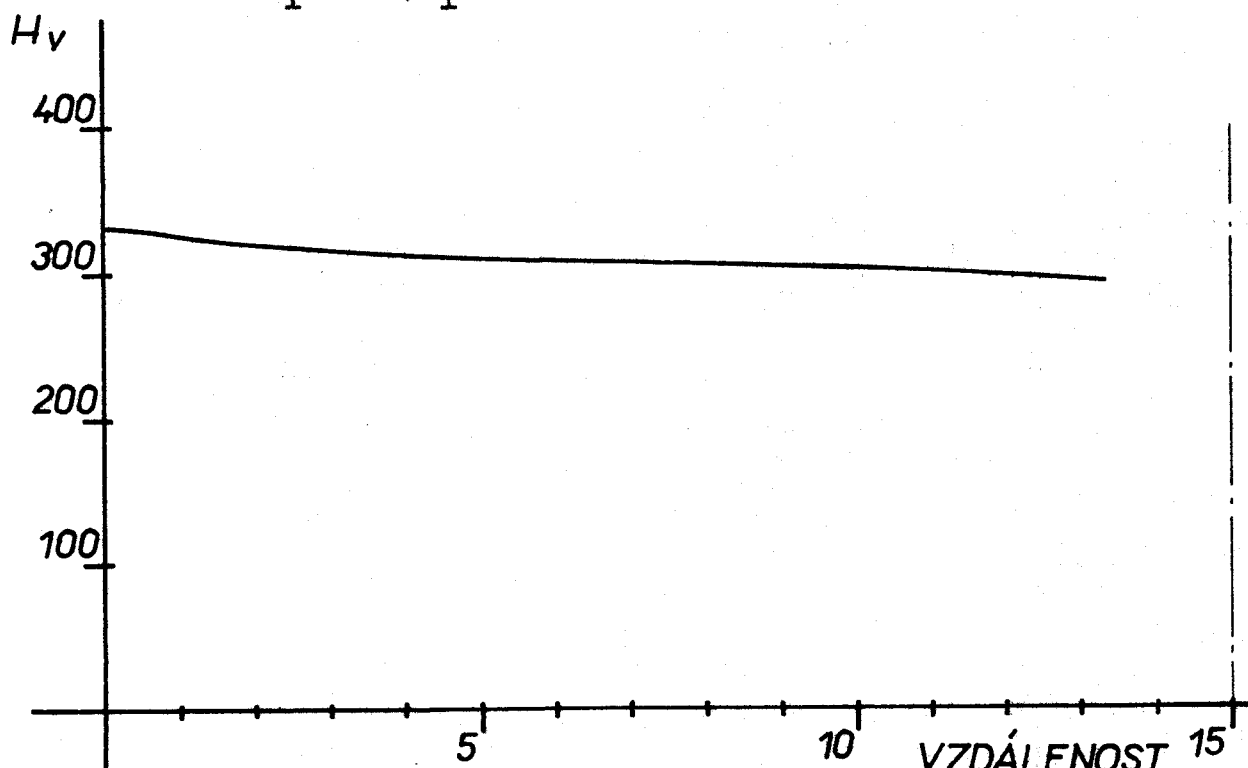


obr. 23 - Průběh teploty v závislosti na čase pro vzorek E<sub>6</sub>

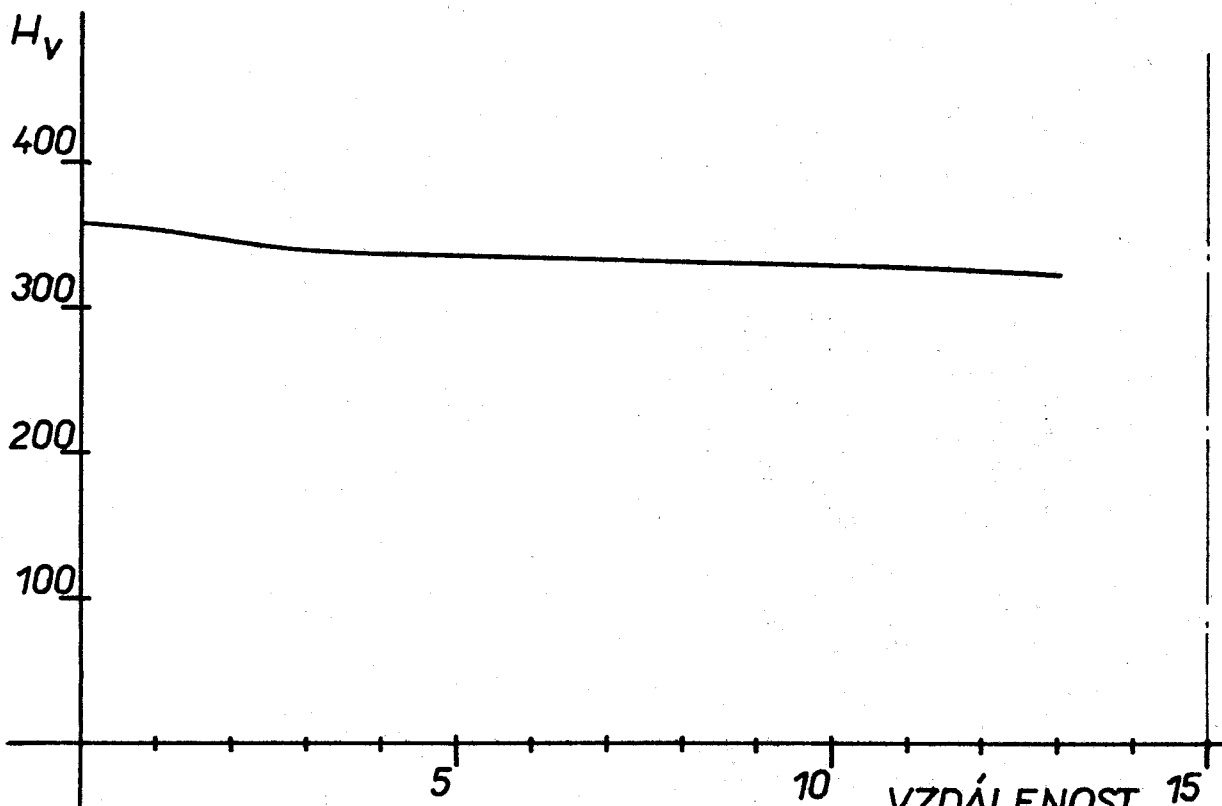
$$t_1 = 125^\circ\text{C} ; w_1 = 0,46 \text{ na } 0,1 \text{ m/s} ; \tau_x' = 10\text{s}$$



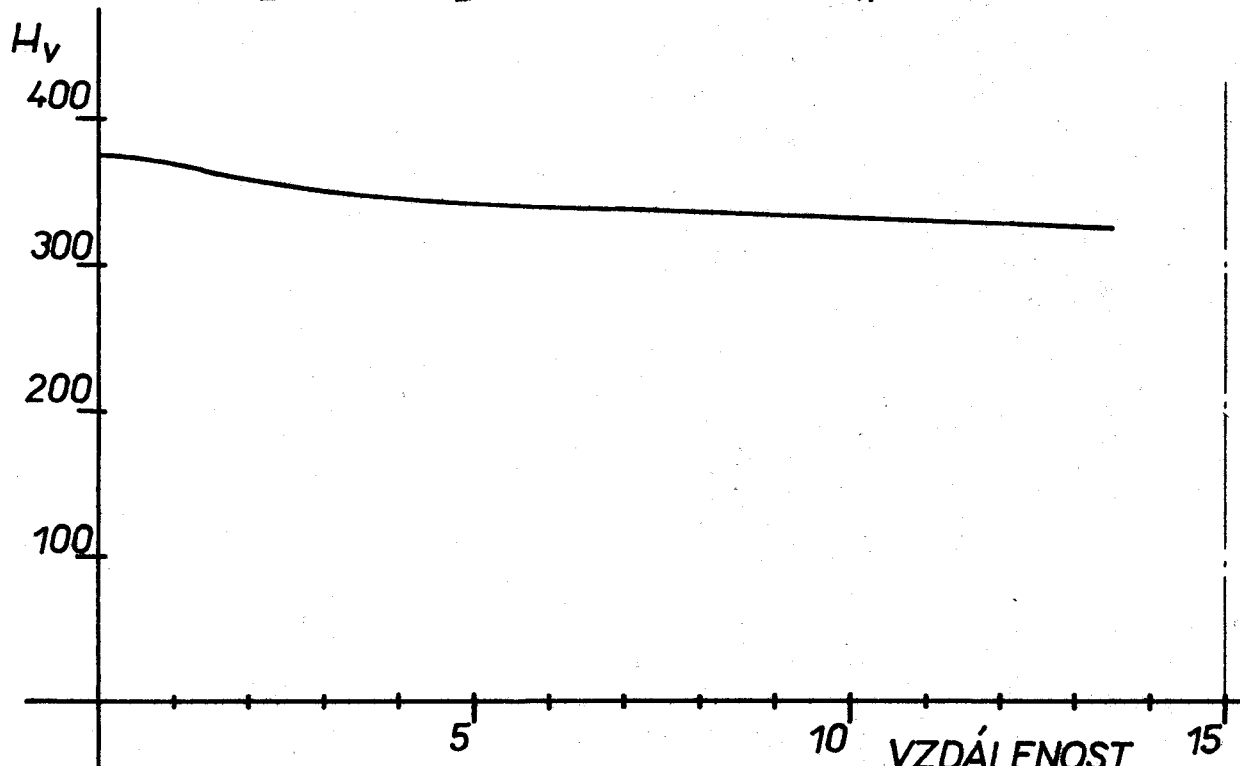
obr. 24 - Průběh tvrdosti pro vzorek B<sub>1</sub> OD POVRCHU [mm]  
 $t_1=60^\circ\text{C}$ ;  $w_1=0,46 \text{ m/s}$



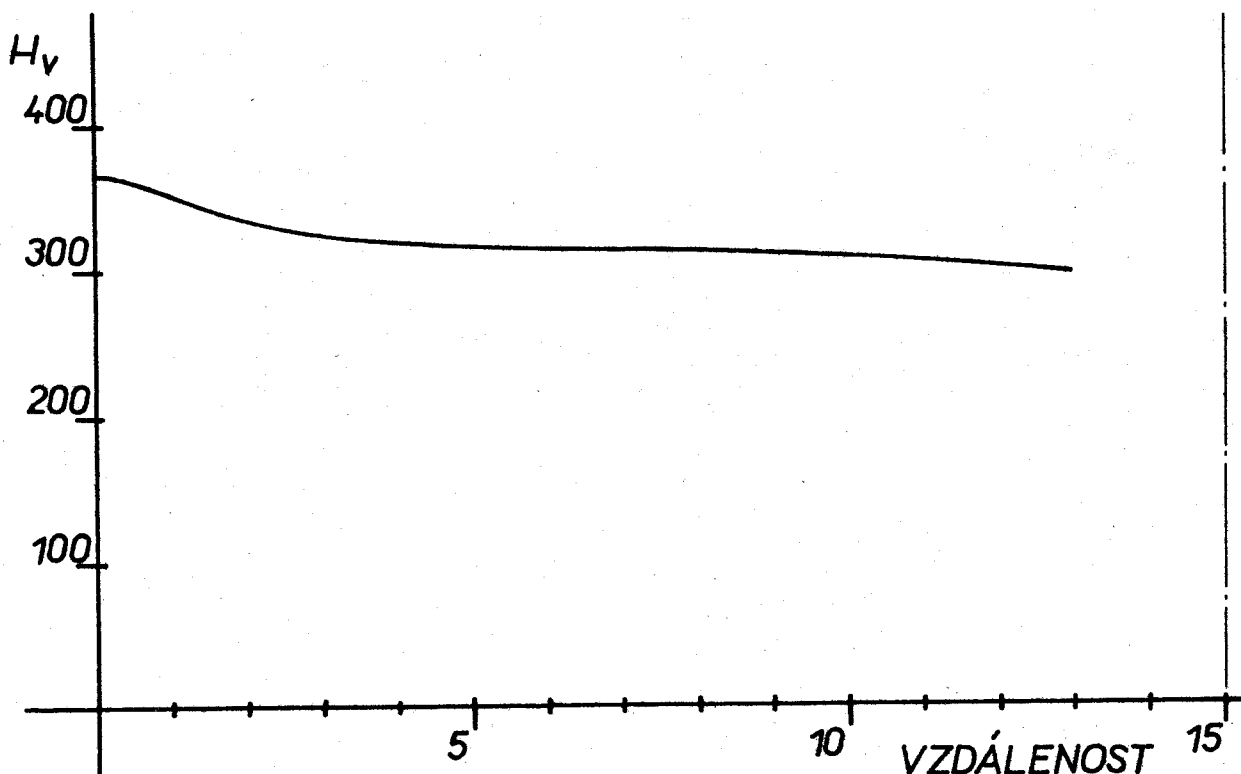
obr. 25 - Průběh tvrdosti pro vzorek B<sub>2</sub> OD POVRCHU [mm]  
 $t_1=60^\circ\text{C}$ ;  $w_1=0,46 \text{ na } 0,1 \text{ m/s}$ ;  $T_x' = 6 \text{ s}$



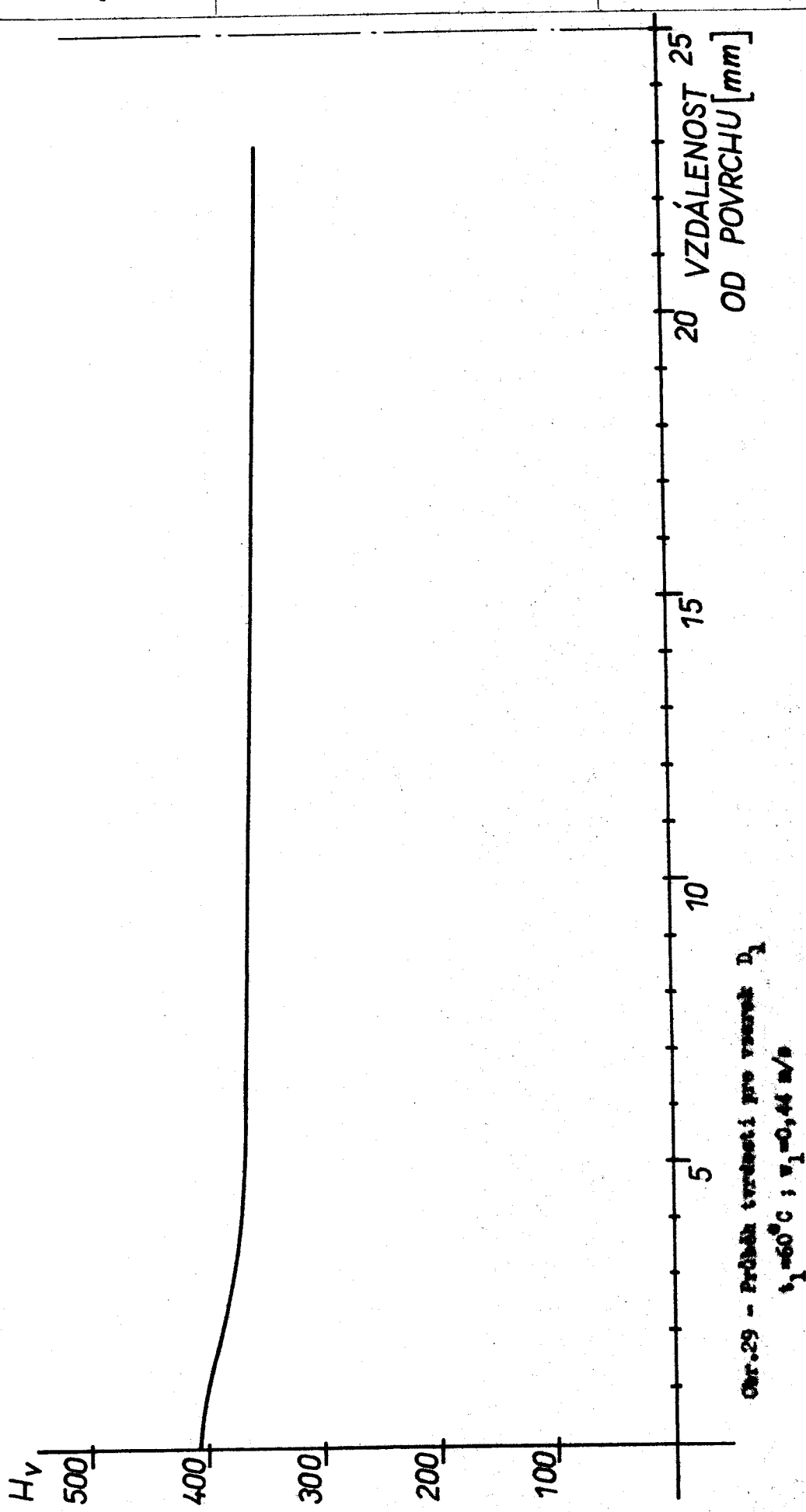
obr.26- Průběh tvrdosti pro vzorek B,  $t_1 = 60^\circ\text{C}$ ;  $w_1 = 0,46$  na  $0,1 \text{ m/s}$ ;  $Z_X' = 10\text{s}$



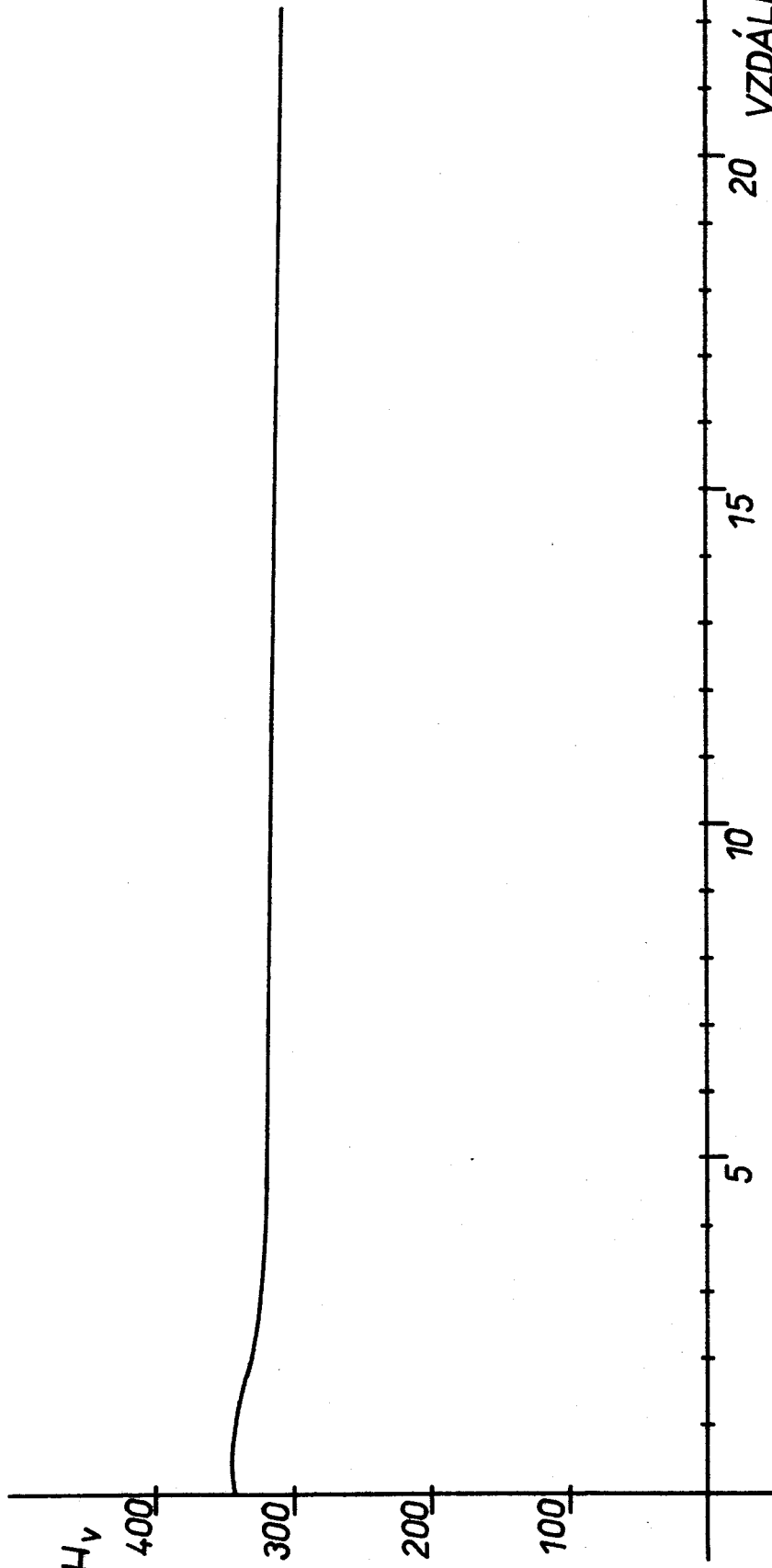
obr.27 - Průběh tvrdosti pro vzorek B,  $t_1 = 60^\circ\text{C}$ ;  $w_1 = 0,46$  na  $0,1 \text{ m/s}$ ;  $Z_X' = 15\text{s}$



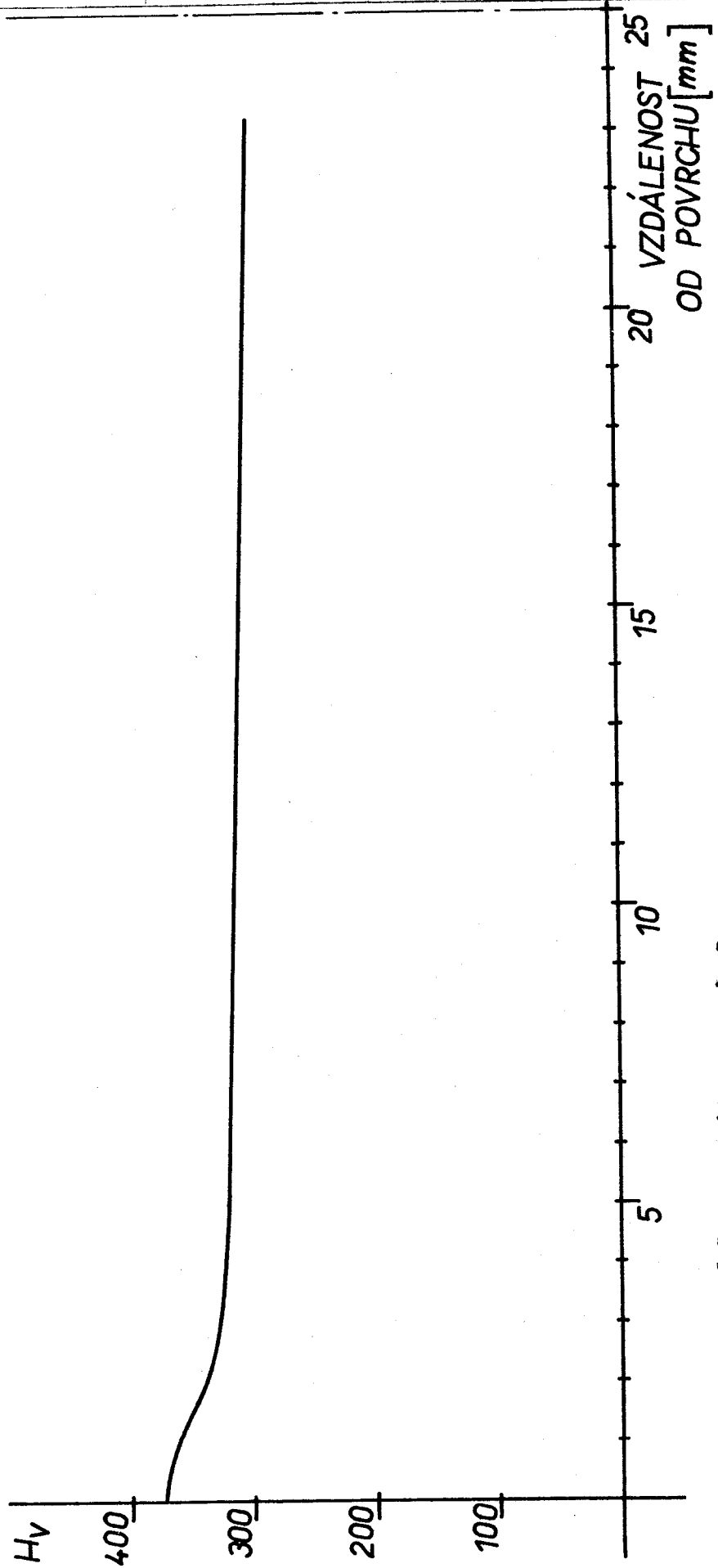
obr.28 - Průběh tvrdosti pro vzorek B<sub>5</sub>  $t_1 = 125^\circ\text{C}$ ;  $w_1 = 0,46$  na  $0,1 \text{ m/s}$   $\tau_x' = 10\text{s}$

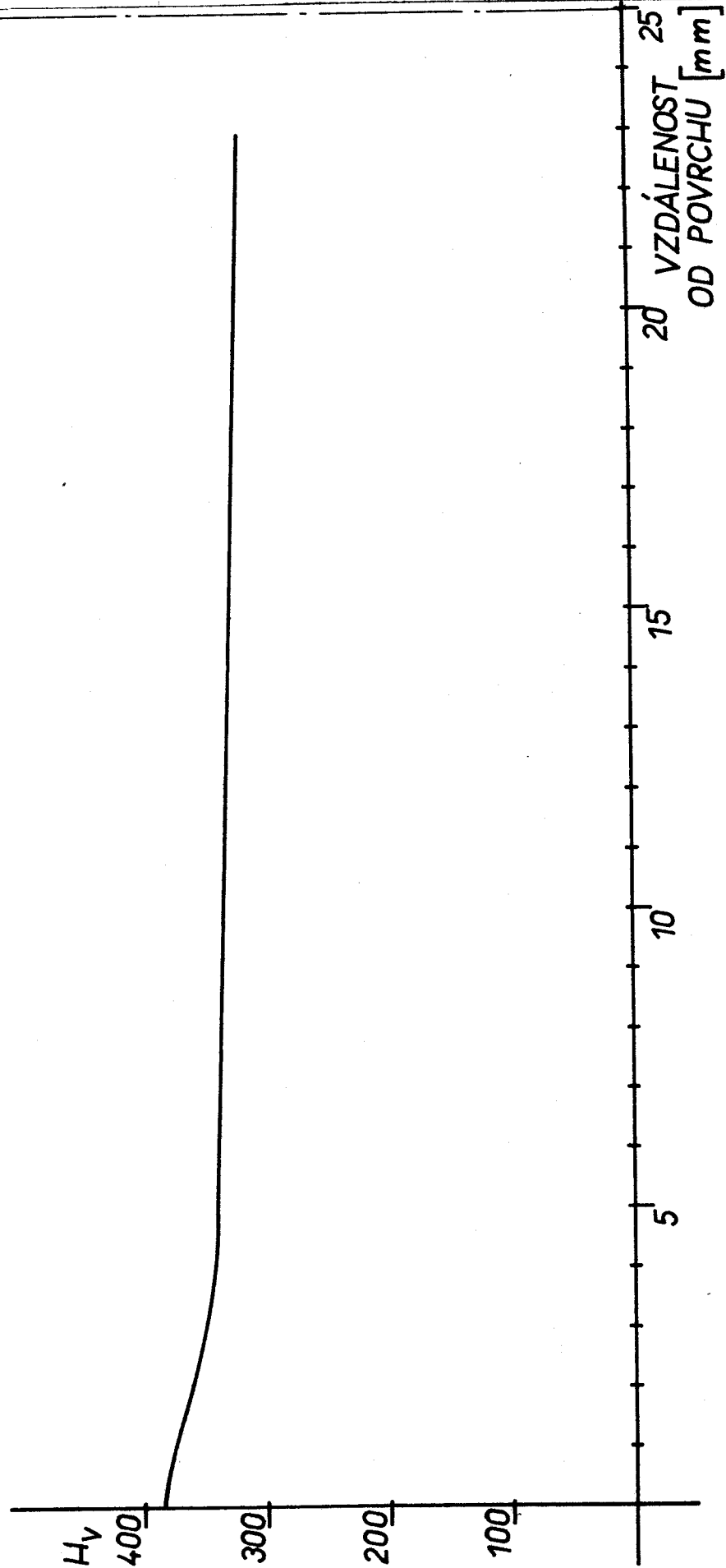


25  
20  
15  
10  
5  
VZDÁLENOST  
OD POVRCHU [mm]

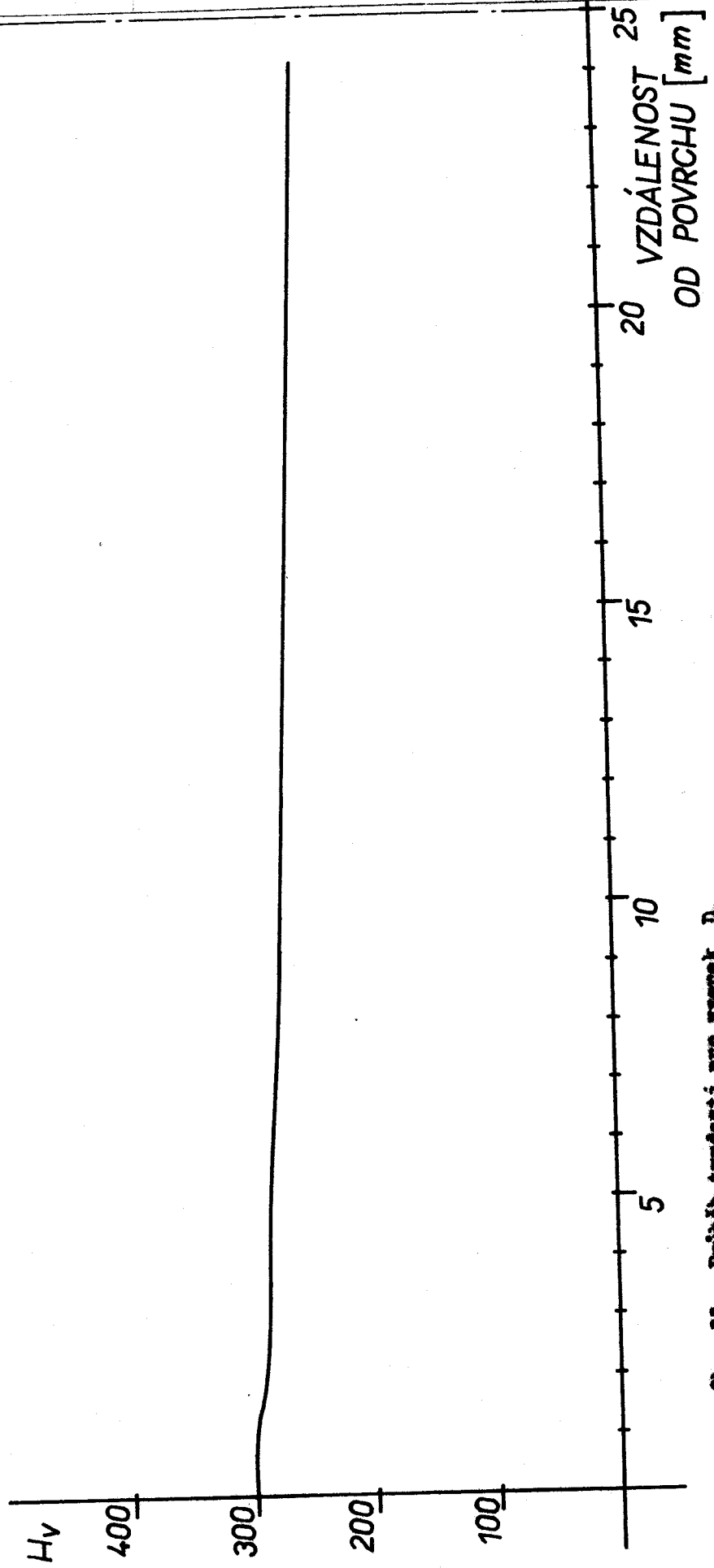


Obr. 30 - Průřez tvrdosti pro výměnu  $D_2$   
 $t_1 = 60^\circ\text{C}$ ;  $n_1 = 0,44$  m;  $0,1 \text{ m/s}$ ;  $T_x = 6$

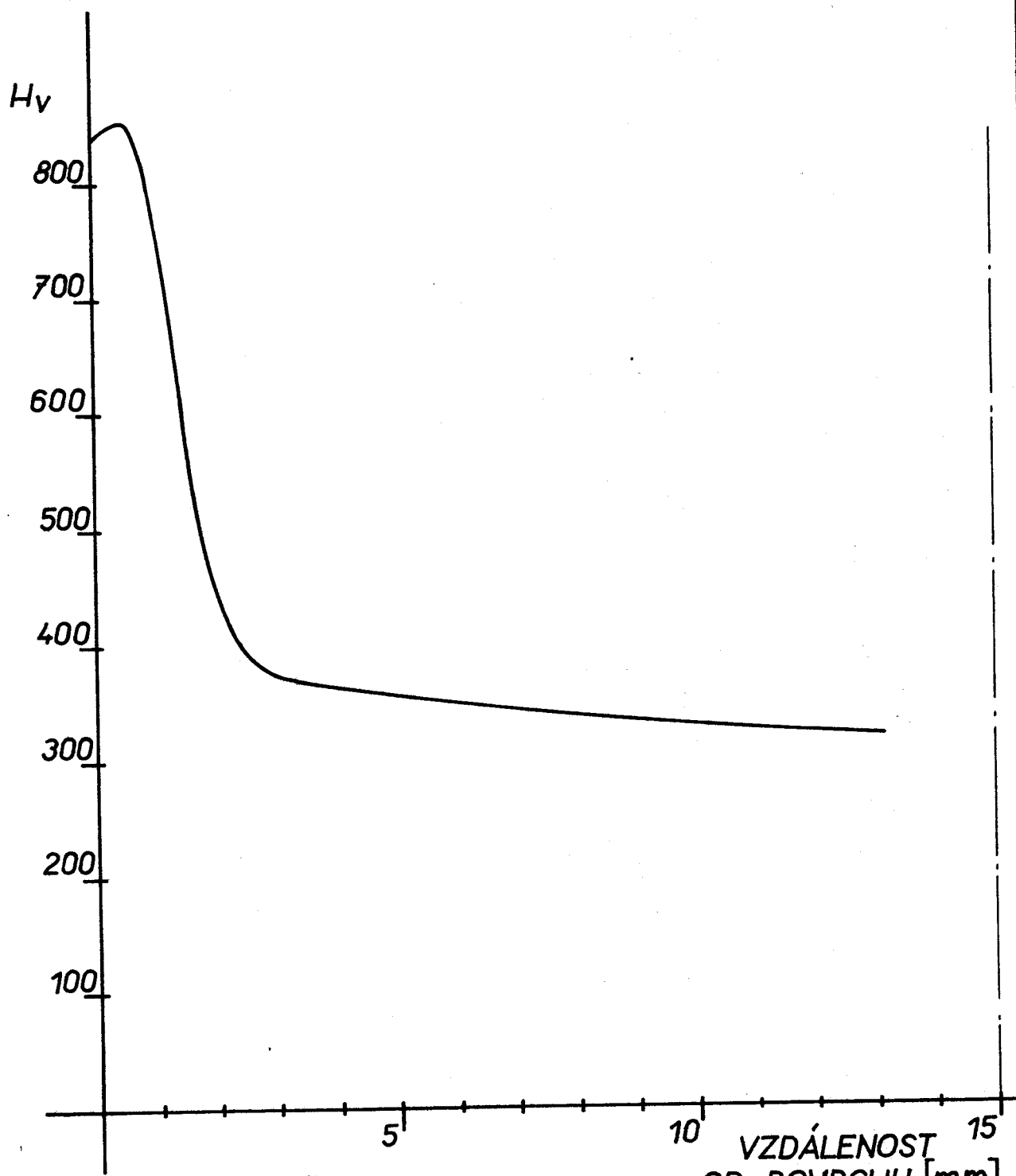




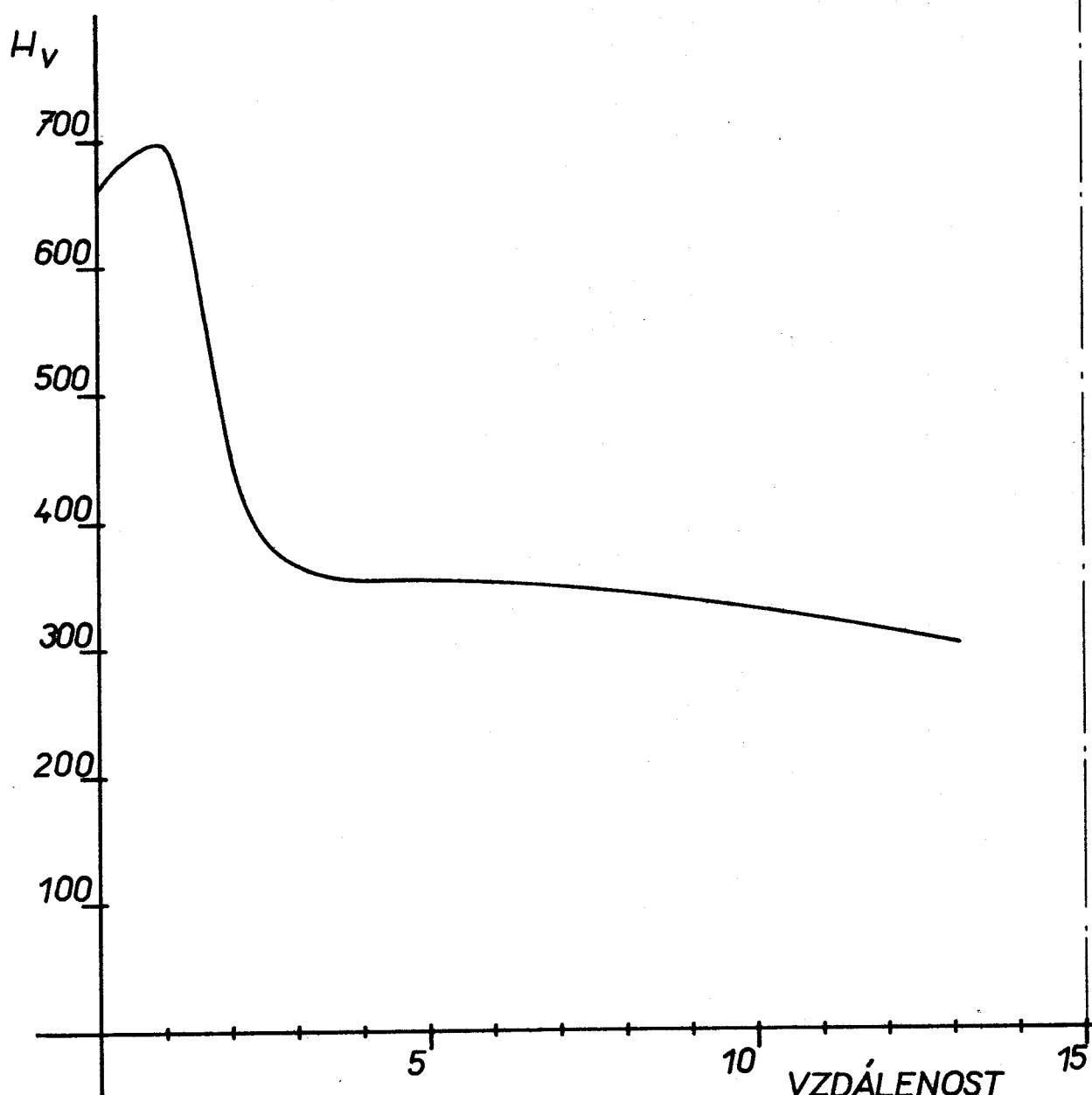
čís. 32 - průklik tvrdosti pro výšku  $D_4$   
 $t_1 = 60^\circ\text{C}$ ;  $v_1 = 0,44$  m/s;  $T_x = 20^\circ\text{C}$



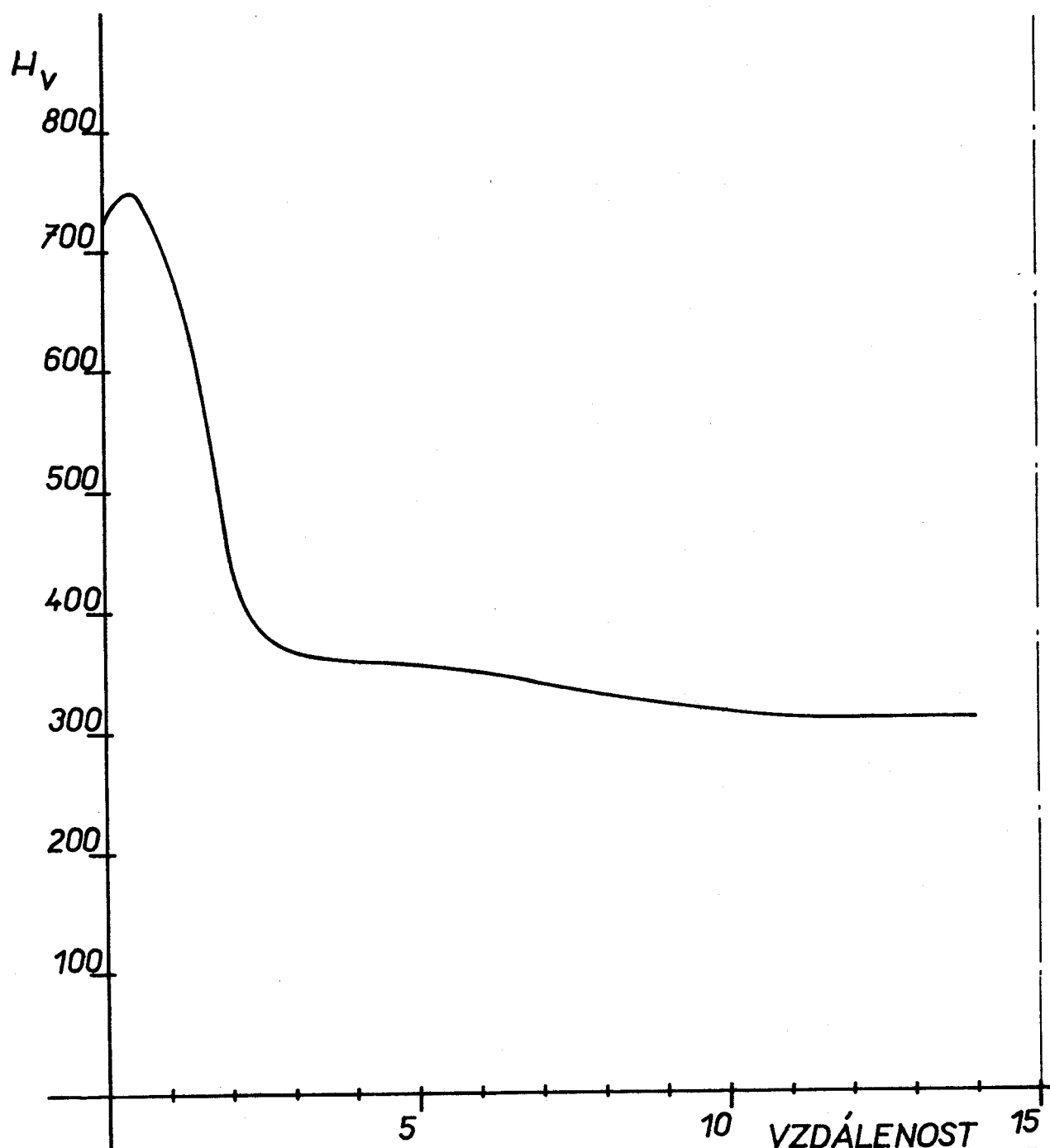
obr. 33 - Průřez turbostí pro vrerek  $\eta_3$   
 $t_1 = 125^\circ\text{C}$  ;  $\eta_1 = 0,44 \text{ m}^2/\text{Ns}$  ;  $\bar{\tau}_x = 10\text{s}$



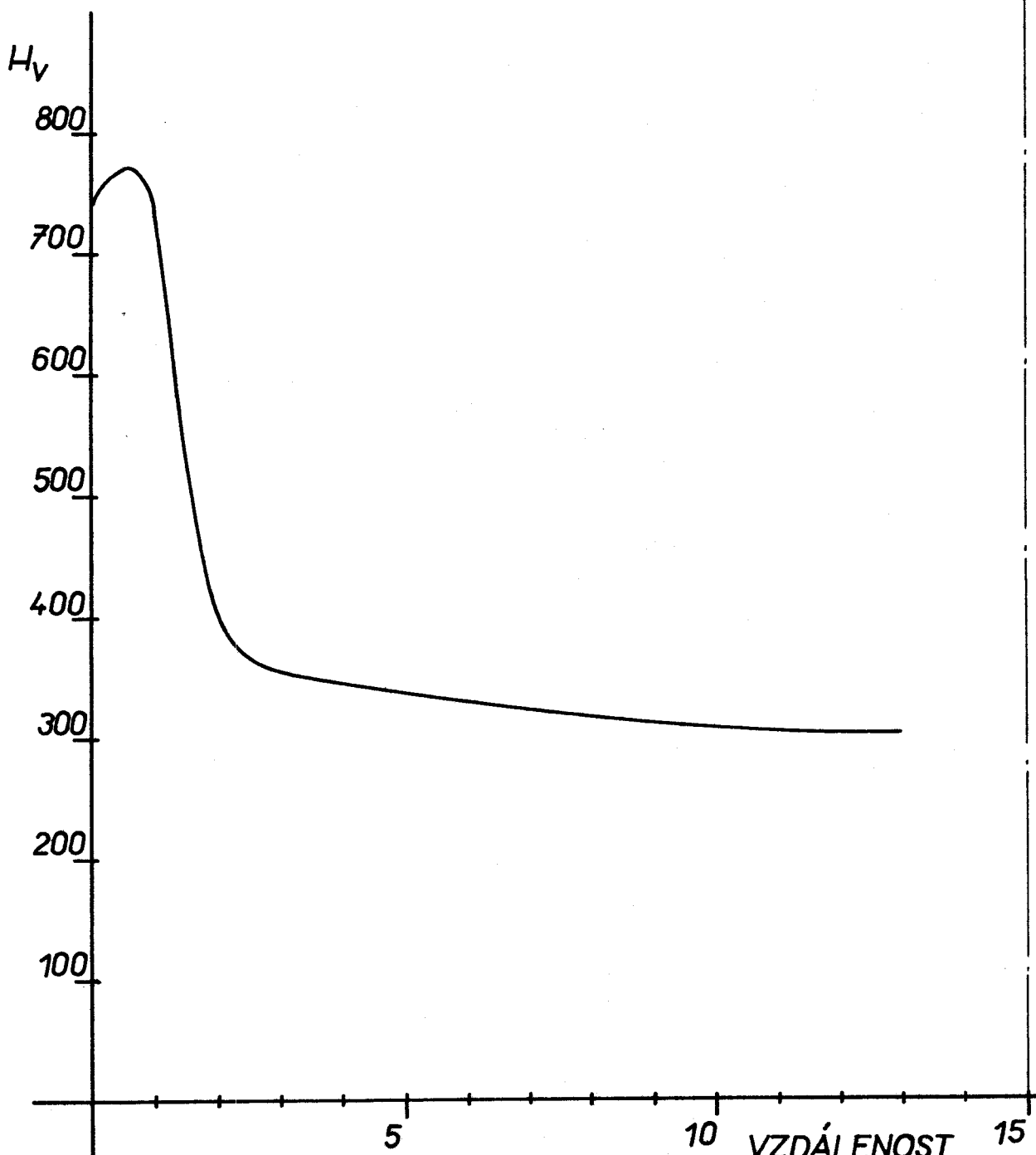
obr. 34- Průběh tvrdosti pro vzorek  $E_1$  OD POVRCHU [mm]  
 $t_1 = 60^{\circ}\text{C}$  ;  $w_1 = 0,46 \text{ m/s}$ .



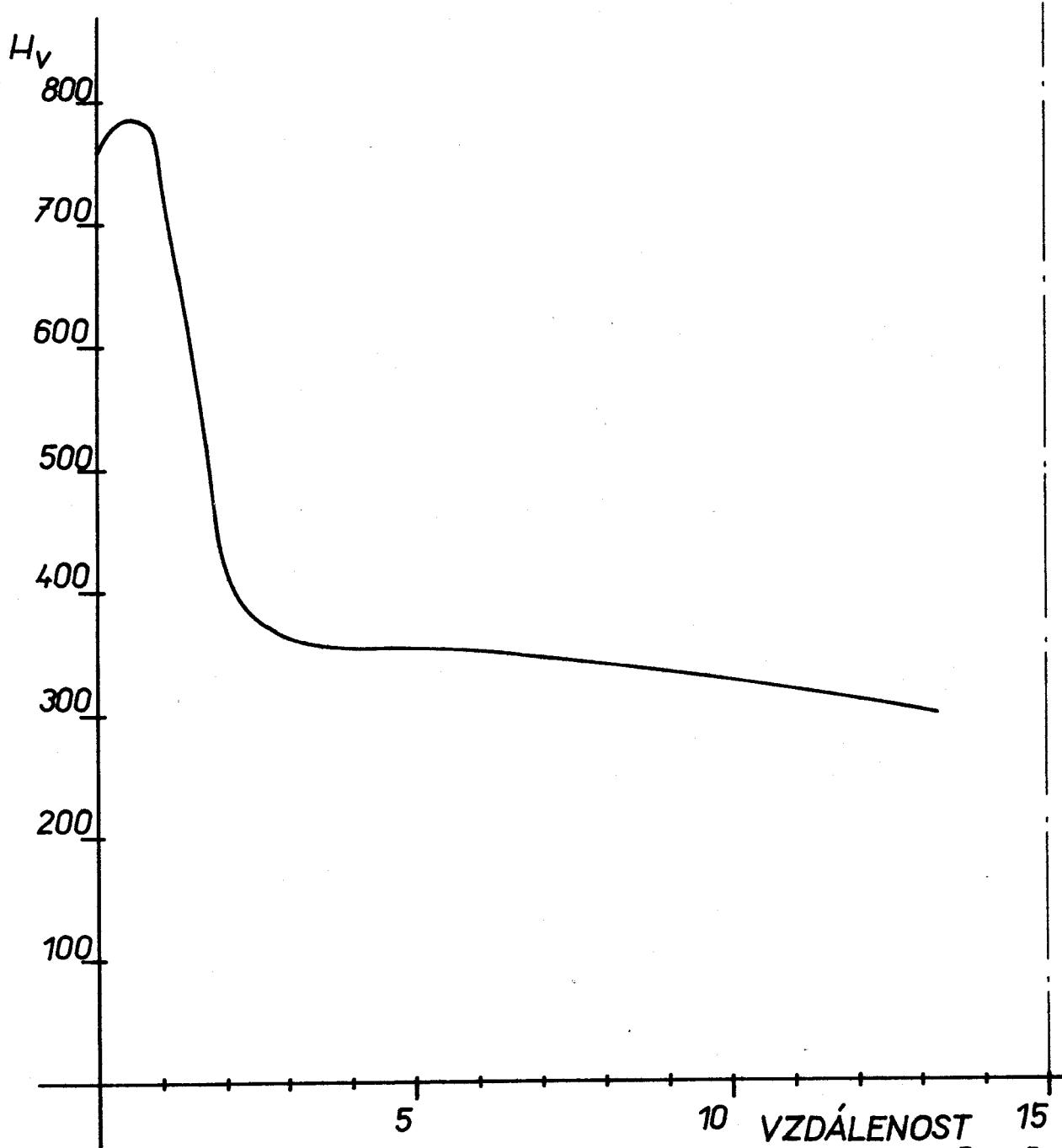
obr. 35- Průběh tvrdosti pro vzorek E<sub>2</sub>  $Q_D$  POVrchu [mm]  
 $t_1 = 60^\circ\text{C}$ ;  $w_1 = 0,46$  na  $0,1 \text{ m/s}$ ;  $\zeta_x = 3 \text{ s}$



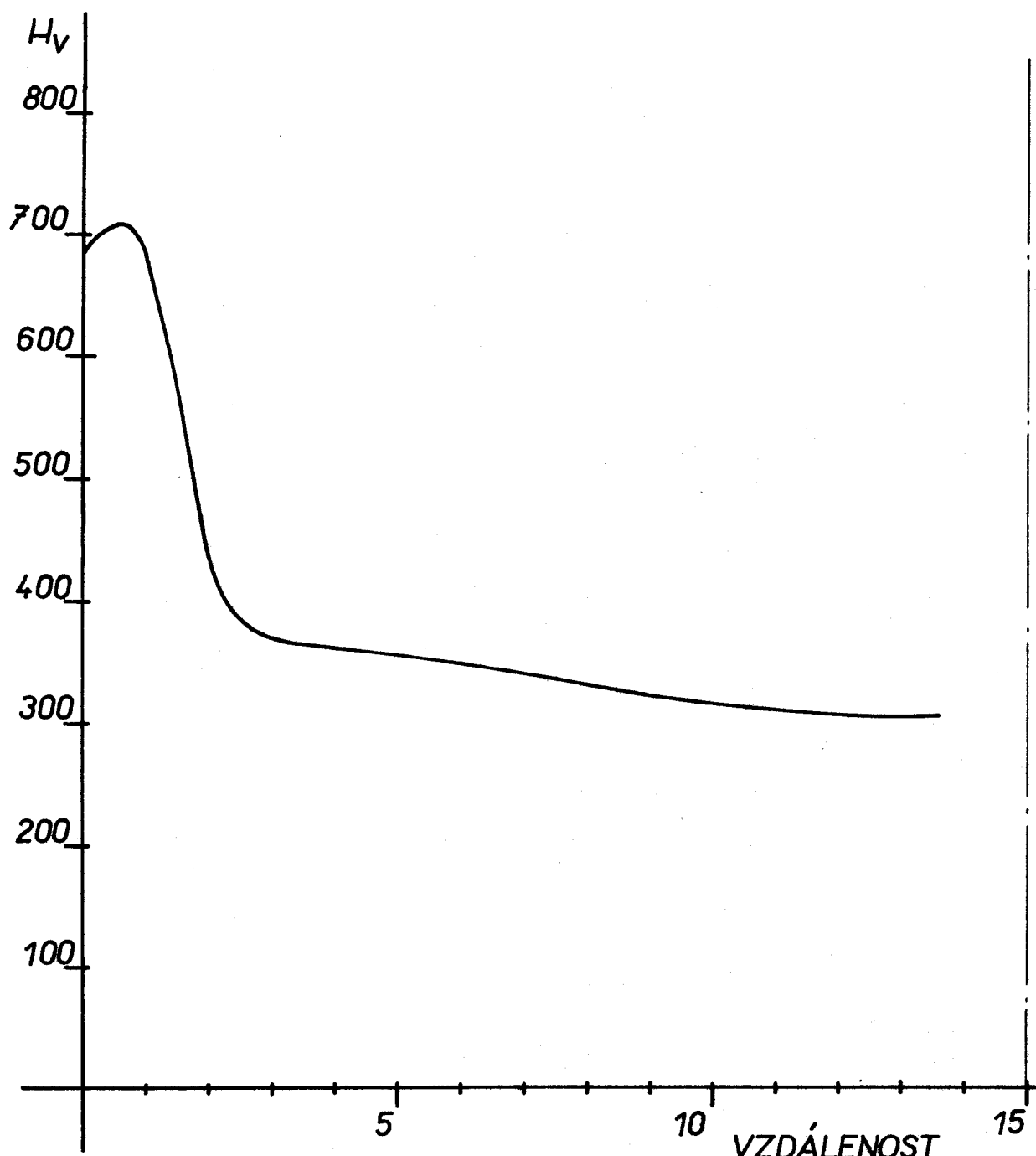
obr. 36- Průběh tvrdosti pro vzorek E<sub>3</sub>  $t_1 = 60^\circ\text{C}$ ;  $w_1 = 0,46$  na  $0,1 \text{ m/s}$ ;  $Z_x = 6 \text{s}$



obr.37- Průběh tvrdosti rpo vzorek E<sub>4</sub>  $t_1 = 60^\circ C; w_1 = 0,46$  na  $0,1 \text{ m/s}$ ;  $\tau_x = 10\text{s}$



obr. 38- Průběh tvrdosti pro vzorek E<sub>5</sub> OD POVRCHU [mm]  
 $t_1 = 60^\circ\text{C}$ ;  $w_1 = 0,46$  na  $0,1 \text{ m/s}$ ;  $\tau_x = 15\text{s}$



obr. 39 - Průběh tvrdosti pro vzorek E<sub>6</sub> OD POVRCHU [mm]  
 $t_1 = 125^\circ\text{C}$ ;  $w_1 = 0,46$  na  $0,1 \text{ m/s}$ ;  $\zeta'_x = 10\text{s}$

## 6. Vyhodnocení zkoušek.

### 6.1. Vyhodnocení tepelných pochodů.

Vyhodnocení tepelných pochodů je prováděno pro povrch a jádro vzorků, neboť toto jsou mezní případy průběhu ochlazování, t.j. s maximální a s minimální rychlosí ochlazování. Průběhy teplot v místech A a B dokreslují uvedené mezní případy.

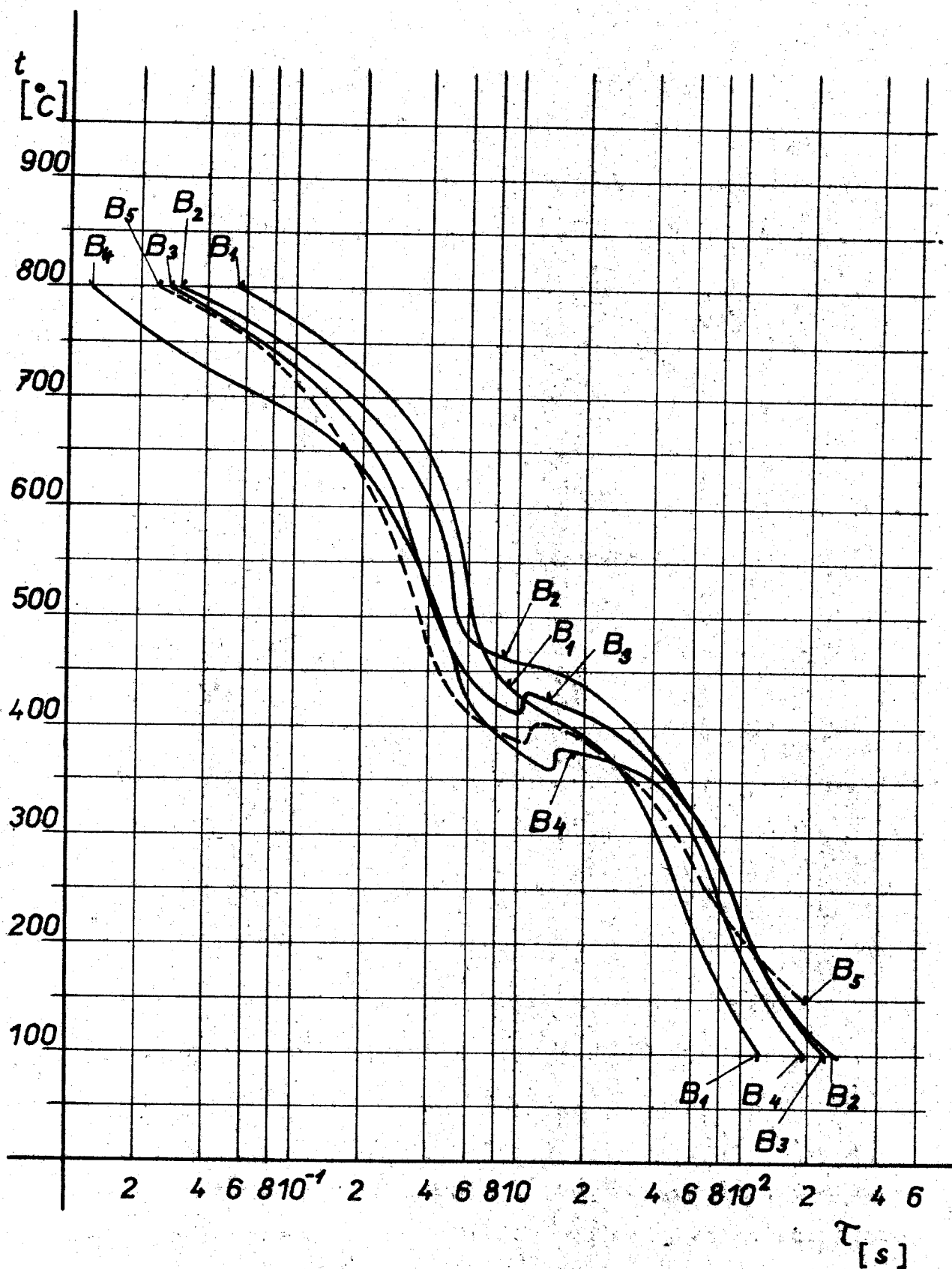
6.1.1. Porovnání průběhů povrchových teplot vzorků pro jednotlivé režimy kolení.

Průběhy povrchových teplot pro jednotlivé řady vzorků jsou uvedeny na obr. 40 (řada "B"), obr. 41 (řada "D") a obr. 42 (řada "E").

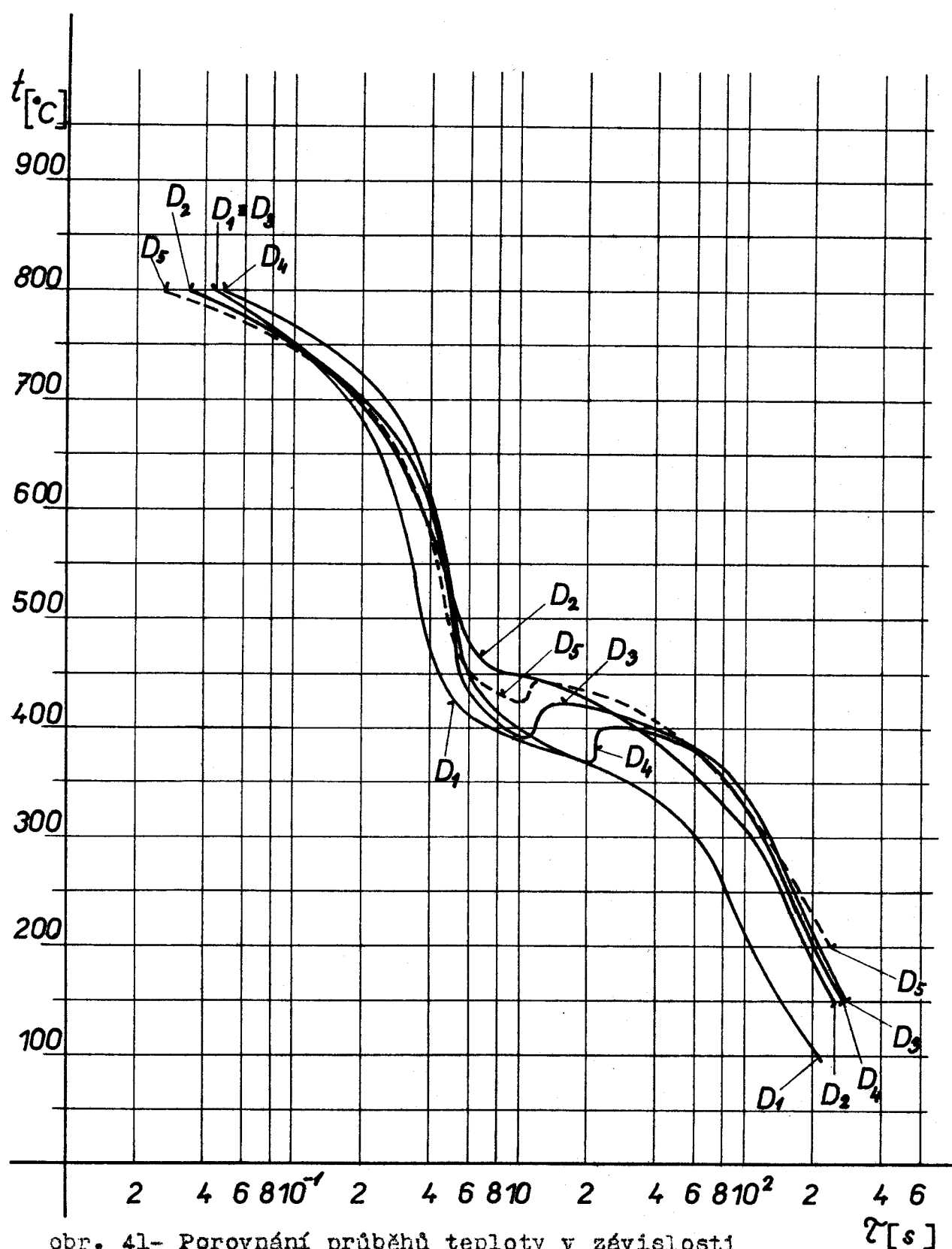
Z uvedených průběhů je možno formulovat tyto závěry :

1/V oblasti teplet >0 okamžiku změny intenzity rychlosti proudění kalici lázně (dále jen "změny rychlosí lázně"), by mely být všechny průběhy ochlazování vzorků při teplotě lázně  $60^{\circ}\text{C}$  shodné. Skutečnost je taková, že vykazují rozdíly. Je to způsobeno tím, že tato oblast teplot je oblastí nestabilního filmového varu a rozdíly průběhů teplot je možné brát jako : rozptyl měření spolu s ohledem na individuální provedení vzorků.

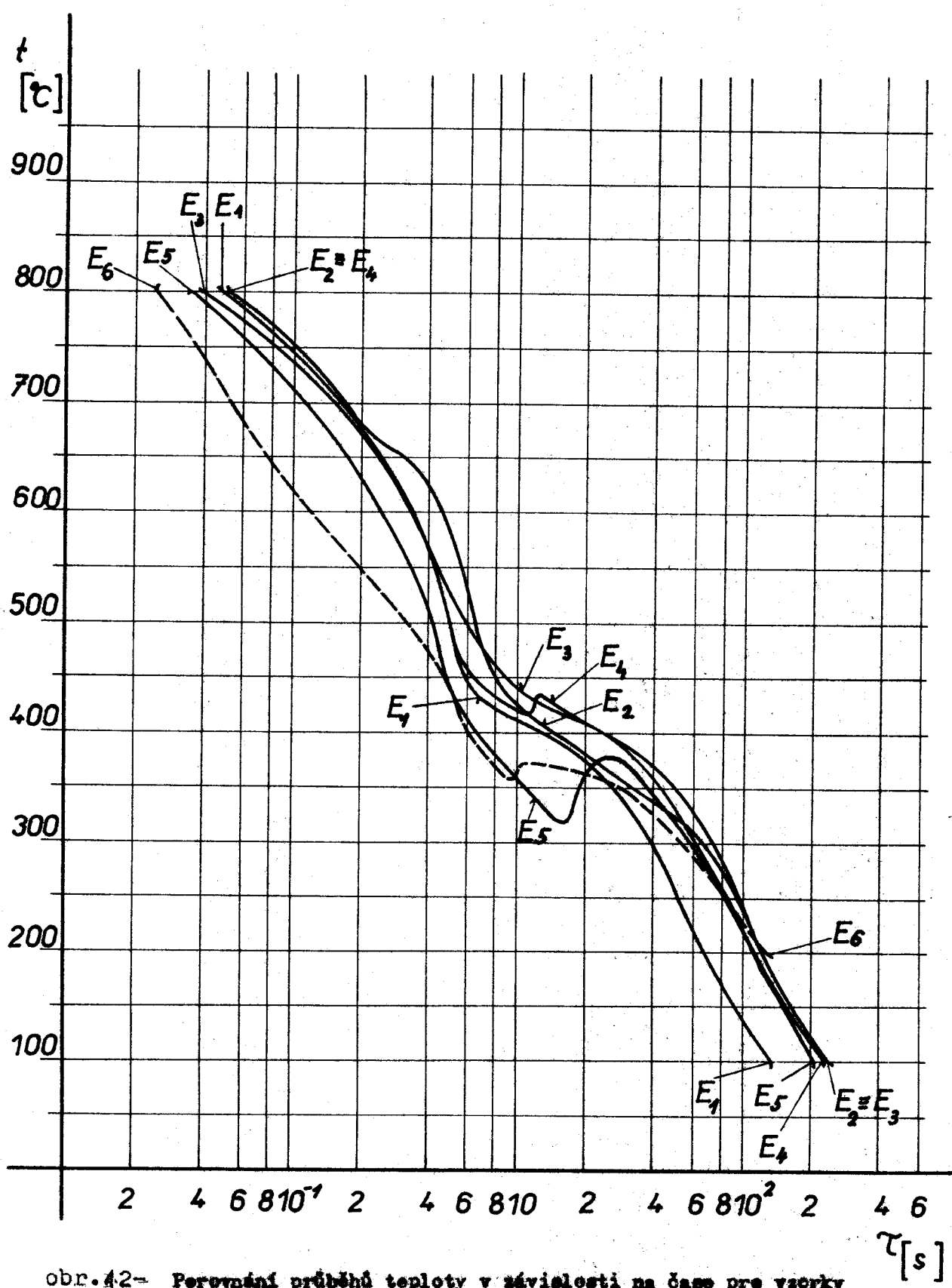
2/Po změně rychlosí lázně se projevuje růst teploty povrchu vzorků. Je to způsobeno tím, že je odvod tepla z povrchů vzorků omezen, probíhá pomaleji než rozvod tepla materiélem vzorků. To znamená, že povrch vzorků je určitou dobu vyhříván vnitřním teplem.



obr. 40 - Porovnání průběhu teploty v závislosti na čase pro vzorky řady "B" (tab. 5) pro "povrch".



obr. 41- Porovnání průběhu teploty v závislosti na čase pro vzorky řady "D" pro "povrch".



obr. 4.2 - Porovnání průběhu teploty v závislosti na čase pro vzorky řady "B" pro "pevnou".

Ukazuje se, že čím je delší doba ( $T_x'$ ; obr.1) změny rychlosti lázně, tím výraznější je růst teploty povrchu.

3/ Dále se ukazuje, že po okamžiku změny rychlosti lázně dochází k podstatnému zpomalení ochlazování povrchu vzorků. Tato skutečnost ukazuje, že i uvnitř vzorku musí dojít ke zpomalení ochlazování.

Přitom je možno říci, že čím je delší doba změny rychlosti lázně, tím se křivky více přibližují průběhům kalení beze změny rychlosti lázně, avšak rozdíly zůstávají výrazné.

4/ Průběh teploty vzorku, při kalení, ochlazovaného v lázni o teplotě  $125^{\circ}\text{C}$ , je charakterizován, v oblasti teplot pod změnou rychlosti lázně, značným zpomalením ochlazování. To znamená, že s růstem teploty kalící lázně se znásobuje účinek změny rychlosti lázně.

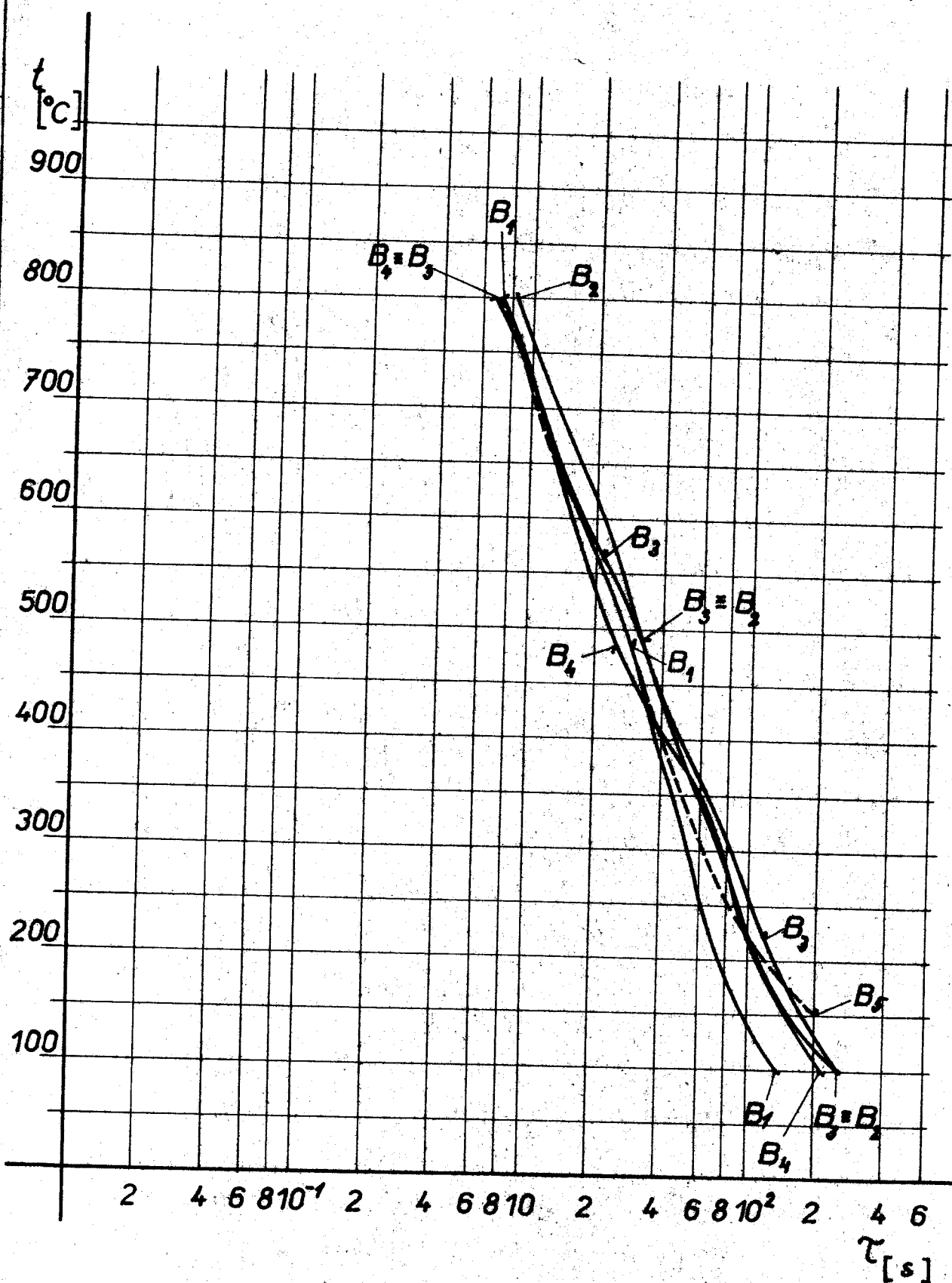
#### 6.1.2. Porovnání průběhů teplot v jádře vzorku pro jednotlivé režimy kalení.

Průběhy teplot v jádře vzorků jsou uvedeny pro jednotlivé řady vzorků na obr.43(řada "B"), obr.44(řada "D") a obr.45(řada "E").

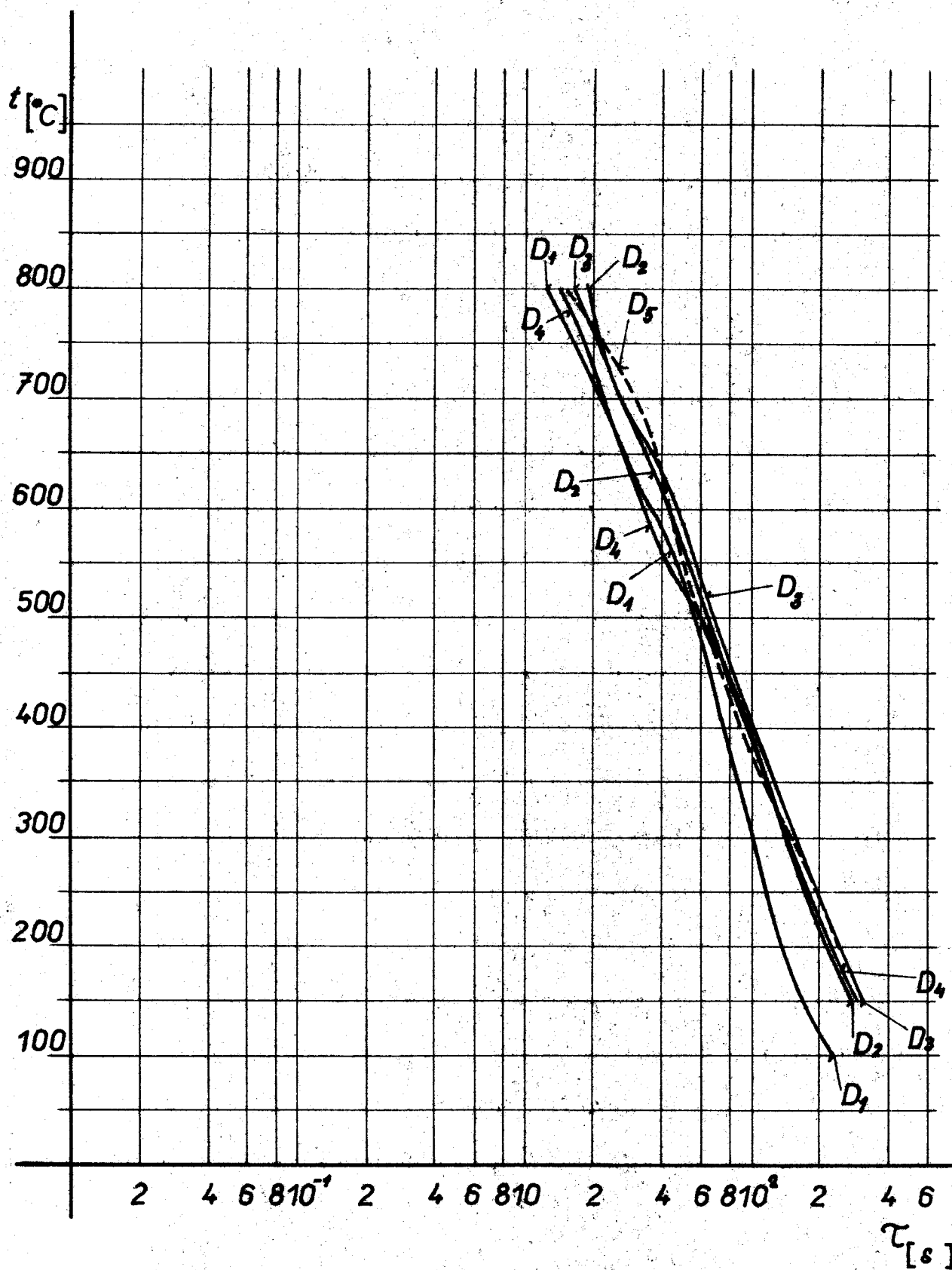
Z uvedených průběhů je možno formulovat tyto závěry:

1/V oblasti teplot nad  $450^{\circ}\text{C}$  platí uvedené v kapitole 6.1.1.- závěr 1/.

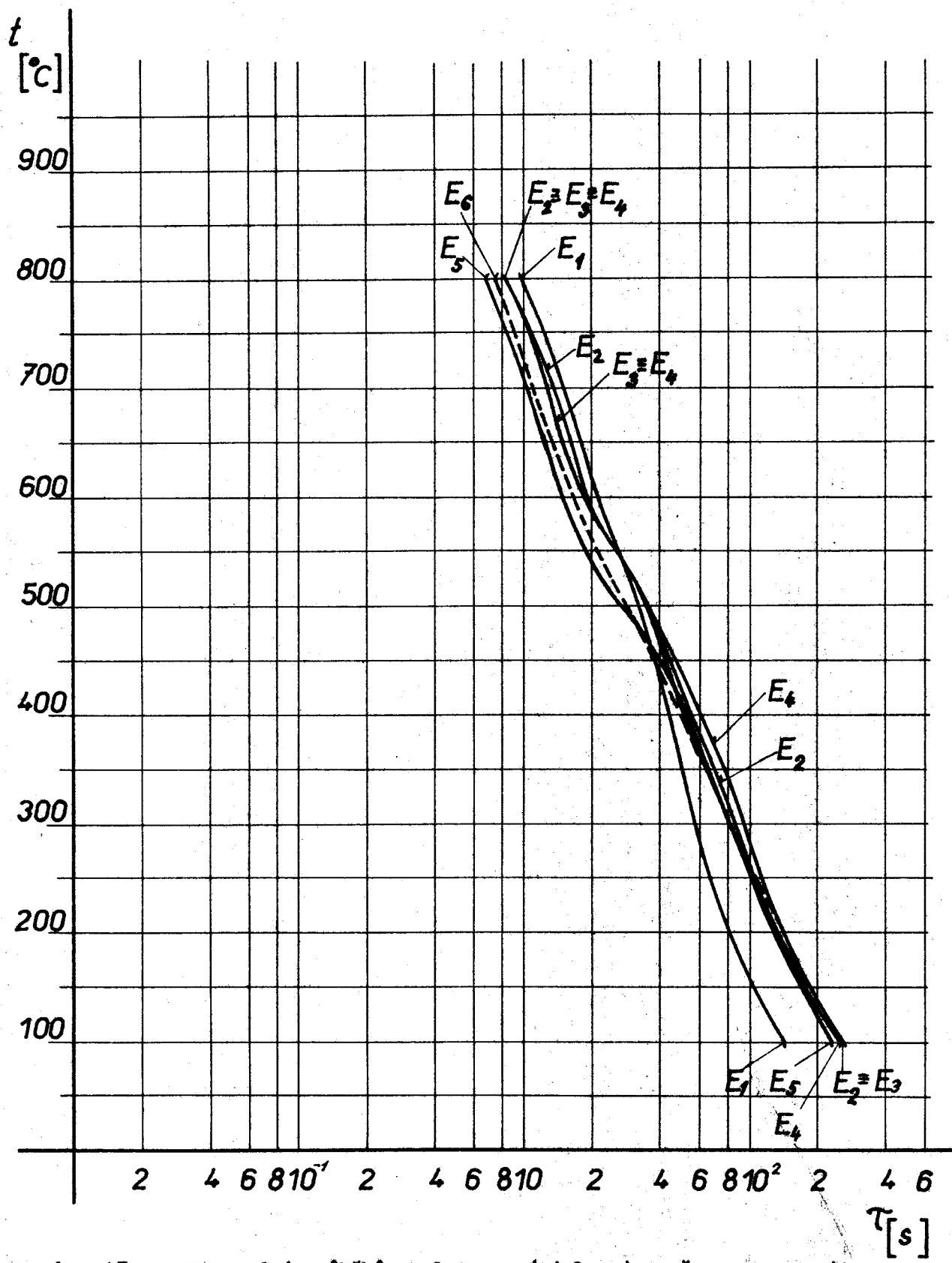
2/V oblasti teplot pod  $450^{\circ}\text{C}$  dochází u průběhů ochlazování vzorků kalených se změnou rychlosti lázně vůči průběhům ochlazování vzorků kalených beze změny rychlosti



Obr. 43. - Porovnání průběhu teploty v závislosti na čase pro vašky řady "B" (tab. 5) pro " jádro ".



Obr. 4.4 - Porovnání průběhu teploty v závislosti na čase pro vaerky řady "D" pro "jádro".



obr. 45 - Porovnání průběhu teploty v závislosti na čase pro výzvarky řady "E" pro " jádro".

lázně k výraznému zmírnění ochlazování. Zde opět platí, že čím je delší doba změny rychlosti lázně, tím se krivky více přibližují k průběhům teplot vzorků kalených bez změny rychlosti lázně, avšak rozdíly zůstávají značné.

3/ Pro průběhy teplot jádra vzorků kalených do lázně o teplotě  $125^{\circ}\text{C}$  lze říci totéž, co je uvedeno v kapitole 6.1.1.- závěr 4/.

---

Poznámka pro kapitoly 6.1.1. a 6.1.2.

Průběh ochlazování vzorku D2 (kaleného při změně rychlosti lázně po  $\tau_x' = 6\text{s}$ ) nezadá logicky do pořadupnosti průběhů ochlazování vzorků této řady, to znamená, nesměřuje po změně rychlosti lázně k nejdéleším časům. Při ohřevu, manipulaci se vzorkem při kalicím procesu, či při vlastním měření teplot došlo k chybě, která se projevila až po vyhodnocení oscilogramu. Příčin, které mohly tuto chybu způsobit, je celá řada. Při zpracování výsledků se tato chyba projevila na obr. 41 a 44. V ostatních případech se vyhodnocují jen relativní vztahy, týkající se vzorku samotného a tam se tato chyba neprojeví. Do závěru výsledků měření toto však nebude pojato.

---

6.1.3. Vyhodnocení průběhu rychlostí ochlazování v jádře vybraných vzorků.

Ukazatelem intensity ochlazování vzorků v průběhu ka- lení jsou rychlosti ochlazování.

Pro posouzení průběhu rychlostí při ochlazování v jád-

ře vzorků, byly vybrány vzorky řady "B" a to B<sub>1</sub>-ochlazovaný beze změny rychlosti lázně a B<sub>2</sub> - ochlazovaný se změnou rychlosti lázně po  $\bar{T}_x' = 6$ s, neboť představují extrémní hodnoty průběhu ochlazování při kalení do lázně o teplotě 60°C a B<sub>5</sub>- ochlazovaný v lázni o teplotě 125°C.

Rychlosti ochlazování povrchu vzorků nejsou uvedeny, neboť z jejich průběhu nebylo možno učinit logické závěry. Příčiny tkví v tom, že průběhy povrchových teplot jsou ovlivněny v oblasti nad teplotou změny rychlosti lázně existenci nestabilního filmového varu.

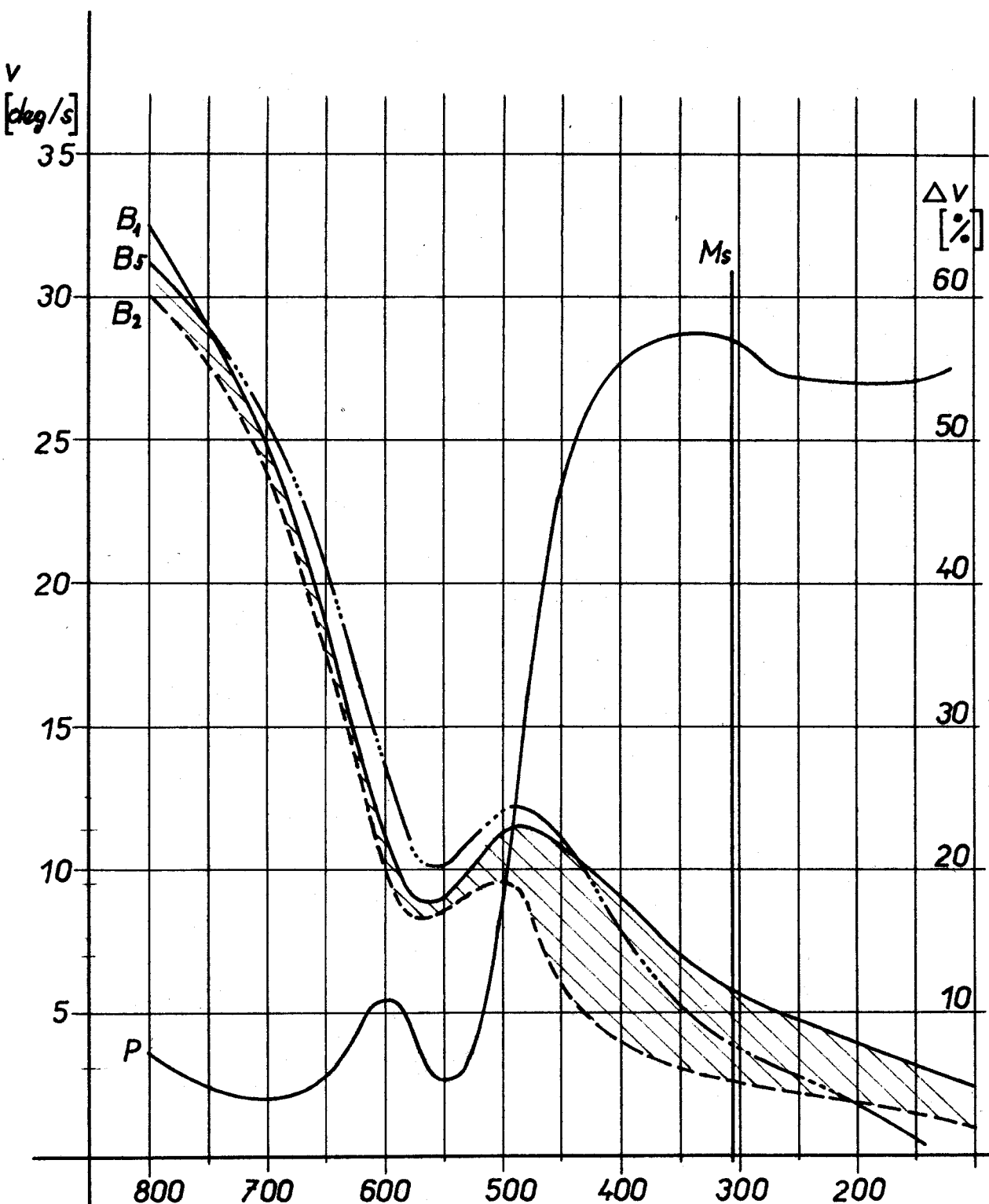
Průběhy rychlostí pro vybrané vzorky jsou přivedeny na obr. 46- v závislosti na teplotě a na obr. 47- v závislosti na době kalení. V obou obrázcích jsou ještě uvedeny čarami P rozdíly rychlostí mezi vzorky B<sub>1</sub> a B<sub>2</sub> v procentech.

Z uvedených průběhů lze formulovat tyto závěry :

1/ Rychlosti ochlazování vzorků kalených se změnou rychlosti lázně jsou v celém průběhu menší, než beze změny rychlosti lázně, přičemž rychlosti ochlazování jader vzorků B<sub>3</sub> a B<sub>4</sub> byly umístěny mezi průběhy B<sub>1</sub> a B<sub>2</sub>.

Tato skutečnost je vyjádřena na obr. 46 a 47 vyšrafovovanou plochou mezi průběhy rychlostí ochlazování vzorků B<sub>1</sub> a B<sub>2</sub>.

2/ V průběhu křivky P je patrné, že v oblastech teplot nad 500°C jsou procentové rozdíly v rychlosťech vzorků B<sub>1</sub> a B<sub>2</sub> malé. V oblasti teplot mezi 500 a 400°C, t.j.

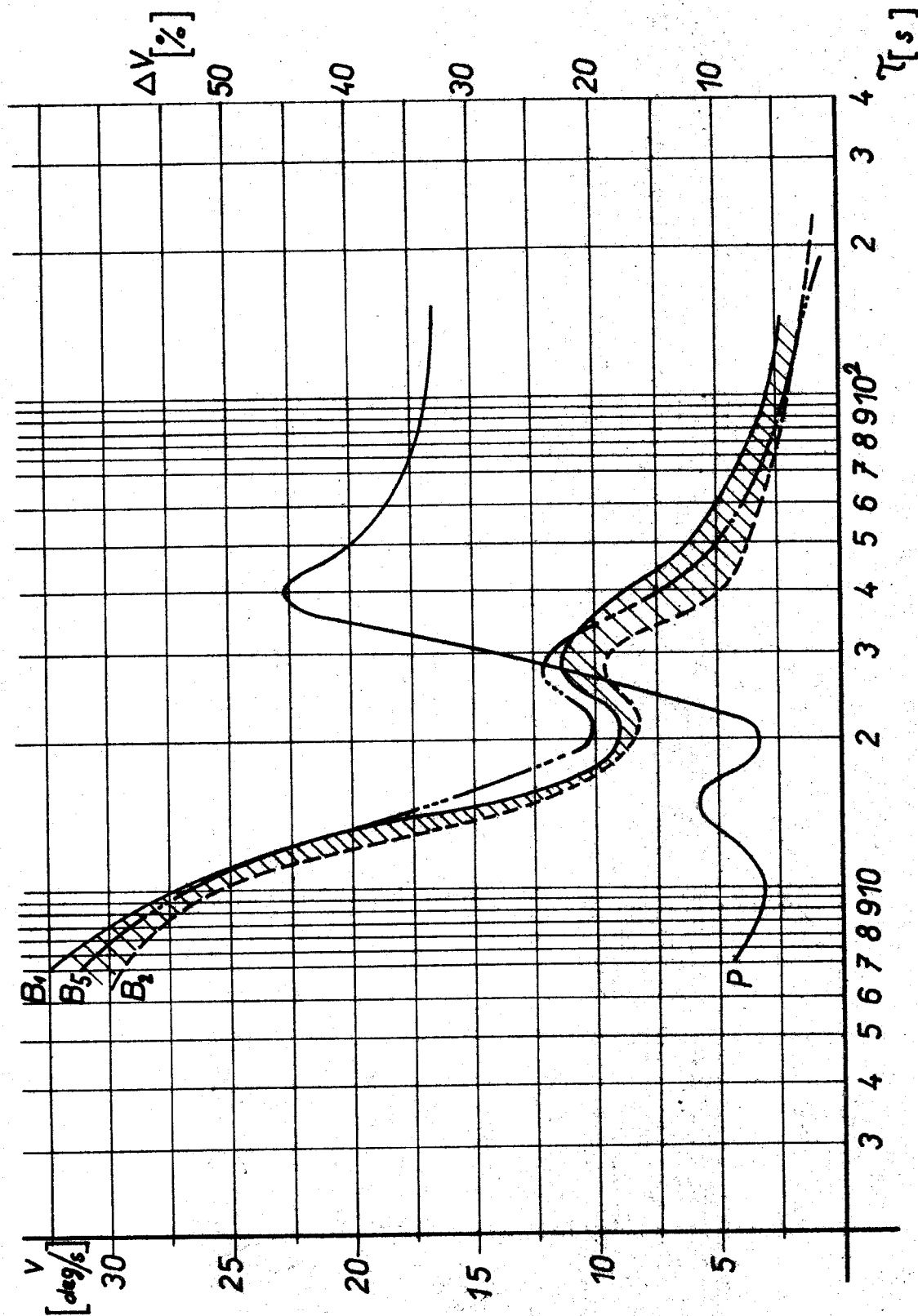


obr. 46-Závislost rychlosti ochlazování na teplotě  $t$  [ $^\circ\text{C}$ ]  
při kálení pro jádra vzorků.

$B_1-t_1=60^\circ\text{C}; w_1=0,46\text{ m/s}; B_2-t_1=60^\circ\text{C}; w_1=0,46\text{ m/s}$ ;  
 $\zeta_x=6\text{ s}; B_5-t_1=125^\circ\text{C}; w_1=0,46\text{ m/s}; \zeta_x=10\text{ s}$

Průběh  $P$ -procentový rozdíl rychlostí  $\Delta v$  mezi vzorky  
 $B_1$  a  $B_2$ .

$M_s$ -teplota martensit start pro materiál 15241.



4.17 - Závislost rychlosti ochlazování na čase při řízeném průchladném procesu  
 $t_1 = 60^\circ\text{C} ; v_1 = 0,45\text{m/s} ; B_2 = t_1 - 60^\circ\text{C} ; v_1 = 0,45\text{m/s} ; v_2 = 0,125^\circ\text{C} ; v_3 = 0,45\text{m/s} ; \alpha = 10\text{s}$

Průsek  $P$  - průměrná rychlosť  $\Delta V$  mezi výkly.

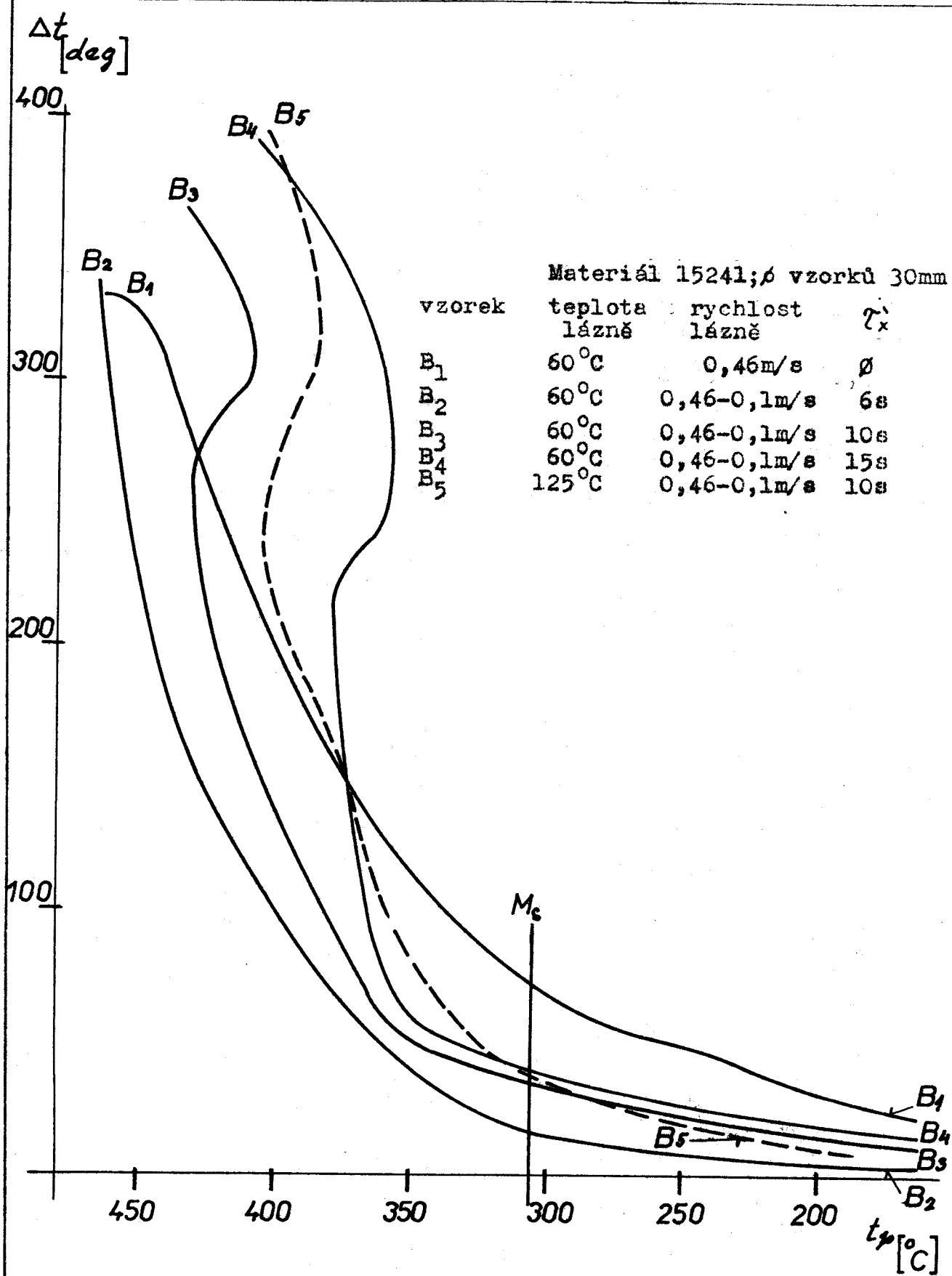
v oblasti, kde dochází k odchodu průběhu teplot u vzorku  $B_2$  od průběhu teplot vzorku  $B_1$  v důsledku změny rychlosti lázně, dochází k prudkému vzrůstu procentového rozdílu rychlostí. Maximum tohoto rozdílu je při teplotě  $325^{\circ}\text{C}$  a činí 57,6 %. Dále pak příliš neklesá.

Oblast vysokých procentových rozdílů rychlostí spadá převážně do oblasti teplot martensitické přeměny. Tato skutečnost je velmi důležitá, neboť vnitřní pnutí materiálu vznikající v důsledku strukturálních přeměn se sníží, protože intenzita ochlazování vzorku  $B_2$  bude v této oblasti podstatně nižší než u vzorku  $B_1$  [4] [5].

3/ Průběh rychlosti ochlazování jádra vzorku  $B_5$  (kalen do lázně o teplotě  $125^{\circ}\text{C}$ ) vykazuje v počátečním stadiu ochlazování, t.j. do teploty  $750^{\circ}\text{C}$ , nižší hodnoty a odtud až do teplot okolo  $450^{\circ}\text{C}$  hodnoty vyšší, než je tomu u vzorku  $B_1$ . Pod teplotou  $450^{\circ}\text{C}$  se rychlosť ochlazování prudce snižuje a po dosažení teploty  $200^{\circ}\text{C}$  je dokonce nižší než u vzorku  $B_2$ . Opět se ukazuje, že rostoucí teplota lázně znásobuje účinek změny rychlosti proudění lázně. Tato skutečnost je potvrzením závěru 4/kapitola 6.1.1.

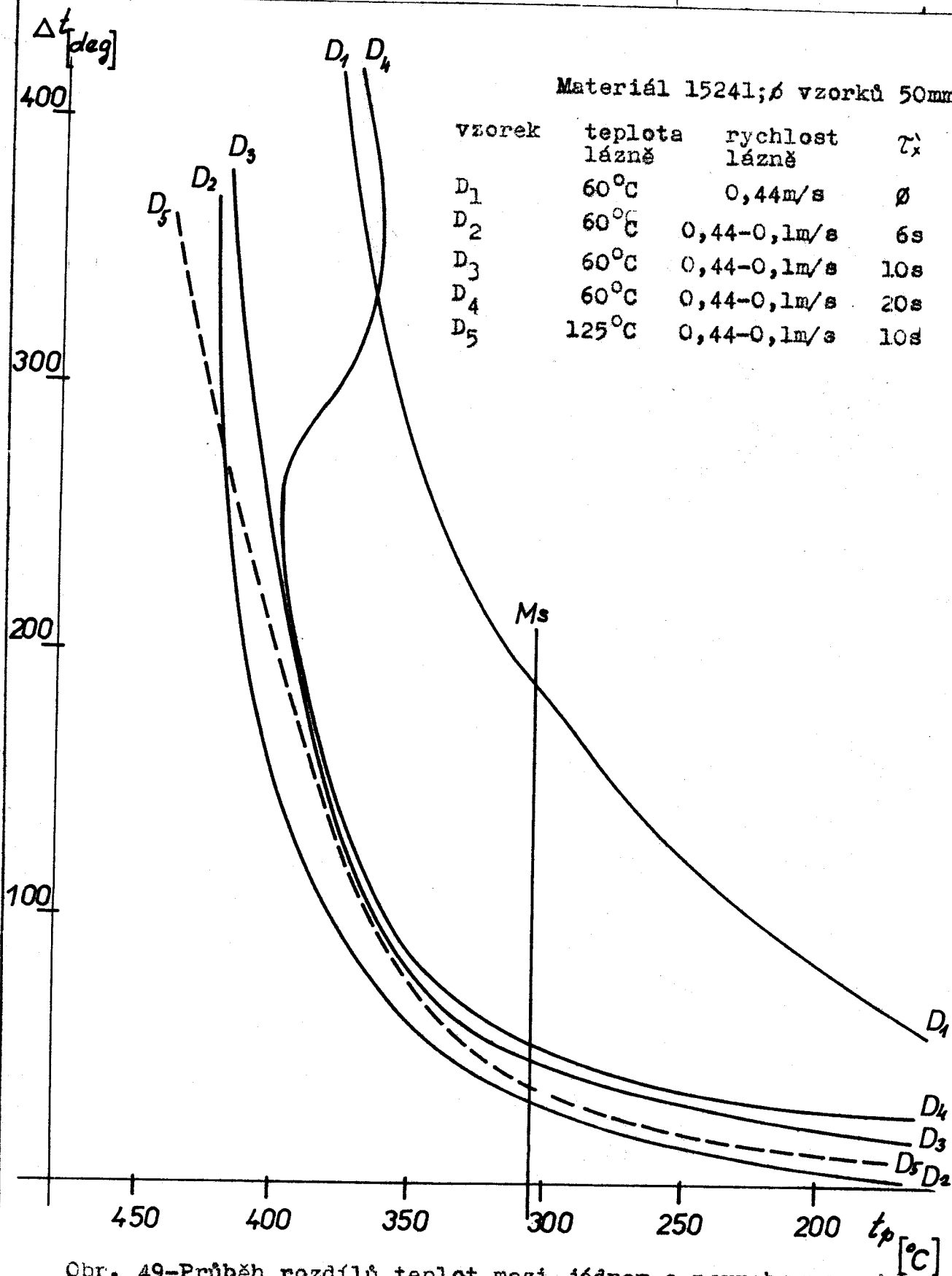
#### 6.1.4. Vyhodnocení rozdílů teplot povrchu a jádro vzorků pro jednotlivé režimy kalení.

Průběhy rozdílů teplot mezi povrchem a jádrem jednotlivých vzorků v závislosti na povrchové teplotě jsou přivedeny na obr. 48(řada "B"), obr. 49(řada "D") a obr. 50(řada "E").



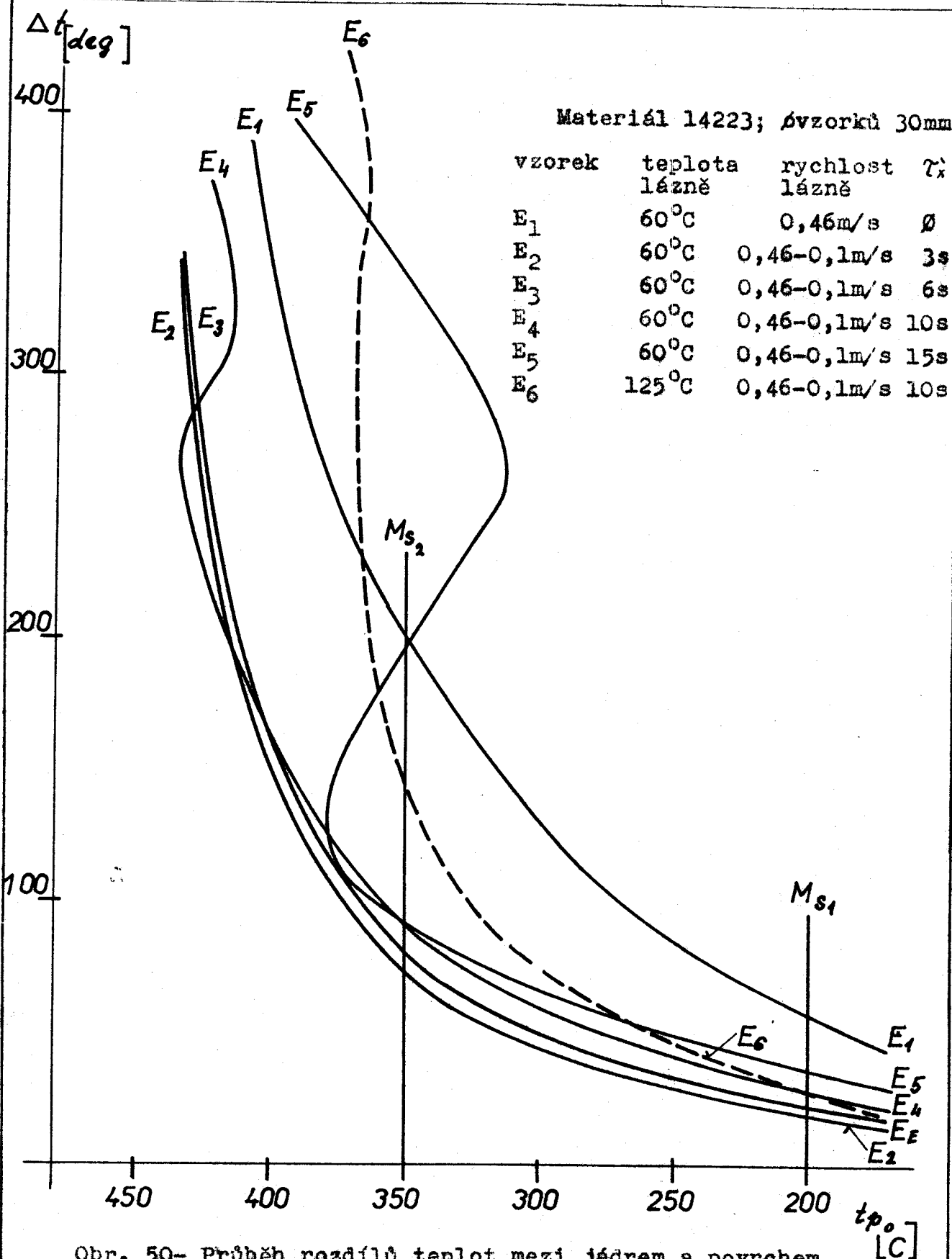
Obr. 48-Průběh rozdílů teplot meti jádrem a povrchem vzorků řady "B" v závislosti na teplotě povrchu.

$M_s$  - teplota martensit start



Obr. 49-Průběh rozdílů teplot mezi jádrem a povrchem vzorků řady "D" v závislosti na teplotě povrchu.

Ms - teplota martensit start



Obr. 50- Průběh rozdílu teplot mezi jádrem a povrchem výzorků řady "E" v závislosti na teplotě povrchu.

$M_s_1$ -teplota martensit.start pro 0,91% C

$M_s_2$ -teplota martensit start pro vzdálenost 1,5mm pod povrchem kde je 0,4% C.

Procentuální vyjádření snížení rozdílů teplot mezi jádrem a povrchem vzorků pro jejich jednotlivé řady, v závislosti na teplotě povrchu vzorků v oblasti martensitické přeměny, při klení se změnou intenzity rychlosti proudu kalící lázně vzhledem ke klení bez změny intenzity rychlosti proudu kalící lázně, je přivedeno na obr. 51 (řada "B"), obr. 52 (řada "D") a obr. 53 (řada "E").

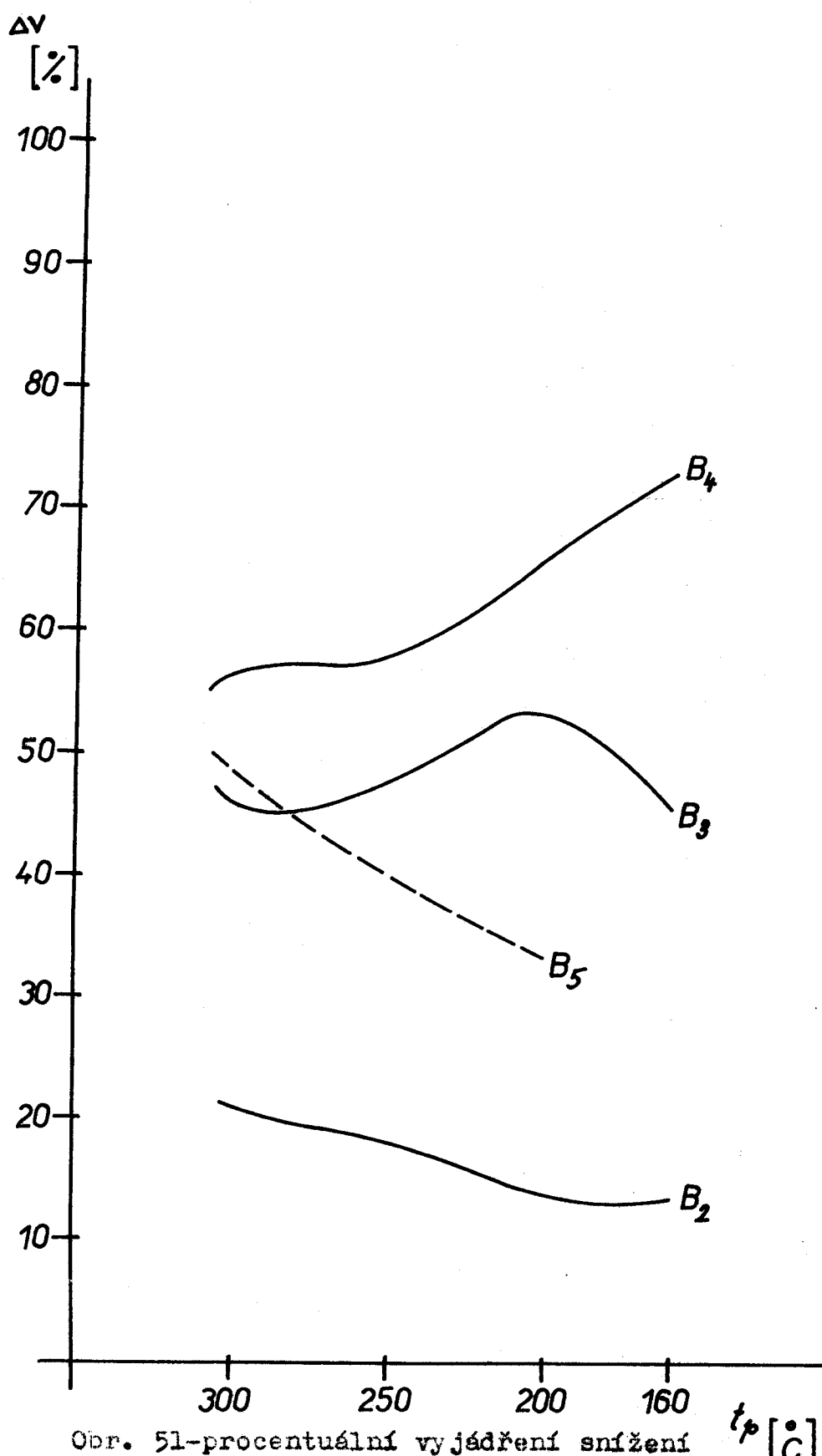
Z průběhů přivedených na obr. 48, 49 a 50 lze formulovat tyto závěry:

1/ Největší význam mají průběhy v oblasti martensitické přeměny, jejíž počátek je vyznačen čarou Ms. V této důležité oblasti ochlazování je patrný výrazný pokles rozdílů teplot v důsledku provedení změny rychlosti lázně oproti klení bez této změny. Extrémní hodnoty vyjadřují polohy průběhů pro vzorky klené bez změny rychlosti lázně a pro vzorky klené se změnou rychlosti lázně po  $\tau_x' = 3$  eventuálně 6 s. Při změně rychlosti po delších časech t. j. po  $\tau_x' = 10,15$  eventuálně 20 s se diference rozdílů teplot mezi jádrem a povrchem vzorků zmenšuje. Je však nutno dodat, že je i potom výrazný.

2/ Dále se ukazuje, že s rostoucí velikostí průměru vzorků, jsou diference rozdílů teplot mezi jádrem a povrchem vzorků (dále jen "rozdílů teplot") markantnější.

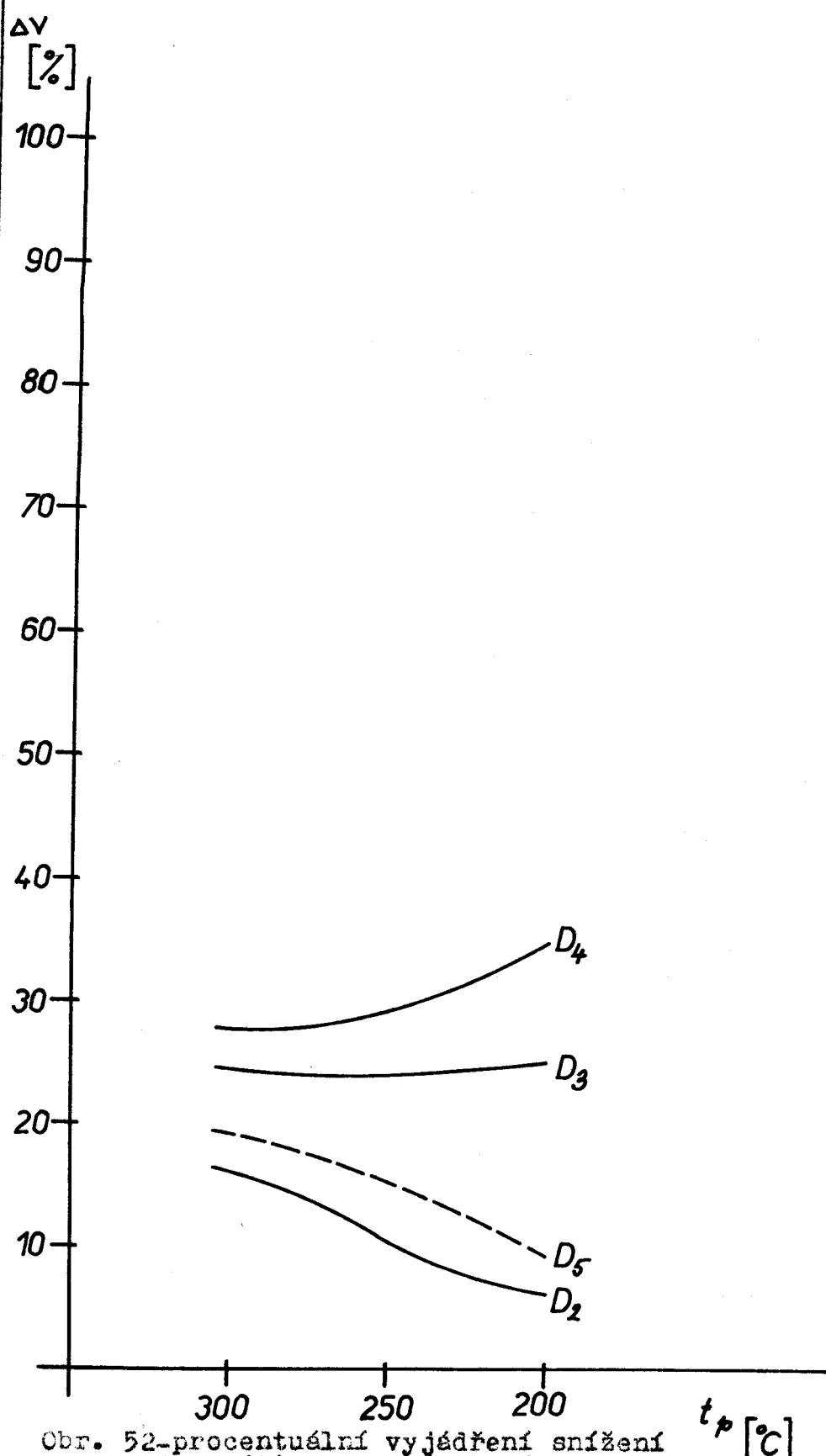
3/ Průběh rozdílů teplot u vzorků klených do lázně o teplotě  $125^{\circ}\text{C}$  je charakterisován klesající tendencí.

Ukazuje se tedy, že s rostoucí teplotou kalící lázně, nárůstá diference rozdílů teplot vůči ostatním průběhům.

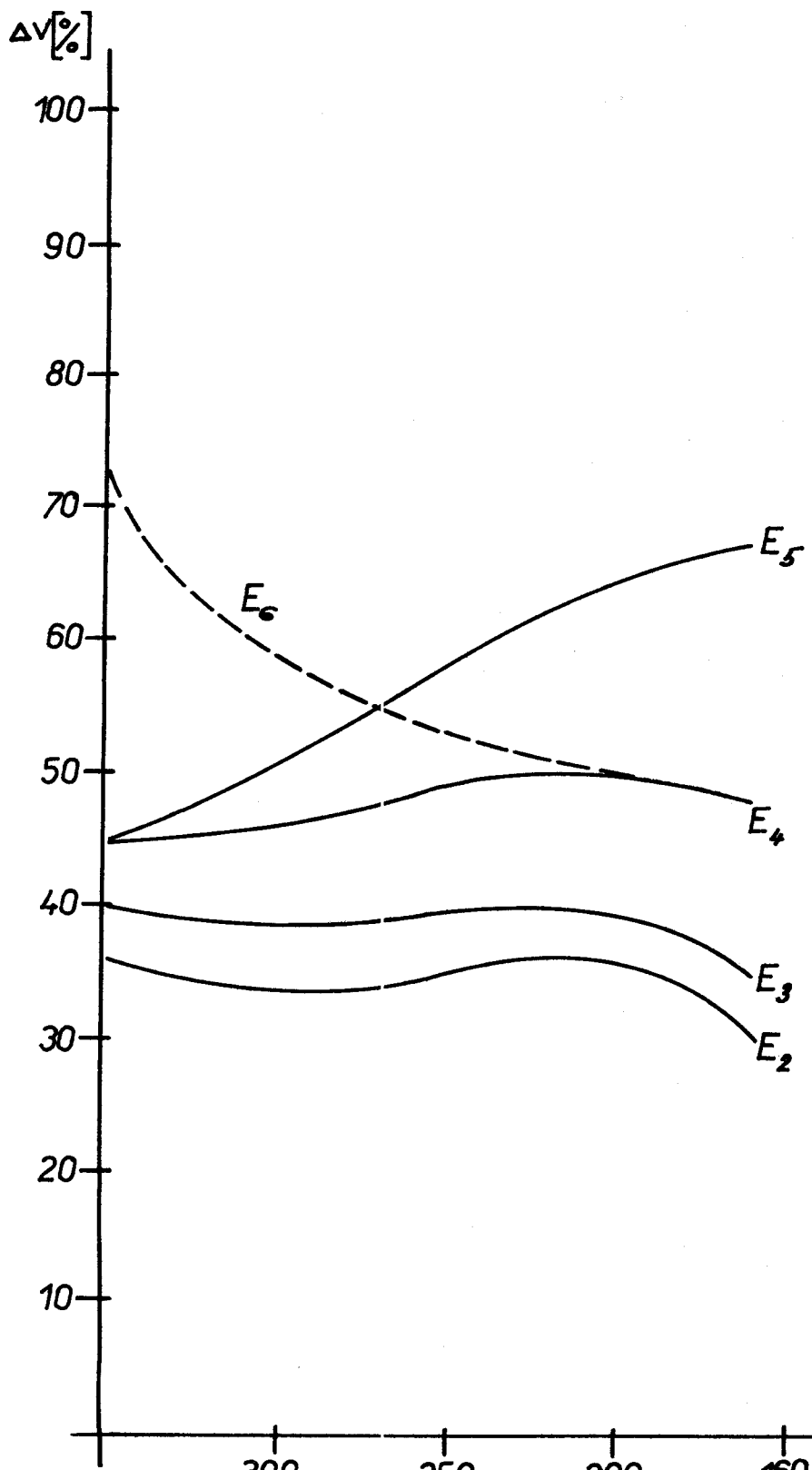


Obr. 51-procentuální vyjádření snížení

rozdílu teplot mezi jádrem a povrchem vzorků řady "B" v závislosti na teplotě povrchu vzorků, v oblasti martensitické přeměny, při kálení se změnou intenzity rychlosti proudění kalící lázně, vzhledem ke kálehlí bez změny intenzity rychlosti proudění kalící lázně.



Obr. 52-procentuální vyjádření snížení rozdílu teplot mezi jádrem a povrchem vzorků řady "D" v závislosti na teplotě povrchu vzorků, v oblasti martensitické přeměny, při kálení se změnou intenzity rychlosti proudění kalicí lázně, vzhledem ke kálení bez změny intenzity rychlosti proudění kalicí lázně.



Obr. 53- Procentuální vyjádření snížení rozdílu teplot mezi jádrem a povrchem vzorků řady "E" v závislosti na teplotě povrchu vzorků, v oblasti martenitické přeměny, při kalení se změnou intensity rychlosti proudění kalicí lázně, vzhledem ke kalení beze změny intensity rychlosti proudění kalicí lázně.

týkajících se vzorků, kalených do lázně o teplotě  $60^{\circ}\text{C}$  se změnou její rychlosti.

Průběhy přivedené na obr. 51, 52 a 53 procentuálně vyjadřují, (týká se oblasti martensitické přeměny), v jaké míře došlo k poklesu rozdílu teplot mezi jádrem a povrchem vzorků v závislosti na povrchové teplotě. Tyto průběhy jsou provedeny pro vzorky kalené se změnou rychlosti lázně a jsou vztaženy ke vzorkům kaleným bez této změny, jejichž hodnoty jsou považovány za 100%.

Z těchto průběhů lze formulovat tyto závěry:

- 1/ Při vzájemném porovnání průběhů se nejpříznivěji jeví průběhy pro vzorky kalené do lázně:
  - a/ o teplotě  $60^{\circ}\text{C}$  při změně její rychlosti po  $\bar{T}_x' = 3$  eventuálně 6 a 10s,
  - b/ o teplotě  $125^{\circ}\text{C}$ .

Méně příznivě se jeví průběhy pro vzorky kalené do lázně o teplotě  $60^{\circ}\text{C}$ , při změně její rychlosti po  $\bar{T}_x' = 15$  eventuálně 20s. Vzájemným porovnáním jednotlivých řad vzorků, jeví se nejpříznivěji řada "D" (materiál 15241 o průměru vzorků 50mm), z čehož plyne; že kalení těles větších průměrů je při použití této metody výhodnější oproti tělesům průměrů menších.

- 2/ Při posouzení všech průběhů jako celku lze říci, že se použitím kalení se změnou rychlosti lázně vůči kalení bez této změny dosáhne podstatného procentuálního snížení rozdílu teplot mezi jádrem a povrchem vzorků.

Tento fakt potvrzuje závěry učiněné pro průběhy rozdílů teplot mezi jádrem a povrchem vzorku (obr. 48, 49 a 50).

Z průběhů uvedených na obrázcích této kapitoly lze formulovat velmi důležitý společný závěr:

Ukazuje se, že při kalení se změnou rychlosti lázně dochází k podstatnému snížení rozdílů teplot mezi jádrem a povrchem vzorků. Lze očekávat, že v důsledku toho poklesnou vnitřní pnutí způsobená rozdíly teplot mezi uvedenými místy kaleného předmětu. [4] [5].

#### 6.2. Metalografické vyhodnocení.

##### 6.2.1. Porovnání průběhů tvrdosti vzorků v jejich průřezu (obr. 24+ 39)

Průběhy tvrdostí jsou dle druhu materiálu charakteristické.

Z průběhů přivedených na obr. 24+ 33 pro vzorky řady "B" a "D" (materiál 15241 o průměrech vzorků 30 a 50 mm) lze formulovat tyto závěry:

1/ Při kalení se změnou rychlosti lázně dochází k poklesu tvrdostí. Pro případ kalení do lázně o teplotě  $60^{\circ}\text{C}$  nejvíce tvrdost při změně rychlosti lázně při  $\bar{T}_x = 6\text{ s}$ . Při změnách rychlosti lázně po delších časech se poněkud tvrdost zvyšuje, avšak zůstávají výrazně pod hodnotou tvrdostí daných průběhem kalení bez změny rychlosti lázně.

2/ Tvrdoosti vzorků kalených do lázně o teplotě  $125^{\circ}\text{C}$  vykazují ve svém průběhu hodnoty tvrdostí ještě nižší, než při kalení se změnou rychlosti lázně při  $\bar{T}_x = 6\text{ s}$ .

Z průběhů přivedených na obr. 34 + 39 pro vzorky "E" (materiál 14223 o průměru vzorků 30mm) lze formulovat tento závěr:

Režimy kalení jsou ovlivněny jen oblastí cementované vrstvy, kdežto tvrdosti jader vzorků jsou na nich nezávislé a tudíž nevykazují rozdíly.

O posunutí hodnot tvrdostí v oblasti cementační vrstvy, v závislosti na režimech kalení, platí tytéž závěry, jako v případě pro vzorky řady "B" a "D".

#### 6.2.2. Porovnání povrchových nebo maximálních a středních hodnot tvrdosti vzorků.

Průběhy týkající se povrchových nebo maximálních a středních tvrdostí vzorků, jsou přivedeny na obr. 54, 55 a 56.

Z těchto průběhů lze formulovat tyto závěry:

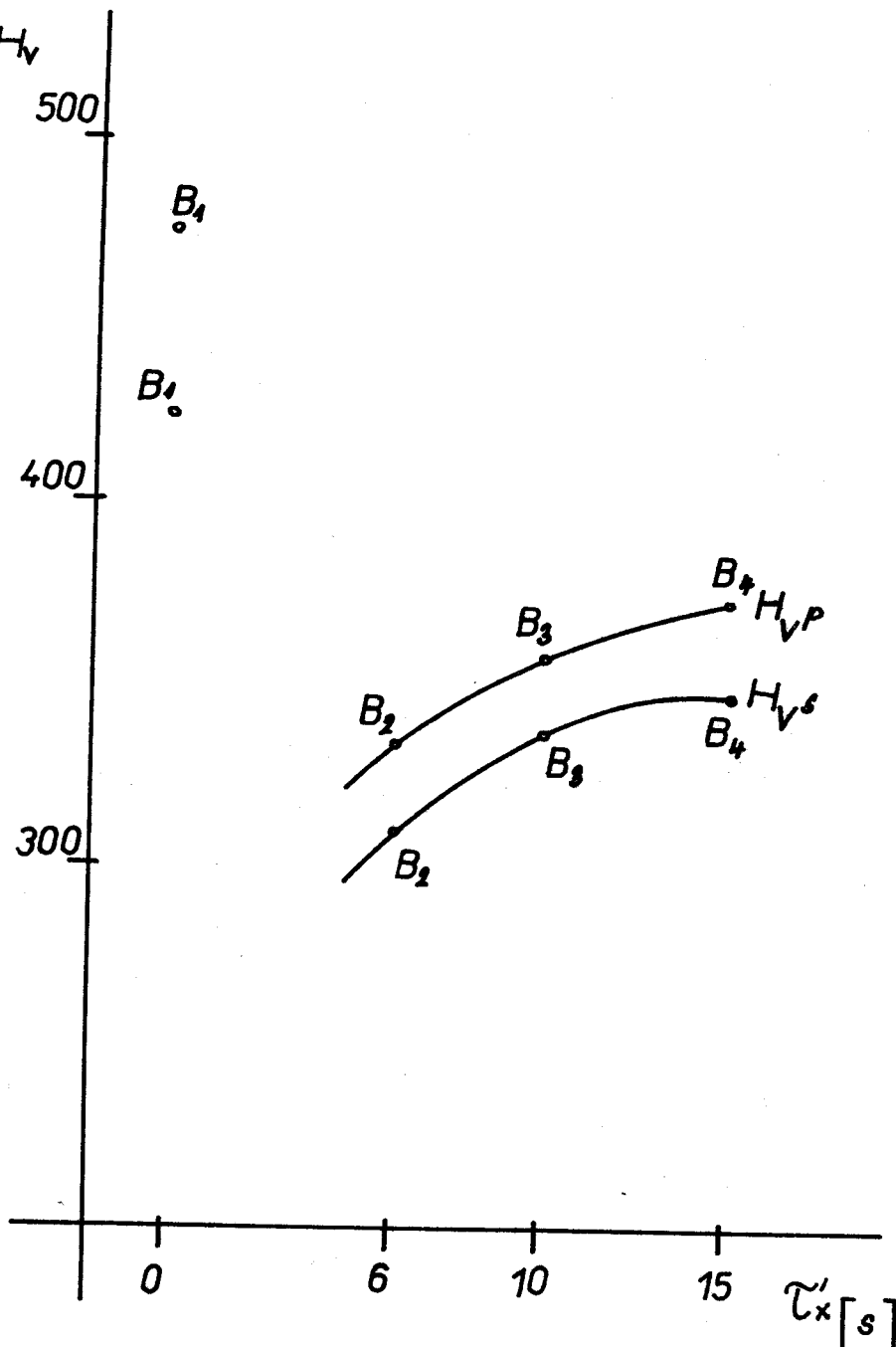
1/ Ukazuje se, že čím je kratší doba změny rychlosti lázně, tím je získaná tvrdost nižší. S rostoucí dobou roste i tvrdost.

2/ tyto průběhy svoji podstatou potvrzují závěry učiněné v kapitole 6.2.1.

3/ Ukazuje se zde souvislost s průběhy ochlazování a potvrzuje se závěry učiněné v předešlých kapitolách, v souvislosti s následky kalení při změnách rychlosti lázně.

---

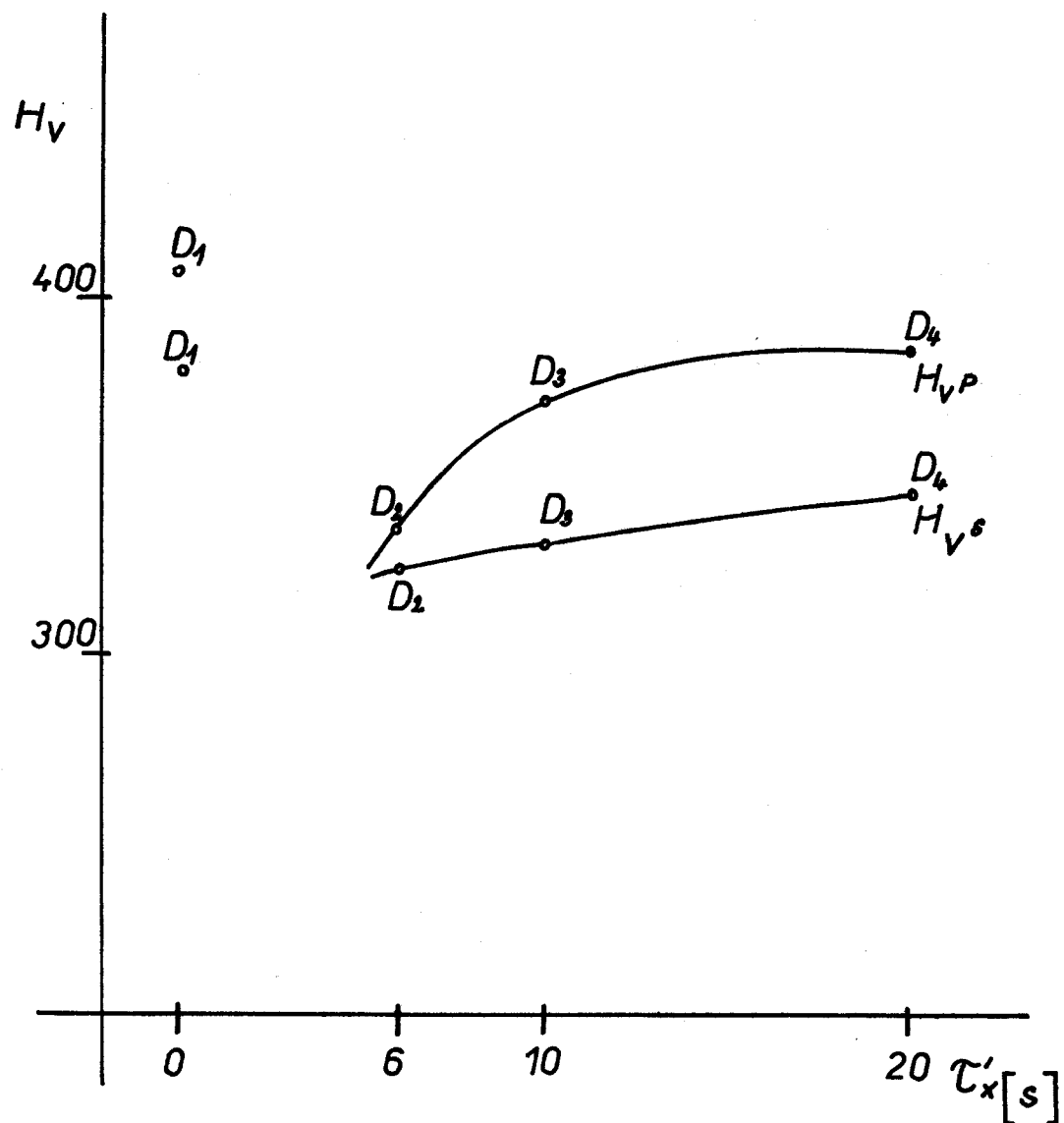
Poznámka: Průběh středních hodnot tvrdostí u vzorků řady "E" může být ovlivněn nepříznivě rozdílem v tloušťce cementační vrstvy.



Obr. 54- Závislost tvrdostí vzorku řady "B" na čase změny rychlosti proudění kalicí lázně.

$H_V^P$ -tvrdost povrchu

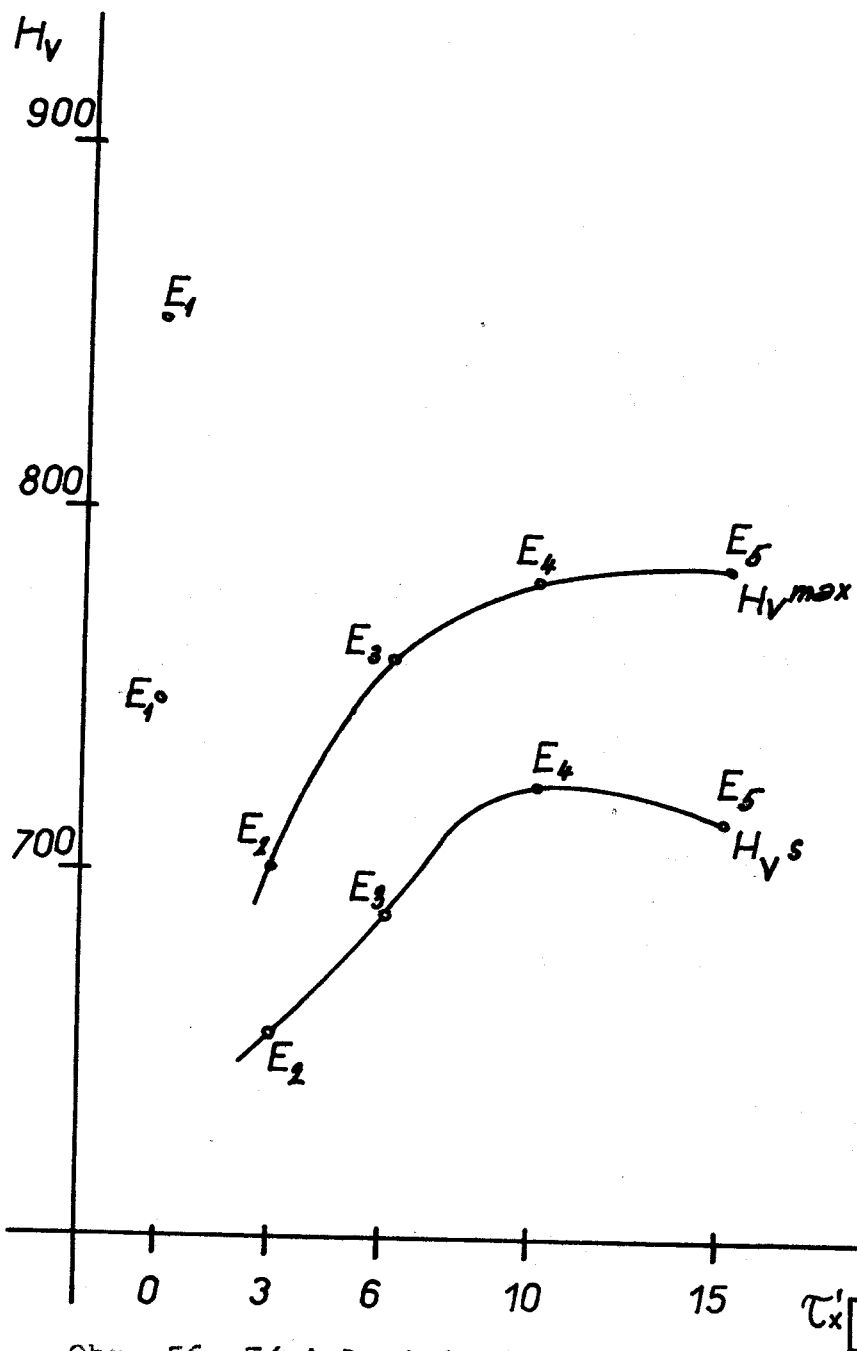
$H_V^S$ -tvrdost střední



Obr. 55- Závislost tvrdosti vzorku řady "D" na čase změny rychlosti proudění kalící lázně.

$H_V^P$  - tvrdost povrchu

$H_V^S$  - tvrdost střední



Obr. 56- Závislost tvrdosti vzorků řady "E" na čase změny rychlosti proudění kalící lázně

$H_V^{\max}$  - maximální tvrdost

$H_V^s$  - střední tvrdost cementované vrstvy, přičemž se považuje její tloušťka do hodnoty  $500H_V$ .

### 6.2.3. Porovnání struktury kalených vzorků.

Závěry, které jsou provedeny pro výsledky vyhodnocení průběhu ochlazování, rychlosti ochlazování, rozdílu teplot mezi jádrem a povrchem vzorků a tvrdosti, potvrzuji výsledky metalografických vyhodnocení. Jsou provedena pro výběr vzorků, jež byly považovány za charakteristické. Metalografická vyhodnocení jsou provedena pro povrchové oblasti (místo A) a pro(místa B)-obr.7-vzorku M-N.

Fotografie struktur z výše uvedených míst vzorků představují obr.I.+ XII.

Vzorek B<sub>1</sub>-místo A: obr.I.-struktura je převážně tvořena směsi bainitu a martensitu. Jemně v malém množství je též vyloučen ferit.

Vzorek B<sub>1</sub>- místo B: obr.II.- struktura je tvořena směsi bainitu a feritu. Podíl martensitu je vyloučen jemně a ve velmi malém množství.

Vzorek B<sub>2</sub>- místo A: obr.III.- struktura je tvořena téměř výhradně dvěma hlavními složkami a to bainitem a martensitem. Obě tyto složky jsou zastoupeny asi ve stejném poměru. Ve stopovém množství je vyloučen ferit.

Vzorek B<sub>2</sub>- místo B: obr.IV.- základní složkou struktury je bainit. Vedle něho, je jako samostatná složka struktury, vyloučen v menším množství ferit.

Vzorek D<sub>1</sub>- místo A: obr.V.- struktura je tvořena ve větší míře bainitem a tvorí tak její základní hmotu. Poněkud menším množstvím je vyloučen martensit.

Struktura též obsahuje jako samostatnou složku v menší míře i ferit.

Vzorek D<sub>1</sub>- místo B: obr.II.-základní hmotu struktury tvoří směs bainitu a feritu. Samostatně, ale jen v menším množství je vyloučen martensit.

Vzorek D<sub>2</sub>- místo A: obr.III.-struktura je tvořena téměř výhodně dvěma hlavními složkami a to bainitem a martensitem. Obě tyto složky jsou zastupeny asi ve stejném poměru. Ve stopovém množství je vyloučen ferit.

Vzorek D<sub>2</sub>- místo B: obr.VI.-základní složkou struktury je bainit. Vedle něho je vyloučen i ferit ovšem v podstatně menším množství.

Vzorek E<sub>1</sub>- místo A: obr. VII.- Do hloubky až 0,9mm je struktura tvořena převážně martensitem, s malým množstvím bainitu. Dále do hloubky, je struktura tvořena jen martensitem.

obr.VIII.- k martensitu postupně přibývá, jako samostatné složky bainitu. Konečně se začíná objevovat, v jemných jehličkách, i ferit.

obr.IX.- ještě dále do hloubky je struktura tvořena přechodovými složkami s malým množstvím feritu ve formě jehlic.

Vzorek E<sub>1</sub>- místo B: obr. IX.-struktura je tvořena převážně přechodovými složkami s malým množstvím feritu ve formě jehlic.

Vzorek E<sub>2</sub>- místo A: obr. VIII.- strukturu tvoří směs martenisu s bainitem, kterého s rostoucí hloubkou přibývá. Objevuje se ve formě jemných jehliček i ferit.

Vzorek E<sub>2</sub>- místo B: obr. X.-strukturu tvoří bainit s poněkud větším množstvím feritu, než je tomu v povrchové oblasti tohoto vzorku. Ferit je vyloučen ve formě jehlic. Kromě toho obsahuje struktura i menší množství martenisu, který je vyloučen ve formě malých ostrůvků.

Vzorek E<sub>3</sub>- místo A: obr. VIII.- struktura je tvořena martenitem, k němuž směrem od povrchu přebývá jako samostatné složky bainitu. Dále pak se začíná objevovat v jemných jehličkách i ferit.

obr. IX.- ještě dále do hloubky je struktura tvořena přechodovými složkami s malým množstvím feritu ve formě jehlic.

Vzorek E<sub>3</sub>- místo B: obr. XI.- strukturu tvoří převážně bainit. Další složkou struktury je větší množství feritu vyloučeného ve formě jehlic. Martensitu je velmi malé množství a tvoří malé ostrůvky.

Vzorek E<sub>4</sub>- místo A: obr. VII.- do hloubky asi 0,7 je struktura tvořena převážně martenitem s malým množstvím bainitu. Dále do hloubky je struktura tvořena jen martenitem.

obr. VIII.- k martenisu postupně přibývá, s rostoucí vzdáleností od povrchu, jako samostatná složka bainit.

Konečně se začíná objevovat v jemných jehličkách i ferit.

Vzorek E<sub>4</sub> - místo B: obr.XII.- strukturu tvoří přechodová směs bainitu, feritu a martensitu. Základní hmotu struktury tvoří bainit. Ferit, jako samostatná složka je vyloučen ve formě jemných jehliček. Martensit je vyloučen v podobě malých ostrůvků.

Pro přibližnou kontrolu závěrů při metalografickém vyhodnocení jsou přiloženy průsvitky IRA diagramů odpovídajících použitým materiálům. Vzhledem k tomu, že při kalední uvedeným způsobem jde o kontinuální ochlazování, bylo by na místě použití ARA diagramu. ARA diagramy použitých materiálu nebyly v dostupné literatuře k disposici [6].



obr.I.

3%Nital

250x



obr.II.

3%Nital

250x



obr.III.

3%Nital

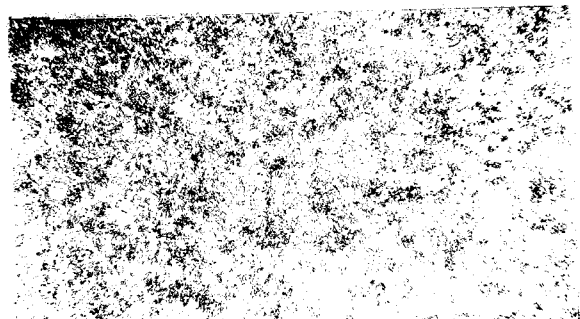
250x



obr.IV.

3%Nital

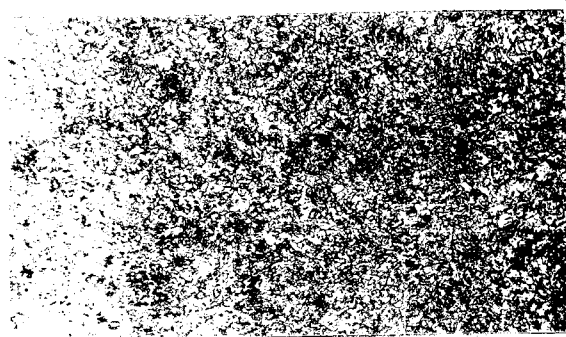
250x



obr. V.

3% Nital

250x



obr. VI.

3% Nital

250x



obr. VII.

3% Nital

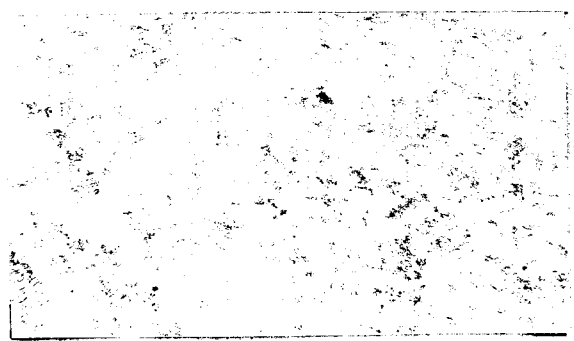
250x



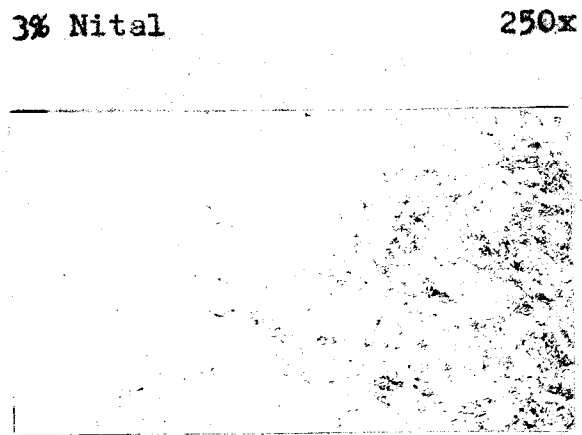
obr. VIII.

3% Nital

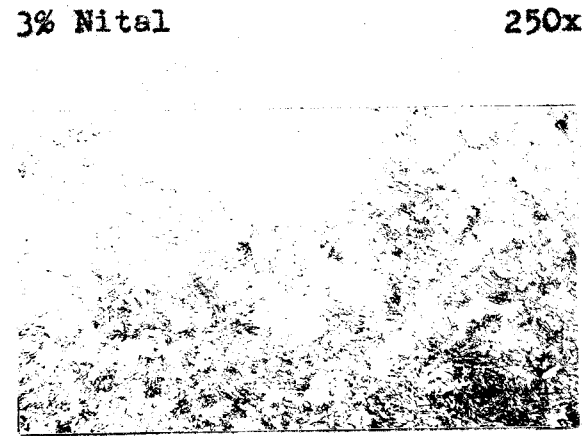
250x



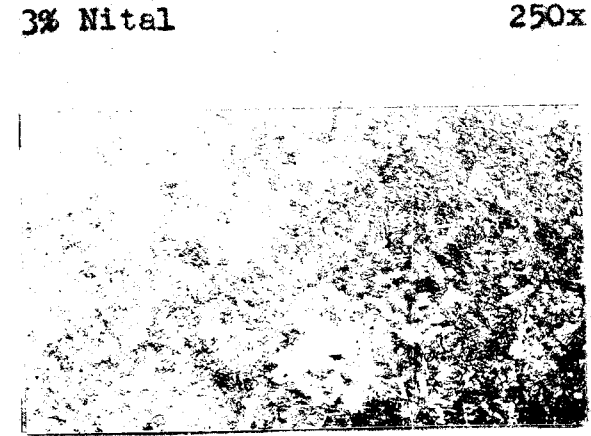
obr. IX.



obr. X.



obr. XI.



obr. XII.

3% Nital 250x

## Závěr.

Tato diplomová práce se zabývala možností použití metody klení do olejové lázně s nuceným oběhem, při kterém bylo použito změny intenzity rychlosti jejího proudění.

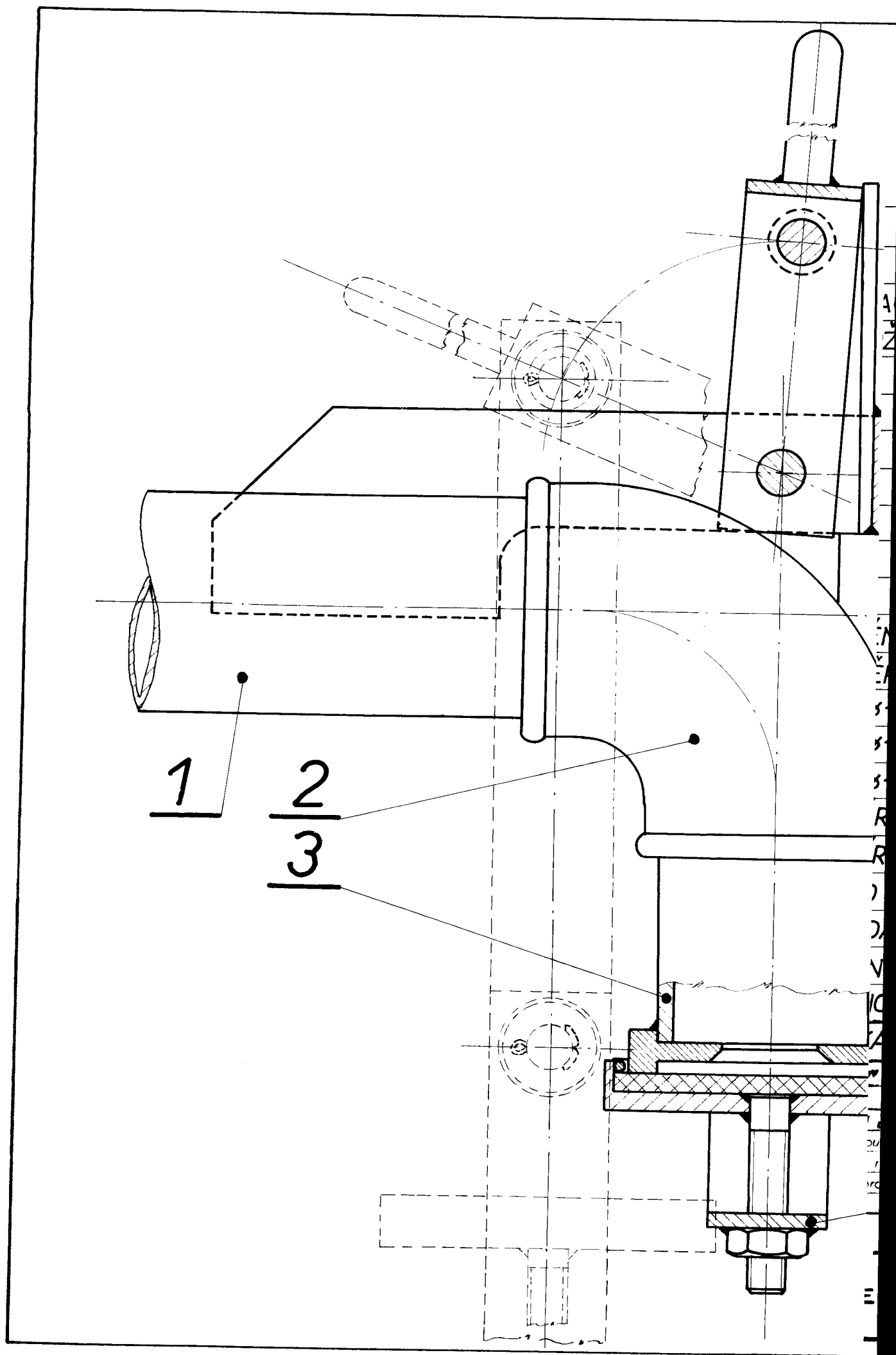
Protože zkoušky konané s ohledem na možnosti provozního zařízení [2] ukázaly dobré výsledky, lze říci, že sledovaná metoda se dá aplikovat v praxi .

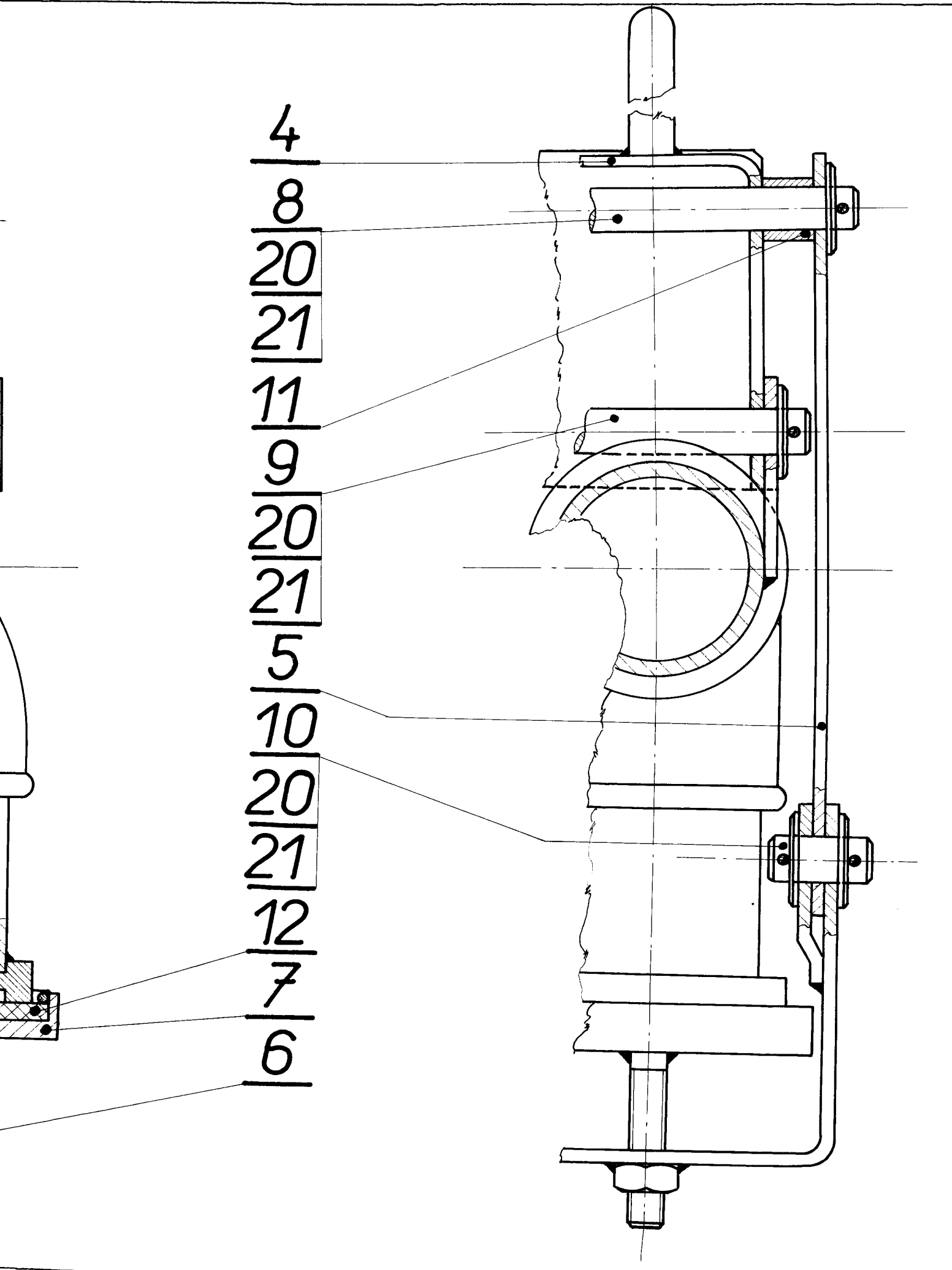
V Liberci, dne 17. června 1968.

*Šlemán Jiří*

## Literatura.

- [1] HYNČICA V.: Kandidátská disertační práce část I.  
VŠST Liberec, Ústav termomechaniky a  
technického měření; 1966; 123s.
- [2] HYNČICA V.: Návrh zařízení pro kálení do horkého  
oleje průtočným principem.  
Zpráva č. 62-102, VŠST Liberec,  
Ústav termomechaniky a technického mě-  
ření; 1962; 23s.
- [3] Benzina n.p. Praha: Katalog pohonného látek, maziv  
a jiných výrobků z ropy.  
1961; 94s.
- [4] JAREŠ V.: Metalografie oceli,  
ČSAV, Praha; 1960; 275s.
- [5] PIŠEK F.: Nauka o materiálu I.  
Praha, ČSAV; 1957; 754s.
- [6] KRAUS V.: Atlas diagramů pro zušlechtování kon-  
strukčních ocelí.  
SNTL, Praha 1964, 171 s.





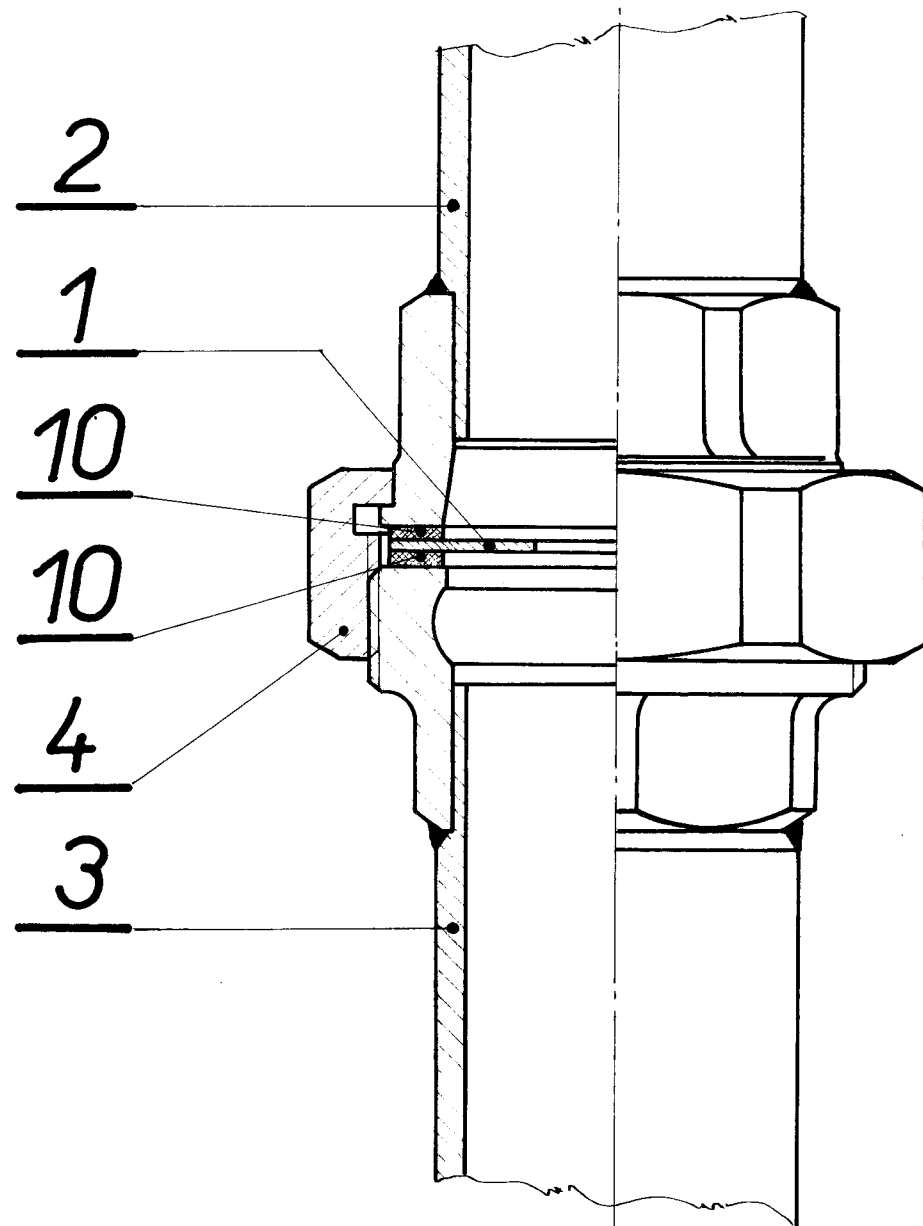
23

24

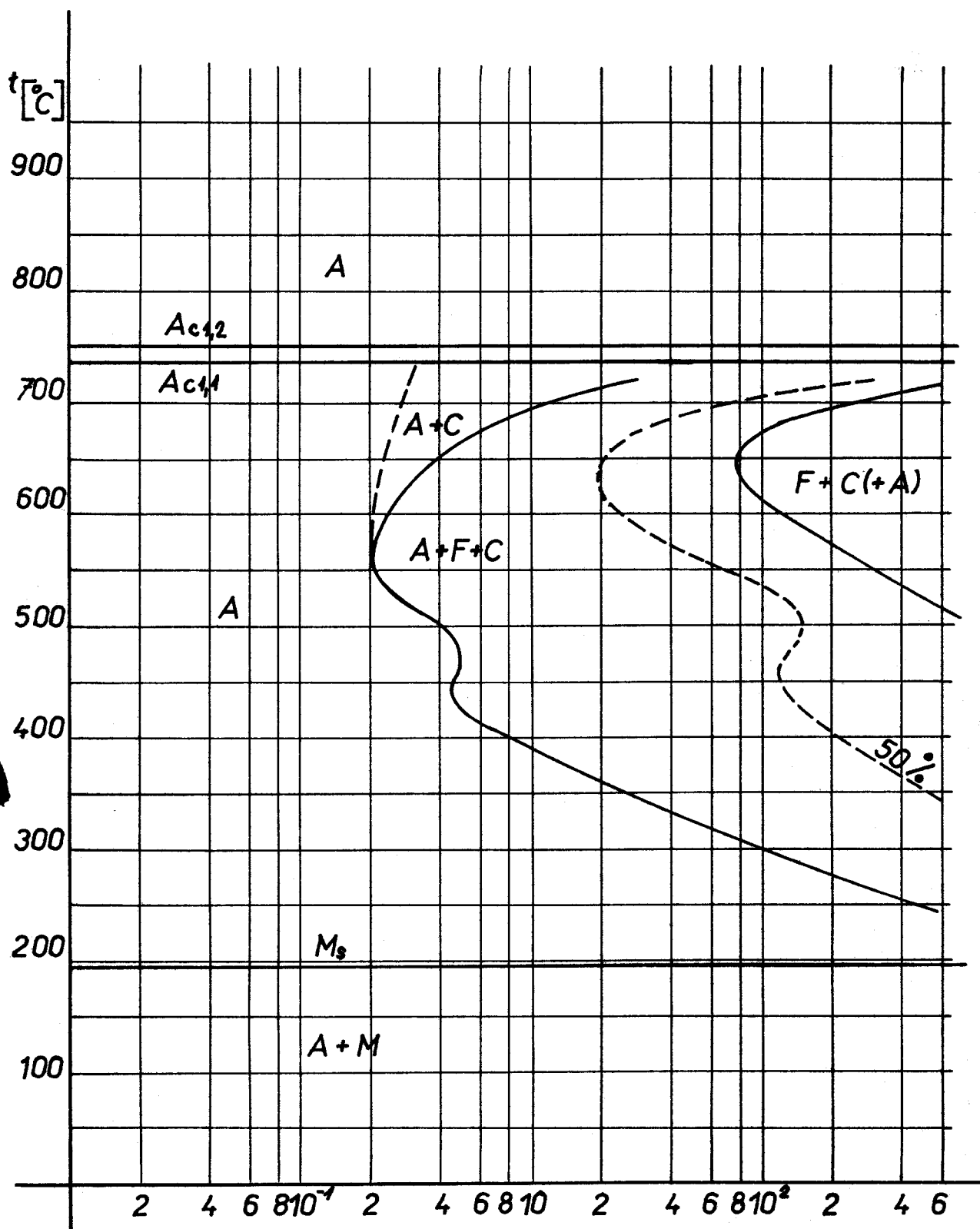
12	ZÁVLAČKA	3x15	ČSN 021781	21
12	PODLOŽKA	10,5	ČSN 021701	20
				19
				18
				17
				16
				15
				14
				13
1	TĚSNĚNÍ Ø66-4		PRYŽ	12
2	ROZPĚRNÝ KROUŽEK Ø15x2,5-12		ČSN 425715	11
2	ČEP Ø10-24		ČSN 427610	10
1	ČEP Ø10-68		ČSN 427610	9
1	ČEP Ø10-90		ČSN 427610	8
1	UZAVÍRACÍ TALÍŘ			7
1	UZAVÍRACÍ VIDLICE			6
2	TÁHLO 25x3-170		ČSN 425340	5
1	OVLÁDACÍ VIDLICE			4
1	VÝMĚNNÝ NÁSTAVEC S CLONOU			3
1	KOLENO J <sub>s</sub> 1½"		ČSN 138205	2
1	TRUBKA J <sub>s</sub> 1½" S DRŽÁKEM			1

Počet kusů	Název - Rozměr	Položka	Mater. konstrukční	Mater. výrobní	Príloha Odp.	Č. výhoda	M. výhoda	Číslo výkresu	Pos.
<i>Poznámka</i>									
<i>Celková č. výhoda kg</i>									
Měřítko	Kreslil <u>Štěmík Jiri</u>		Cis. sním.						x
	Prezkušel								x
1:1	Norm. ref.								x
	Výr. projedn.	Schvátil	Č. transp.						x
		Dne 1.6.1968							x

Výrobce	Typ	Skupina	Starý výkres	Nový výkres
VŠST LIBEREC	Uzávérka A	Potrubi prívodu oleje 9	DP-ST 674/68.1	1

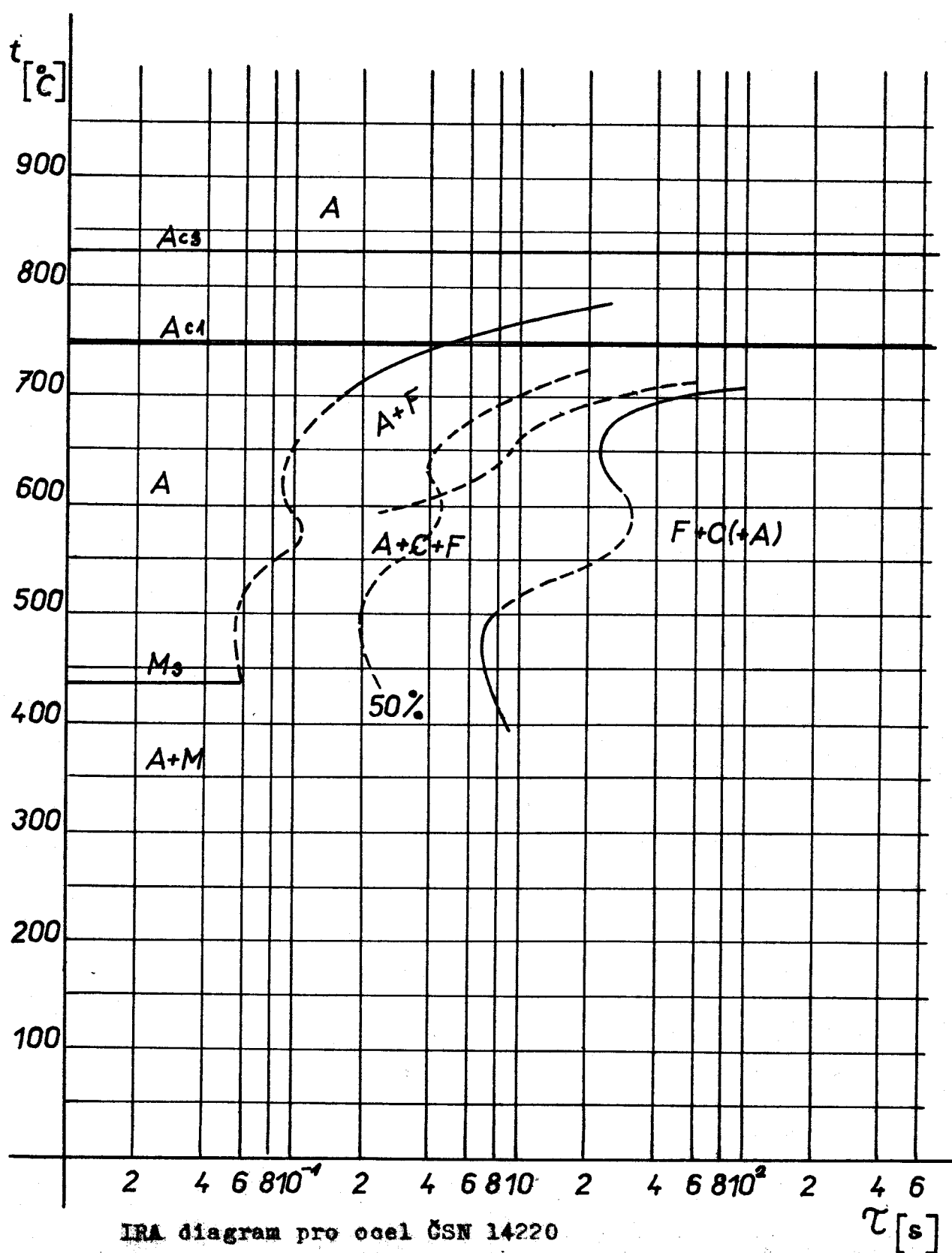


2	TĚSNÍCÍ KROUZEK 52x60	ČSN 029310.6	10
			9
			8
			7
			6
			5
		ČSN 138280	4
		ČSN 138270	3
		ČSN 138272	2
			1
MATICE PRESUVNÁ			
NÁTRUBEK PRÍMÝ S PŘÍVODNÍ TRUBKOU			
NÁTRUBEK OPERNÝ S PŘÍVODNÍ TRUBKOU			
CLONKA tl. 1,5		11370	
Název - Rozměr	Potřeba	Mat. konečný	Mat. výchozí
			Množství
			Odp.
			Č. výroba
			Hr. výroba
			Číslo výkresu
			Pos.
			Celkové č. výroba kg
Kreslil	Slemán J.		
Přezkoušel			Čís. sním.
Norm. ref.			
Výr. projedn.	Schválil	Č. transp.	
	Dne	1.6.1968	
		Typ	Skupina
		Starý výkres	
		Nový výkres	
Š S T BEREC		UMÍSTĚNÍ CLONKY B	
		DP-ST 674/68.2	
		Počet 1/100 2	
		2	



C-1,04%, Mn-1,14%, Si-0,27%, P-0,03%, S-0,043%, Cr-1,0%, Ni-0,12%, V-0,05%

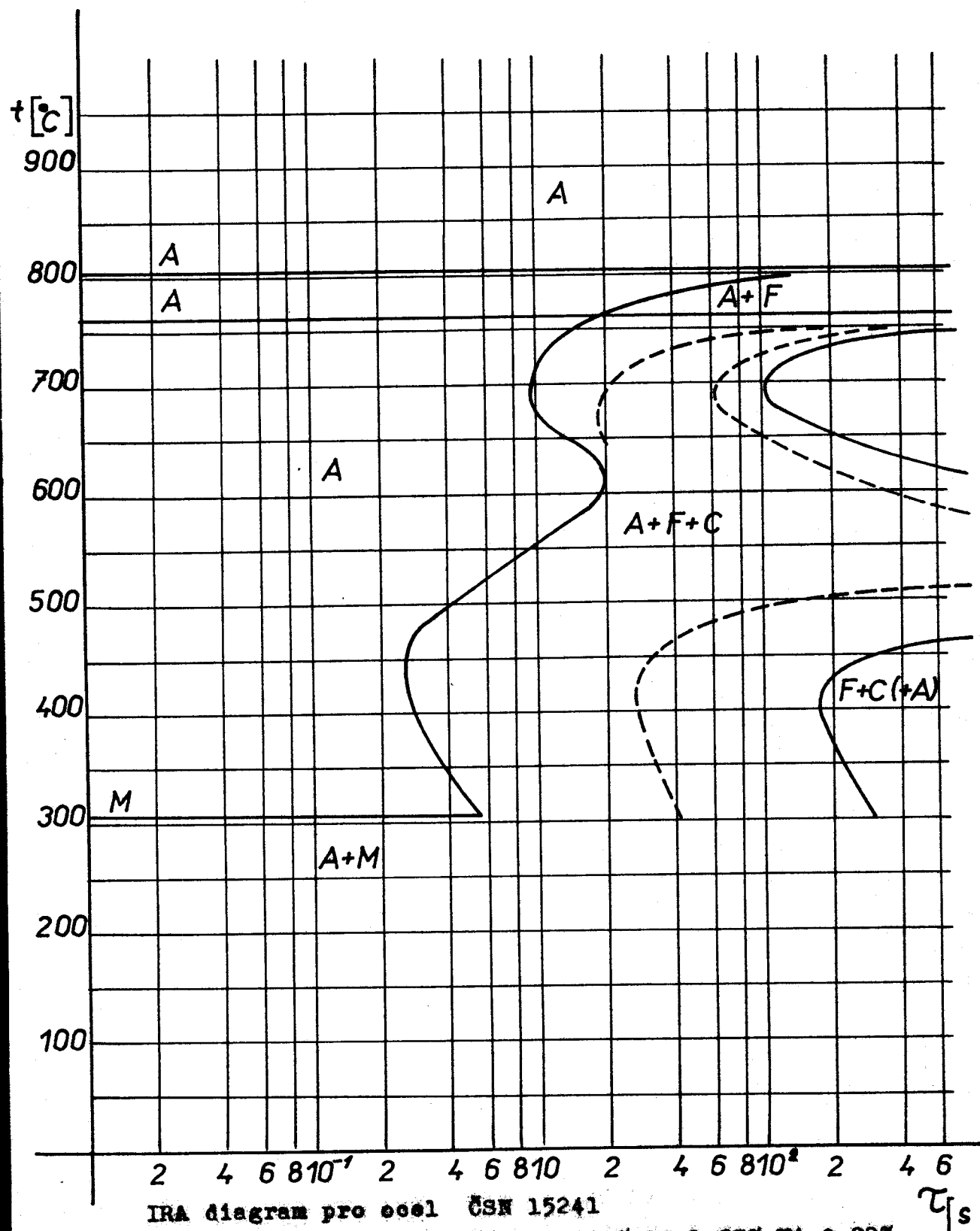
austenitizace: teplota=850°C, doba=15 min, velikost zrna ~8-10 µm  
 teploty:  $A_{c1,2}=750 \pm 5^\circ\text{C}$ ,  $A_{c1,1}=735 \pm 5^\circ\text{C}$ , Mn=195±4°C



IR diagram pro ocel ČSN 14220

C-0,16%, Mn-1,14%, Si-0,27%, P-0,03%, S-0,043%, Cr-1,0%, Ni-0,12%, V-0,05%

austenitisaem: teplota  $A_{c1} = 850 \pm 5^{\circ}\text{C}$ , doba = 15 min., velikost zrna  $\sim 7$   
 teploty  $A_{c2} = 430 \pm 5^{\circ}\text{C}$ ,  $A_{c3} = 474 \pm 5^{\circ}\text{C}$ ,  $M_3 = 435 \pm 10^{\circ}\text{C}$



IR diagram pro ocel CSN 15241

C-0,4%, Mn-0,62%, Si-0,3%, P-0,026%, S-0,012%, Cr-1,87%, Ni-0,22%  
V-0,55%

austenitisace: teplota=870 °C, doba=15min, velikost zrna - 8  
teploty :  $A_{c_3} = 802 \pm 8$  °C,  $A_{c_1} = 758 \pm 5$  °C,  $M = 315 \pm 8$  °C